

تم بيع أكثر من ٣٠ مليون نسخة من ملخصات شوم!

www.ibtesama.com/vb

الكترومنا طبیعت

عصير الكتب

www.ibtesama.com/vb

منتدى مجلة الإبتسامة

ملخصات شوم
إيزى

- يغطي جميع أساسيات المنهج
- يحتوى على الكثير من المسائل المحلولة حلًاً كاملاً
- أفضل وسيلة دقة وموجة لمساعدة الطالب على التفوق والنجاح



چوزيف إدمونستر

الدار الدولية للاستثمارات الثقافية ش.م.م.

مصدر

عصير الكتب
www.ibtesama.com/vb
منتدى مجلة الإبتسامة

الكهرومغناطيسيات

المؤلف

چوزیف ادمونستر

محرر الموجز

ویلیام سمیث

ترجمة

دكتور مهندس / صبرى محمد ابراهيم

أستاذ مساعد بكلية الهندسة بحلوان

جامعة حلوان

الدار الدولية للاستعمالات الثقافية ش.م.م

للطبع

حقوق النشر

Electromagnetics

by

Joseph Edminister

English Edition: Copyright © 2003 by The McGraw-Hill Companies, Inc. All rights reserved.

Arabic Edition: Copyright © 2004 by International House for Cultural Investments S.A.E All rights reserved. No part of this publication may be reproduced or distributed in any form or by any means, or stored in a data base or retrieval system, without the prior written permission of the publisher.

International House for Cultural Investments S.A.E.

8, Ibrahim El-Orabi St., El-Nozha El-Gedida

Heliopolis West, Cairo, Egypt

E-mail: ihci@link.net

الطبعة العربية الأولى حقوق الطبع والنشر © 2004، جميع الحقوق محفوظة للدار الدولية للاستثمارات الثقافية ش.م.م. لا يجوز نشر أي جزء من هذا الكتاب أو اختزان مادته بطريقة الاسترجاع أو نقله على أي وجه أو بأي طريقة سواء كانت إلكترونية أو ميكانيكية أو بالتصوير أو خلاف ذلك إلا بموافقة الناشر على هذا كتابة ومقدمةً

الدار الدولية للاستثمارات الثقافية

8 إبراهيم العربي - الترعة الجديدة - مصر الجديدة - القاهرة - ج.م.ع.

ص.ب: 5599 هليوبوليس غرب / القاهرة - تليفون: 6222105/6221944 فاكس: 6221944 (00202)

بريد إلكتروني: ihci@link.net

رقم الإيداع: 2003/9485

I.S.B.N: 977-282-147-8

كتب أخرى في سلسلة ملخصات شوم إيزى

- ملخص شوم إيزى : الفيزياء العامة
- ملخص شوم إيزى : الفيزياء التطبيقية
- ملخص شوم إيزى : الكيمياء العامة
- ملخص شوم إيزى : الكيمياء العضوية
- ملخص شوم إيزى : البيولوجيا
- ملخص شوم إيزى : البيولوجيا الجزيئية وبيولوجيا الخلية
- ملخص شوم إيزى : الوراثة
- ملخص شوم إيزى : الجبر العام
- ملخص شوم إيزى : الجبر الأساسي
- ملخص شوم إيزى : علم الهندسة
- ملخص شوم إيزى : الإحصاء
- ملخص شوم إيزى : الاحتمالات والإحصاء
- ملخص شوم إيزى : حساب التفاضل والتكامل
- ملخص شوم إيزى : مبادئ التفاضل والتكامل
- ملخص شوم إيزى : حساب المثلثات
- ملخص شوم إيزى : الرياضيات المنفصلة
- ملخص شوم إيزى : مرجع رياضي لأهم القوانين والجداول
- مُلخص شوم إيزى : البرمجة بلغة C++
- ملخص شوم إيزى : البرمجة بلغة JAVA
- ملخص شوم إيزى : أساسيات الكهرباء
- ملخص شوم إيزى : مبادئ الاقتصاد
- ملخص شوم إيزى : الإحصاء التجارى
- ملخص شوم إيزى : مبادئ المحاسبة
- ملخص شوم إيزى : مقدمة في علم النفس

چوزيف أ. إدمونستر مدير مكتب العلاقات التعاونية بكلية الهندسة بجامعة كورنيل وأستاذ غير متفرغ بجامعة أكرون حيث عمل بها أستاذًا للهندسة الكهربائية، ونائبًا لكل من رئيس القسم والعميد. حصل على درجتي البكالوريوس والماجستير في علوم الهندسة الكهربائية من جامعة أكرون، عمل كنائب ومحل اختراعات بولاية أوهايو. قام بتدريس تحليل الدوائر الكهربائية ونظرية الكهرومغناطيسية خلال عمله الأكاديمي.

ويليام ت. سميث أستاذ مشارك بقسم الهندسة الكهربائية بجامعة كنتاكي وهناك قام بالتدريس منذ 1990. وnal جائزة الأساتذة المتميزين مرتين. حصل على درجة البكالوريوس من جامعة كنتاكي وحصل على درجة الماجستير في الهندسة الكهربائية من معهد الصنائع والفنون بفرجينيا ودرجة الدكتوراه في الهندسة الكهربائية من جامعة ولاية فرجينيا. اشتراك في تأليف عدد من المقالات العلمية في المؤتمرات والمجلات. قام بتحرير ملخص شوم إيزى في أساسيات الكهرباء. عمل كزائر أكاديمي بمعمل أبحاث تابع لشركة IBM.

صبرى محمد إبراهيم أستاذ مساعد بكلية الهندسة بحلوان - جامعة حلوان، حصل على البكالوريوس من المعهد العالى الصناعى بالقاهرة فى الهندسة الكهربائية، ودرجتى الماجستير والدكتوراه فى الهندسة الكهربائية من جامعة جورج واشنطن بالولايات المتحدة الأمريكية. قام بتدريس نظرية المجالات والهوايات وانتشار الموجات وهندسة الموجات الدقيقة بكل من كلية الهندسة بحلوان وكلية الهندسة بالعين جامعة الإمارات العربية المتحدة. كما اشتراك فى تأليف عدد من المقالات العلمية بالمجلات والمؤتمرات.

المحتويات

7	: تحليل التوجهات الفصل الأول
23	: المجال الكهربى الساكن الفصل الثانى
61	: المجال المغناطيسى الساكن (الثابت) الفصل الثالث
81	: المجالات المتغيرة مع الزمن ومعادلات ماكسويل. الفصل الرابع
99	: الموجات الكهرومغناطيسية الفصل الخامس
117	: خطوط النقل الفصل السادس
145	: الهوائيات الفصل السابع
161	قائمة المصطلحات العلمية (إنجليزى/عربى)

عصير الكتب
www.ibtesama.com/vb
منتدى مجلة الإبتسامة

الفصل الأول

تحليل المتجهات

Vector Analysis

في هذا الفصل:

- ✓ اصطلاحات المتجهات
- ✓ جبر المتجهات
- ✓ نظم الإحداثيات
- ✓ العناصر التفاضلية للحجم والسطح والخط
- ✓ مسائل محلولة

توصف المتجهات في مقررات الفيزياء والرياضيات بنظام المحاور الكرتيزية بصفة أساسية وبالرغم من وجود واستخدام المحاور الأسطوانية أيضاً في مراجع الرياضيات إلا أن نظام المحاور الكروية نادراً ما يستخدم. في مجال الكهرومغناطيسيات ينبغي استخدام نظام المحاور الثلاثة. حيث أن الرموز المستخدمة للمتجهات ونظم المحاور تختلف من مرجع إلى آخر، لذا فإن الفهم الصحيح للترميز المستخدم هنا في هذا المرجع يكون ضرورياً لوضع المسائل والحصول على حلول لها.



اصطلاحات المتجهات

Vector Notation

للتفرق بين المتجهات (التي لها مقدار واتجاه) والمقاييس (التي لها مقدار فقط) فإن المتجهات تكتب بالخط الأسود الثقيل. متجه الوحدة له مقدار (أى طول) يساوى الوحدة وليس له وحدات لأنه يمثل الاتجاه فقط. متجه الوحدة سوف يرمز له بحرف صغير بالخط الأسود الثقيل مثل \mathbf{a} . متجهات الوحدة في اتجاه المحور x, y, z في نظام المحاور الكرتيزية هي $\mathbf{a}_x, \mathbf{a}_y, \mathbf{a}_z$.

المتجه \mathbf{A} يمكن كتابته بدلالة مركباته كما يلى

$$\mathbf{A} = A_x \mathbf{a}_x + A_y \mathbf{a}_y + A_z \mathbf{a}_z$$

بدلالة المركبات فإن القيمة المطلقة للمتجه \mathbf{A} تعرف كالتالى

$$|\mathbf{A}| = A = \sqrt{A_x^2 + A_y^2 + A_z^2}$$

ومتجه الوحدة في اتجاه \mathbf{A} يعطى كالتالى

$$\mathbf{a}_A = \frac{\mathbf{A}}{|\mathbf{A}|} = \frac{\mathbf{A}}{A}$$

Vector Algebra

جبر المتجهات

1. يمكن جمع وطرح المتجهات.

$$\begin{aligned}\mathbf{A} \pm \mathbf{B} &= (A_x \mathbf{a}_x + A_y \mathbf{a}_y + A_z \mathbf{a}_z) \pm (B_x \mathbf{a}_x + B_y \mathbf{a}_y + B_z \mathbf{a}_z) \\ &= (A_x \pm B_x) \mathbf{a}_x + (A_y \pm B_y) \mathbf{a}_y + (A_z \pm B_z) \mathbf{a}_z\end{aligned}$$

2. قوانين الترافق والتوزيع والتبادل يمكن تطبيقها

$$\mathbf{A} + (\mathbf{B} + \mathbf{C}) = (\mathbf{A} + \mathbf{B}) + \mathbf{C}$$

$$k(\mathbf{A} + \mathbf{B}) = k\mathbf{A} + k\mathbf{B}, \quad (k_1 + k_2)\mathbf{A} = k_1\mathbf{A} + k_2\mathbf{A}$$

$$\mathbf{A} + \mathbf{B} = \mathbf{B} + \mathbf{A}$$

3. الضرب المقياسي لمتجهين يعرف كما يلى

$$\mathbf{A} \cdot \mathbf{B} = A B \cos \theta \quad (\text{"نقرأ " } \mathbf{A} \text{ ضرب مقياسي } \mathbf{B})$$

حيث θ هى الزاوية الصغرى بين \mathbf{A} و \mathbf{B} . بدلالة المركبات فإن الضرب المقياسي يساوى

$$\mathbf{A} \cdot \mathbf{B} = A_x B_x + A_y B_y + A_z B_z$$

هذا يعطى

$$|\mathbf{A}| = \sqrt{\mathbf{A} \cdot \mathbf{A}}$$

ملاحظة!

المتجهات المتعامدة تعطى ضرب مقياس يساوى الصفر نتيجة لأن الزاوية المتضمنة تساوى 90° . كاستخدام لهذه الخاصية الهامة للمتجهات والتي تأتى من الضرب المقياسي لمتجه الوحدة:

$$a_x \cdot a_x = a_y \cdot a_x = a_z \cdot a_x = 0$$

أيضاً نلاحظ أن

$$a_x \cdot a_x = a_y \cdot a_y = a_z \cdot a_z = 1$$

مثال 1.1 الضرب المقياسي يخضع لقانون التوزيع وقانون ضرب الكميات المقياسية

$$\mathbf{A} \cdot (\mathbf{B} + \mathbf{C}) = \mathbf{A} \cdot \mathbf{B} + \mathbf{A} \cdot \mathbf{C} \quad \mathbf{A} \cdot k\mathbf{B} = k(\mathbf{A} \cdot \mathbf{B})$$

باستخدام خواص الضرب المقياسي أثبت الخاصية الثالثة من المذكور أعلاه.

Example 1.1 The dot product obeys the distributive and scalar multiplication laws

$$\mathbf{A} \cdot (\mathbf{B} + \mathbf{C}) = \mathbf{A} \cdot \mathbf{B} + \mathbf{A} \cdot \mathbf{C} \quad \mathbf{A} \cdot k\mathbf{B} = k(\mathbf{A} \cdot \mathbf{B})$$

Using the properties of the dot product, prove property 3 from above.

الحل:

$$\begin{aligned}\mathbf{A} \bullet \mathbf{B} &= (A_x \mathbf{a}_x + A_y \mathbf{a}_y + A_z \mathbf{a}_z) \bullet (B_x \mathbf{a}_x + B_y \mathbf{a}_y + B_z \mathbf{a}_z) \\ &= A_x B_x (\mathbf{a}_x \bullet \mathbf{a}_x) + A_y B_y (\mathbf{a}_y \bullet \mathbf{a}_y) + A_z B_z (\mathbf{a}_z \bullet \mathbf{a}_z) \\ &\quad + A_x B_y (\mathbf{a}_x \bullet \mathbf{a}_y) + \dots + A_z B_y (\mathbf{a}_z \bullet \mathbf{a}_y)\end{aligned}$$

في كل الأحوال، $1 = \mathbf{a}_i \bullet \mathbf{a}_i$ حيث ($i = x$ أو y أو z) وأيضاً $\mathbf{a}_i \bullet \mathbf{a}_j = 0$ حيث $j \neq i$ على ذلك تم إثبات الخاصية الثالثة

$$\mathbf{A} \bullet \mathbf{B} = A_x B_x + A_y B_y + A_z B_z$$

4. الضرب الاتجاهي لمتجهين يعرف كما يلى

$$\mathbf{A} \times \mathbf{B} = (A B \sin \theta) \mathbf{a}_n \quad (\text{"B ضرب اتجاهي A"})$$

حيث θ هي الزاوية الصغرى بين \mathbf{A} و \mathbf{B} ومتجه الوحدة \mathbf{a}_n يكون عمودياً على المستوى المار بـ \mathbf{A} و \mathbf{B} عندما يتم رسمها من نقطة مشتركة. هناك عمودان على هذا السطح. متجه الوحدة الذي نختاره هو اتجاه حركة مسامار بريمة عندما يتحرك \mathbf{A} في اتجاه \mathbf{B} (شكل 1.1) هذا أيضاً يعرف بـ "قاعدة اليد اليمنى" Right-Hand Rule (حرك \mathbf{A} في اتجاه \mathbf{B} في اتجاه أصابع اليد اليمنى ويشير اتجاه الإبهام إلى الاتجاه الصحيح لمتجه الوحدة). لهذا نجد أن الضرب الاتجاهي لا يطبق عليه قانون التبادل

$$\mathbf{A} \times \mathbf{B} = -\mathbf{B} \times \mathbf{A}$$



تذكر!

المتجهات المتوازية تعطي ضرباً اتجاهياً يساوى صفرًا لأن الزاوية المتضمنة تساوى 0° .

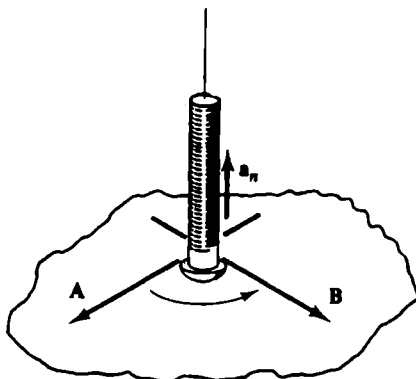
ويمثله الضرب الاتجاهي بدالة المركبات فإن

$$\mathbf{A} \times \mathbf{B} = (A_x \mathbf{a}_x + A_y \mathbf{a}_y + A_z \mathbf{a}_z) \times (B_x \mathbf{a}_x + B_y \mathbf{a}_y + B_z \mathbf{a}_z)$$

$$= (A_y B_z - A_z B_y) \mathbf{a}_x + (A_z B_x - A_x B_z) \mathbf{a}_y + (A_x B_y - A_y B_x) \mathbf{a}_z$$

وهناك طريقة استخدام صورة المحدد لحساب الضرب الاتجاهي

$$\mathbf{A} \times \mathbf{B} = \begin{vmatrix} \mathbf{a}_x & \mathbf{a}_y & \mathbf{a}_z \\ A_x & A_y & A_z \\ B_x & B_y & B_z \end{vmatrix}$$



شكل 1-1 اختيار اتجاه a_n

مثال 1.2 إذا كان $\mathbf{B} = \mathbf{a}_x - \mathbf{a}_y$ و $\mathbf{A} = 2\mathbf{a}_x + 4\mathbf{a}_y - 3\mathbf{a}_z$ أوجد $\mathbf{A} \cdot \mathbf{B}$ و $\mathbf{A} \times \mathbf{B}$.

Example 1.2 Given $\mathbf{A} = 2\mathbf{a}_x + 4\mathbf{a}_y - 3\mathbf{a}_z$ and $\mathbf{B} = \mathbf{a}_x - \mathbf{a}_y$, find $\mathbf{A} \cdot \mathbf{B}$ and $\mathbf{A} \times \mathbf{B}$.

الحل:

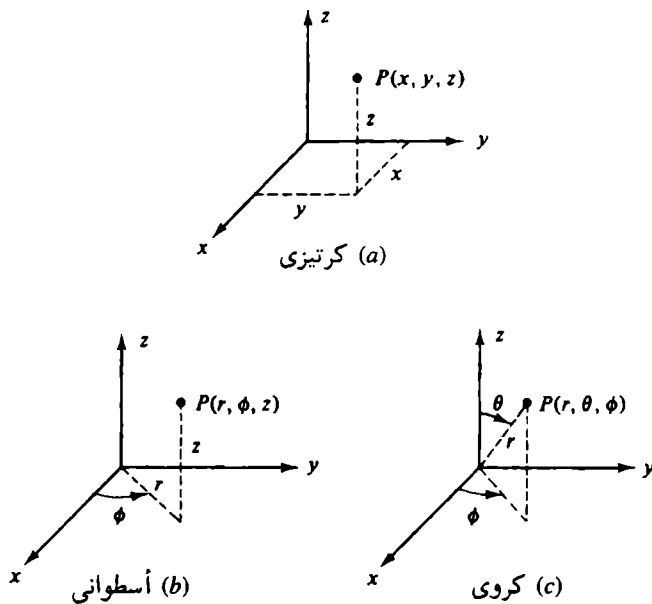
$$\mathbf{A} \cdot \mathbf{B} = (2)(1) + (4)(-1) + (-3)(0) = -2$$

$$\mathbf{A} \times \mathbf{B} = \begin{vmatrix} \mathbf{a}_x & \mathbf{a}_y & \mathbf{a}_z \\ 2 & 4 & -3 \\ 1 & -1 & 0 \end{vmatrix} = -3\mathbf{a}_x - 3\mathbf{a}_y - 6\mathbf{a}_z$$

Coordinate Systems

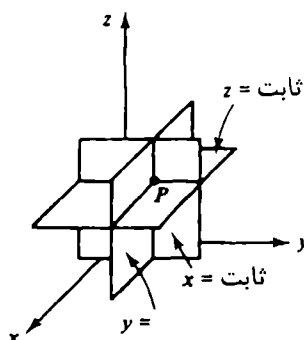
نظم الإحداثيات

يمكن التعبير وحل المسائل التي بها تماذل أسطواني أو تماذل كروي عن طريق استخدام النظام الكرتزي المألوف. ولكن في هذه الحالة يصعب الاستفادة من التماذل ويكون الحل معقداً بدون داع. على سبيل المثال في مسائل الخطوط نستخدم الإحداثيات الأسطوانية وفي مسائل الهوائيات يكون الحل باستخدام الإحداثيات الكروية.

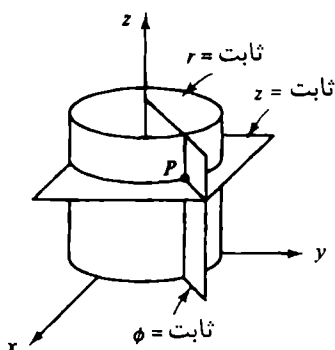


شكل 1-2 تعريف المتغيرات في نظم الإحداثيات الثلاثة

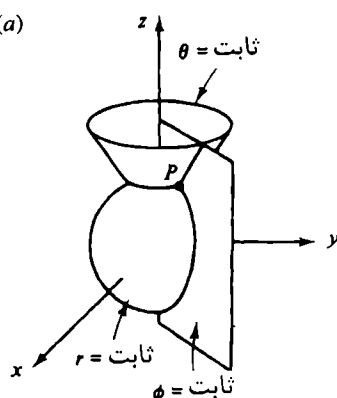
النقطة P يمكن وصفها عن طريق نظم الإحداثيات الثلاثة. ففي الكرتيزية (x, y, z) وفي الأسطوانية الدائرية (r, ϕ, z) وفي الكروية (r, θ, ϕ) كما هو موضح بالشكل 1.2. نفس الرمز r يستخدم في نظامي الإحداثيات الأسطوانية والكروية ولكن في كل نظام يمثل شيئاً مختلفاً. في الإحداثيات الأسطوانية r تمثل المسافة العمودية بين النقطة P ومحور z . في الإحداثيات الكروية r هي ثابتة



(a) كرتيزى



(b) أسطواني



(c) كروي

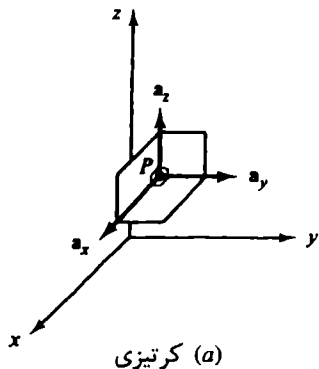
شكل 1-3 أسطح القيم الثابتة لنظام الإحداثيات الثلاثة

المسافة من نقطة الأصل حتى النقطة P . ومن سياق الكلام للمسألة يجب أن يكون واضحًا المقصود من r . الزاوية ϕ هي نفس الزاوية في نظام الإحداثيات الأسطوانية والكروية. حدود ϕ هي $0 \leq \phi \leq 2\pi$ مقاسه على المستوى $z-x$ ابتداء من محور x وتزيد في اتجاه z . في الإحداثيات الكروية الزاوية θ تقيس بين محور z والخط الواصل من نقطة الأصل حتى النقطة P . حدود θ هي $0 \leq \theta \leq \pi$. المتغير z هو نفسه في نظامي الإحداثيات الكرتيزية والأسطوانية.

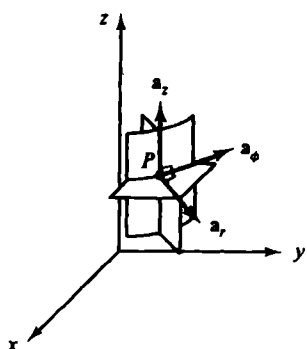
النقطة في الفراغ يمكن أيضًا وصفها عن طريق تقاطع ثلاثة أسطح متعامدة كما هو موضح بشكل 1-3. في الإحداثيات الكرتيزية هذه الأسطح هي المستويات اللانهائية $x = \text{ثابت}$, $y = \text{ثابت}$, $z = \text{ثابت}$. في الإحداثيات الأسطوانية $z = \text{ثابت}$ هو نفس المستوى كما في الكرتيزية، $\phi = \text{ثابت}$ هو نصف مستوى حافته تقع على محور z , $r = \text{ثابت}$ هو سطح أسطوانة دائيرية قائمة.

الثلاثة أسطح هذه في الإحداثيات الأسطوانية متعامدة ومتقاطعة في نقطة وهذه النقطة تحدد مكان P . في الإحداثيات الكروية $\phi = \text{ثابت}$ هو نفس النصف مستوى كما في الأسطوانية، $r = \text{ثابت}$ هي كرة مركزها نقطة الأصل، $\theta = \text{ثابت}$ هو مخروط دائري محوره على محور z ورأسه عند نقطة الأصل هذه الأسطح متعامدة وتقاطعها يحدد النقطة P .

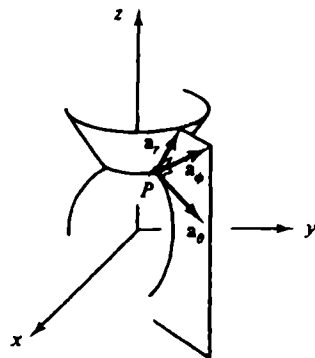
عصير الكتب
www.ibtesama.com/vb
منتدى مجلة الإبتسامة



(a) كرتيزى



(b) أسطواني



(c) كروي

شكل 4-4 اتجاه متجهات الوحدة لنظام الإحداثيات الثلاثية

شكل 4-4 يبين متجهات الوحدة الثلاثة عند النقطة P . في حالة نظام الإحداثيات الكرتيزية هذه المتجهات لها اتجاه ثابت لا يعتمد على مكان النقطة P . هذا غير صحيح لنظام الإحداثيات الأخرى (ماعدا a_z). كل متجه وحدة يكون عمودياً على سطح الإحداثي التابع له ويكون في اتجاه زيادة الإحداثي.

ملاحظة!

كل نظم الإحداثيات تتبع قاعدة اليد اليمنى:

$$\mathbf{a}_x \times \mathbf{a}_y = \mathbf{a}_z$$

$$\mathbf{a}_y \times \mathbf{a}_z = \mathbf{a}_x$$

$$\mathbf{a}_z \times \mathbf{a}_x = \mathbf{a}_y$$

المركبات التي تكون المنتج في النظم الثلاثة هي

$$\mathbf{A} = A_x \mathbf{a}_x + A_y \mathbf{a}_y + A_z \mathbf{a}_z \quad (\text{كرتيزي})$$

$$\mathbf{A} = A_r \mathbf{a}_r + A_\theta \mathbf{a}_\theta + A_\phi \mathbf{a}_\phi \quad (\text{أسطواني})$$

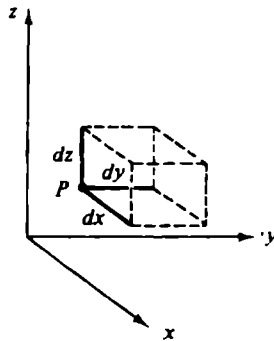
$$\mathbf{A} = A_r \mathbf{a}_r + A_\theta \mathbf{a}_\theta + A_\phi \mathbf{a}_\phi \quad (\text{كروى})$$

يجب ملاحظة أن المركبات A_x, A_y, A_z, \dots إلخ، ليست ثابتة بصفة عامة ولكن غالباً تكون دوال في الإحداثيات في ذلك النظام.

العناصر التفاضلية للحجم والسطح والخط

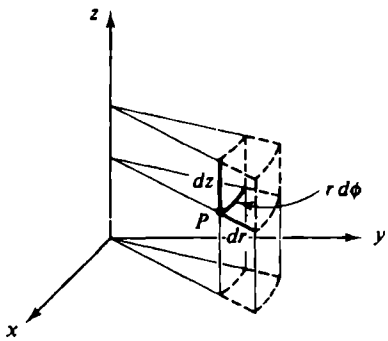
Differential Volume, Surface, and Line Elements

يوجد عدد قليل من المسائل في الكهرومغناطيسات التي يمكن حلها بدون الرجوع إلى نوع ما من التكامل - على منحني أو سطح أو عبر الحجم. عند زيادة الإحداثيات للنقطة P إلى $(x + dx, y + dy, z + dz)$ أو $(r + dr, \phi + d\phi, z + dz)$ أو $(r + dr, \theta + d\theta, \phi + d\phi)$ فإنه يتكون حجم تفاضلي dv . تقريب الدرجة الأولى للحجم التفاضلي يصبح صندوقاً في نظم الإحداثيات. الحجم التفاضلي dv في كل نظام مبين بشكل 1-5. الروايا θ, ϕ ليس لها وحدة أطوال لأنها تمثل زوايا.



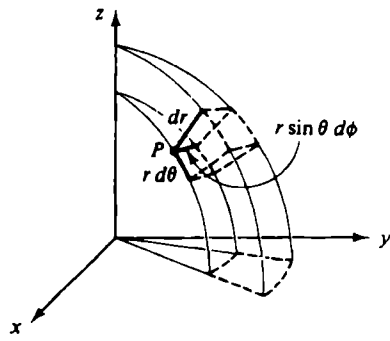
$$dv = dx \, dy \, dz$$

كرتيري (a)



$$dv = r \, dr \, d\phi \, dz$$

أسطواني (b)



$$dv = r^2 \sin \theta \, dr \, d\theta \, d\phi$$

كروى (c)

شكل 5-1 الحجم التفاضلي لنظام الإحداثيات الثلاثة

ملاحظة!

في الإحداثيات الأسطوانية الطول التفاضلي على امتداد القوس الدائري في اتجاه ϕ يعطى $r d\phi$ [انظر شكل (b)]، في الإحداثيات الكروية الأطوال التفاضلية على امتداد الأقواس الدائرية في اتجاه θ و ϕ تعطى بـ $r \sin \theta d\theta$ و $r d\phi$ على الترتيب [انظر شكل (c)].

من شكل 1-5 يمكن أيضًا قراءة مساحة العناصر السطحية التي تحد الحجم التفاضلي. على سبيل المثال في الإحداثيات الكروية يكون عنصر السطح التفاضلي العمودي a_s هو

$$ds = (r d\theta) (r \sin \theta d\phi) = r^2 \sin \theta d\theta d\phi$$

والعنصر التفاضلي الخطى dl هو القطر خلال p ولذلك.

$$dl^2 = dx^2 + dy^2 + dz^2 \quad (\text{كرتيري})$$

$$dl^2 = dr^2 + r^2 d\phi^2 + dz^2 \quad (\text{أسطواني})$$

$$dl^2 = dr^2 + r^2 d\theta^2 + r^2 \sin^2 \theta d\phi^2 \quad (\text{كروي})$$

أشياء هامة للتذكر

- المتجه هو كمية لها مقدار واتجاه.
- اتجاه المتجه يعطى بمتجه الوحدة وليس له وحدات.
- المتجهات المتعامدة تعطى ضرب مقياسي يساوى الصفر لأن الزاوية المتضمنة تساوى 90° .

- المتجهات المتوازية تعطى ضرب اتجاهي يساوى الصفر لأن الزاوية المتضمنة تساوى 0° .
- المتغيرات لنظم الإحداثيات الثلاثة هي: كرتيزى (x, y, z) , أسطواني (r, θ, ϕ) , كروي (r, θ, ϕ, z) .

Solved Problems

مسائل محلولة

مسألة محلولة 1.1

أوجد المتجه C الممتد بين $M(x_1, y_1, z_1)$ إلى $N(x_2, y_2, z_2)$ ما هو المقدار وما هو اتجاه متجه الوحدة؟

Solved Problem 1.1

Find the Vector C directed $M(x_1, y_1, z_1)$ to $N(x_2, y_2, z_2)$. What is its magnitude and directional unit vector?

الحل: تستخدم إحداثيات M و N لكتابه متجه الموضع A و B بالشكل . 1-6

$$A = x_1 \mathbf{a}_x + y_1 \mathbf{a}_y + z_1 \mathbf{a}_z$$

$$B = x_2 \mathbf{a}_x + y_2 \mathbf{a}_y + z_2 \mathbf{a}_z$$

وعلى ذلك

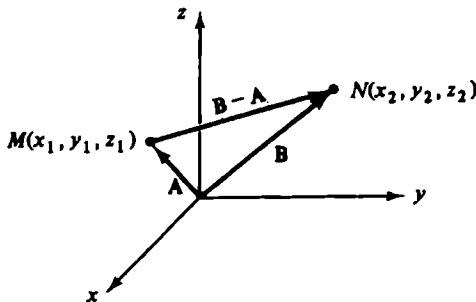
$$C = B - A = (x_2 - x_1) \mathbf{a}_x + (y_2 - y_1) \mathbf{a}_y + (z_2 - z_1) \mathbf{a}_z$$

مقدار C يكون

$$C = |C| = \sqrt{(x_2 - x_1)^2 + (y_2 - y_1)^2 + (z_2 - z_1)^2}$$

متجه الوحدة يكون

$$\mathbf{a}_C = \frac{C}{|C|} = \frac{(x_2 - x_1) \mathbf{a}_x + (y_2 - y_1) \mathbf{a}_y + (z_2 - z_1) \mathbf{a}_z}{\sqrt{(x_2 - x_1)^2 + (y_2 - y_1)^2 + (z_2 - z_1)^2}}$$



شكل 1-6 متجهات الموضع M و N .

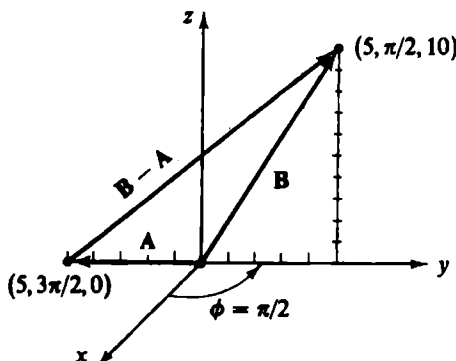
مسألة محلولة 1.2

أوجد المسافة بين $(5, 0, 0)$ و $(5, \pi/2, 10)$ بالإحداثيات الأسطوانية.

Solved Problem 1.2

Find the distance between $(5, 3\pi/2, 0)$ and $(5, \pi/2, 10)$ in cylindrical coordinates.

الحل: نوجد أولاً متجهات الموضع الكرتيزية A و B (انظر شكل 1-7).



شكل 1-7 إيجاد المسافة بين النقط

من الشكل

$$\mathbf{A} = -5\mathbf{a}_y, \quad \mathbf{B} = 5\mathbf{a}_y + 10\mathbf{a}_z$$

ولذلك $\mathbf{B} - \mathbf{A} = 10\mathbf{a}_y + 10\mathbf{a}_z$ و تكون المسافة المكافئة بين النقطتين

$$|\mathbf{B} - \mathbf{A}| = 10\sqrt{2}$$

مسألة محلولة 1.3

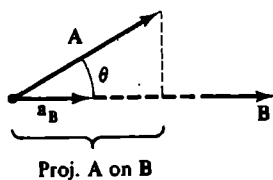
إذا كان $\mathbf{A} = (y - 1)\mathbf{a}_x + 2x\mathbf{a}_y$ أوجد المتجه عند $(1, 2)$ ومسقطه على المتجه $\mathbf{B} = 5\mathbf{a}_x - \mathbf{a}_y + 2\mathbf{a}_z$.

Solved Problem 1.3

Given $\mathbf{A} = (y - 1)\mathbf{a}_x + 2x\mathbf{a}_y$, find the vector at $(2, 2, 1)$ and its projection on vector $\mathbf{B} = 5\mathbf{a}_x - \mathbf{a}_y + 2\mathbf{a}_z$.

الحل: كما هو مبين بالشكل 1-8 $\mathbf{A} = (2 - 1)\mathbf{a}_x + 2(2)\mathbf{a}_y = \mathbf{a}_x + 4\mathbf{a}_y$. يمكن إيجاد مسقط متجه على متجه ثان عن طريق معرفة متجه الوحدة في اتجاه المتجه الثاني وأخذ الضرب المقياسي.

$$\text{Proj. } \mathbf{A} \text{ on } \mathbf{B} = \mathbf{A} \cdot \mathbf{a}_B = \frac{\mathbf{A} \cdot \mathbf{B}}{|\mathbf{B}|}$$



شكل 1-8 مسقط \mathbf{A} على \mathbf{B}

وعلى ذلك يكون مسقط \mathbf{A} على \mathbf{B}

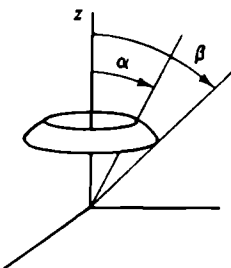
$$\text{Proj. } \mathbf{A} \text{ onto } \mathbf{B} = \mathbf{A} \cdot \mathbf{a}_B = \frac{\mathbf{A} \cdot \mathbf{B}}{|\mathbf{B}|} = \frac{(1)(5) + (4)(-1) + (0)(2)}{\sqrt{(5)^2 + (-1)^2 + (2)^2}} = \frac{1}{\sqrt{30}}$$

مسألة محلولة 1.4

استخدم الإحداثيات الكروية لإيجاد مساحة الشريحة $\alpha \leq \theta \leq \beta$. على قشرة كروية لها نصف قطر $r = r_0$ (شكل 1-9) ما النتيجة عند $\alpha = 0$ و $\beta = \pi$?

Solved Problem 1.4

Use the spherical coordinate system to find the area of the strip $\alpha \leq \theta \leq \beta$ on the spherical shell of radius $r = r_0$ (Figure 1-9). What results when $\alpha = 0$ and $\beta = \pi$?



شكل 1-9 مساحة شريحة كروية

الحل: العنصر التفاضلي للمساحة هو [انظر الشكل (c) 1-5]

$$dS = r_0^2 \sin\theta \, d\theta \, d\phi$$

ولذلك

$$A = \int_0^{2\pi} \int_{\alpha}^{\beta} r_0^2 \sin\theta \, d\theta \, d\phi = 2\pi r_0^2 (\cos\alpha - \cos\beta)$$

عندما $\alpha = 0$ و $\beta = \pi$ تكون $A = 4\pi r_0^2$. وهي مساحة الكرة الكلية.

الفصل الثاني

المجال الكهربى الساكن

Static Electric Fields

فى هذا الفصل:

- ✓ قوى كولوم وشدة المجال الكهربى
- ✓ الفيصل الكهربى وقانون جاوس
- ✓ الشغل والطاقة والجهد
- ✓ التيار والمواصلات
- ✓ السعة
- ✓ مسائل محلولة

قوى كولوم وشدة المجال الكهربى

Coulomb Forces and Electric Field Intensity

قانون كولوم تم استنتاجه من شغل الأجسام الصغيرة المشحونة والتواء ميزان رقيق. ويصف القوة المبذولة بين شحتين كهربائيتين. ويمكن التعبير عن هذا القانون باستخدام المتجهات كما يلى

$$\mathbf{F} = \frac{Q_1 Q_2}{4\pi\epsilon_0 d^2} \mathbf{a}$$

حيث القوة تكون بالنيوتن (N) والمسافة d بالمتر (m) والشحنة بالكولوم (C). إنفاذية الوسط وحداتها $C^2/(Nm^2)$ أو بصيغة مكافقة فاراد لكل متر (F/m). للحيز الحالى أو الفراغ تكون الإنفاذية

$$\epsilon = \epsilon_0 = 8.854 \times 10^{-12} = \frac{10^{-9}}{36\pi} F/m$$

للأوساط الأخرى، غير الحيز الحالى فإن $\epsilon_0 = \epsilon$ ، حيث ϵ هى الإنفاذية النسبية أو ثابت العزل. يمكن افتراض أن الحيز فى جميع المسائل والأمثلة حال إلا إذا كانت هناك إشارة بغير ذلك.

✓ يجب أن تعرف

للنقط المشحونة التى لها نفس الإشارة تكون قوة كولوم تنازف. وإذا كانت لهم إشارات مختلفة تكون قوة تجاذب.

ومن هذه المعلومات يمكن إعادة كتابة قانون كولوم كما يلى:

$$\mathbf{F}_1 = \frac{Q_1 Q_2}{4\pi\epsilon_0 R_{21}^2} \mathbf{a}_{21} = \frac{Q_1 Q_2}{4\pi\epsilon_0 R_{21}^3} \mathbf{R}_{21} \quad (1)$$

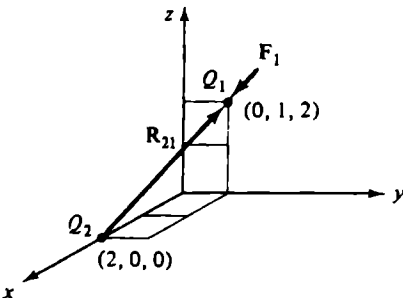
حيث \mathbf{F}_1 القوة على Q_1 نتيجة شحنة ثانية Q_2 , \mathbf{a}_{21} هو متجه الوحدة من Q_2 إلى Q_1 , و $\mathbf{R}_{21} = R_{21} \mathbf{a}_{21}$ هو متجه الموضع من Q_2 إلى Q_1 .

مثال 2.1 أوجد القوة على $Q_1 = 20\mu C$ نتيجة لشحنة $Q_2 = -300\mu C$, موقع Q_1 عند $(2, 0, 0) m$ وموقع Q_2 عند $(0, 1, 2) m$.

Example 2.1 Find the force on charge Q_1 , $20\mu C$, due to charge Q_2 , $-300\mu C$, where Q_1 is at $(0, 1, 2) m$ and Q_2 is at $(2, 0, 0) m$.

الحل: بالإشارة إلى شكل 2-1، متجه الموضع يكون

$$\begin{aligned}
 \mathbf{R}_{21} &= (x_1 - x_2)\mathbf{a}_x + (y_1 - y_2)\mathbf{a}_y + (z_1 - z_2)\mathbf{a}_z \\
 &= (0 - 2)\mathbf{a}_x + (1 - 0)\mathbf{a}_y + (2 - 0)\mathbf{a}_z = -2\mathbf{a}_x + \mathbf{a}_y + 2\mathbf{a}_z \\
 R_{21} &= \sqrt{(-2)^2 + 1^2 + 2^2} = 3
 \end{aligned}$$



شكل 1-2 حساب القوة على Q_1

باستخدام (1)، تكون القوة

$$\begin{aligned}
 \mathbf{F}_1 &= \frac{(20 \times 10^{-6})(-300 \times 10^{-6})}{4\pi(10^{-9}/36\pi)(3)^3} (-2\mathbf{a}_x + \mathbf{a}_y + 2\mathbf{a}_z) \\
 &= 4\mathbf{a}_x - 2\mathbf{a}_y - 4\mathbf{a}_z \text{ N}
 \end{aligned}$$

مقدار القوة هو 6 N واتجاهها بحيث تكون Q_1 منجذبة إلى Q_2 .

هذه القوة ذات علاقة خطية مزدوجة للشحنات وعلى ذلك يمكن تطبيق نظرية التراكب وتكون القوة المؤثرة على Q_1 نتيجة لعدد $n - 1$ من الشحنات. Q_2, \dots, Q_n هي الجمع الاتجاهي

$$\mathbf{F}_1 = \frac{Q_1 Q_2}{4\pi\epsilon_0 R_{21}^2} \mathbf{a}_{21} + \frac{Q_1 Q_3}{4\pi\epsilon_0 R_{31}^2} \mathbf{a}_{31} + \dots = \frac{Q_1}{4\pi\epsilon_0} \sum_{k=2}^n \frac{Q_k}{R_{ki}^2} \mathbf{a}_{ki}$$

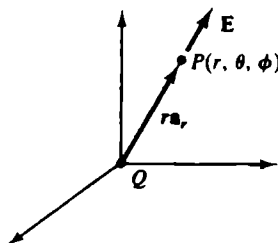
أما إذا كانت الشحنة موزعة توزيعاً مستمراً خلال حيز ما يستبدل الجمع الاتجاهي السابق بتكميل اتجاهي. شدة المجال الكهربى نتيجة لمصدر مشحون (Q_2 أعلاه)

يعرف بأنه القوة لوحدة الشحنة المؤثرة على شحنة اختبار (Q_1 أعلاه).

$$\mathbf{E} = \mathbf{F}_1/Q_1$$

وحدات \mathbf{E} هي النيوتن لكل كولوم (N/C) أو المكافئ وهو الفولت لكل متر (V/m). لشحنة Q على نقطة الأصل لنظام إحداثيات كروي (شكل 2-2)، شدة المجال الكهربى عند النقطة P يكون

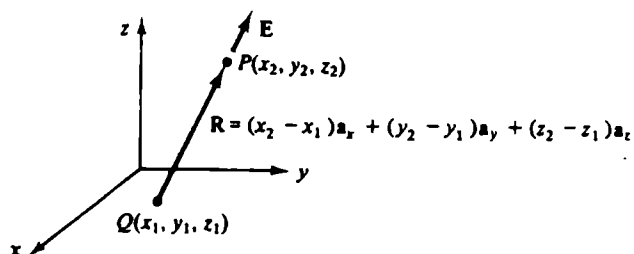
$$\mathbf{E} = \frac{Q}{4\pi\epsilon_0 r^2} \mathbf{a}_r, \quad (2)$$



شكل 2-2 شحنة Q على نقطة الأصل

إذا كانت Q في نظام إحداثيات كرتيزية (شكل 2-3)

$$\mathbf{E} = \frac{Q}{4\pi\epsilon_0 R^2} \mathbf{a}_R \quad (3)$$



شكل 2-3 شحنة Q على نقطة اختيارية

مثال 2.2 أوجد \mathbf{E} عند $(0, 3, 4)$ m بنظام كرتيري نتيجة لنقطة مشحونة $Q = 0.5 \mu\text{C}$ على نقطة الأصل.

Example 2.2 Find \mathbf{E} at $(0, 3, 4)$ m in Cartesian coordinates due to a point charge $Q = 0.5 \mu\text{C}$ at the origin.

الحل: في هذه الحالة

$$\mathbf{R} = (0 - 0)\mathbf{a}_x + (3 - 0)\mathbf{a}_y + (4 - 0)\mathbf{a}_z = 3\mathbf{a}_y + 4\mathbf{a}_z$$

$$R = \sqrt{3^2 + 4^2} = 5$$

$$\mathbf{a}_R = \frac{3\mathbf{a}_y + 4\mathbf{a}_z}{5} = 0.6\mathbf{a}_y + 0.8\mathbf{a}_z$$

باستخدام (3) تكون شدة المجال الكهربائي

$$\mathbf{E} = \frac{0.5 \times 10^{-6}}{4\pi(10^{-9}/36\pi)5^2} (0.6\mathbf{a}_y + 0.8\mathbf{a}_z)$$

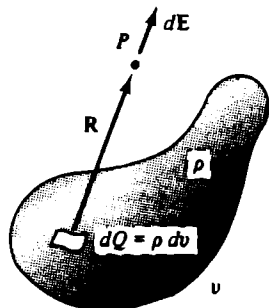
وعلى ذلك فإن $|E| = 0.6\mathbf{a}_y + 0.8\mathbf{a}_z$ V/m في اتجاه

عندما تكون الشحنة موزعة باستمرار خلال حجم معين أو على سطح أو خط فإن كل عنصر شحنة يضيف مجال عند النقطة الخارجية. للكثافة الحجمية للشحنة P (C/m³) يكون عنصر الشحنة $dQ = \rho dv$ ويكون المجال التفاضلي عند النقطة P (شكل 2-4)

$$d\mathbf{E} = \frac{\rho dv}{4\pi\epsilon_0 R^2} \mathbf{a}_R$$

المجال الكلي عند نقطة الرصد P يمكن الحصول عليه عن طريق التكامل الحجمي

$$\mathbf{E} = \int_v \frac{\rho \mathbf{a}_R}{4\pi\epsilon_0 R^2} dv \quad (4)$$



شكل 2-4 نتیجة لشحنة موزعة على حجم

للكثافة السطحية للشحنة (C/m^2), ρ_s يكون عنصر الشحنة, $dQ = \rho_s ds$ والمجال التفاضلي عند النقطة P (شكل 2-5)

$$d\mathbf{E} = \frac{\rho_s ds}{4\pi\epsilon_0 R^2} \mathbf{a}_R$$

المجال الكلى عند نقطة الرصد P يمكن الحصول عليه عن طريق التكامل السطحي S

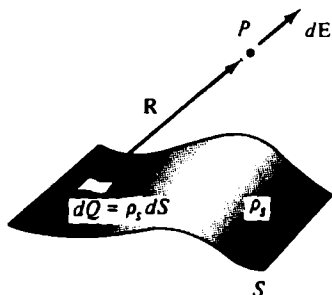
$$\mathbf{E} = \int_S \frac{\rho_s \mathbf{a}_R}{4\pi\epsilon_0 R^2} dS \quad (5)$$

للكثافة الخطية للشحنة (C/m), ρ_l يكون عنصر الشحنة $dQ = \rho_l dl$ والمجال التفاضلي عند النقطة P (شكل 2-6)

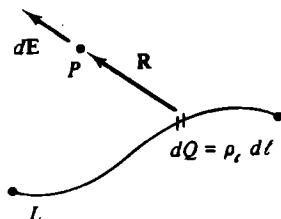
$$d\mathbf{E} = \frac{\rho_l dl}{4\pi\epsilon_0 R^2} \mathbf{a}_R$$

المجال الكلى عند نقطة الرصد P يمكن الحصول عليه عن طريق التكامل الخطى L

$$\mathbf{E} = \int_L \frac{\rho_l \mathbf{a}_R}{4\pi\epsilon_0 R^2} dl \quad (6)$$



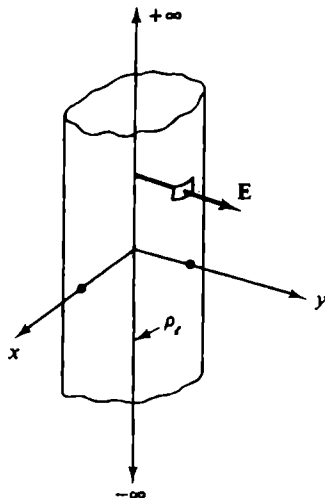
شكل 2-5 E نتيجة لشحنة موزعة على السطح



شكل 2-6 E نتيجة لشحنة موزعة على خط

توجد ثلاث حالات قياسية خاصة بشكل الشحنة هي: الشحنة النقطية، الشحنة الخطية اللانهائية، والشحنة السطحية المستوية اللانهائية من المعادلة (2) يمكن إيجاد E لشحنة موجودة عند نقطة الأصل. إذا كانت كثافة الشحنة ρ_t على خط لا نهائي منتظم التوزيع (ثابتة) على محور z فإن المجال الكهربى يمكن استنتاجه باستخدام (6) ويكون (شكل 2-7)

$$E = \frac{\rho_t}{2\pi\epsilon_0 r} \mathbf{a}_r \quad (7) \quad (\text{إحداثيات أسطوانية})$$

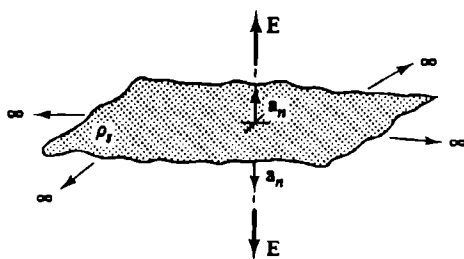


شكل 2-7 خط لا نهائى مشحون،

إذا كانت كثافة الشحنة منتظمة بقيمة ρ_s على مستوى لا نهائى فإن المجال يعطى عن طريق (شكل 2-8)

$$\mathbf{E} = \frac{\rho_s}{2\epsilon_0} \mathbf{a}_n \quad (8)$$

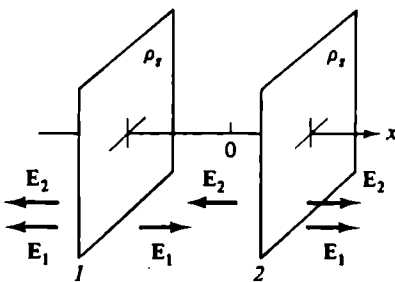
حيث \mathbf{a}_n عمودي على السطح. هذا المجال ثابت المقدار وله تماثل مرآه حول المستوى المشحون.



شكل 2-8 سطح مستوى لا نهائى مشحون

مثال 2.3 يوجد لوحان ممتدان إلى ما لا نهاية ومشحونان بشحنة منتظمة ρ_s على كل لوحة ويقعان على $x = \pm 1$ (شكل 2-9) أوجد \mathbf{E} في كل المناطق

Example 2.3 Two infinite uniform sheets of charge, each with density ρ_s , are located at $x = \pm 1$ (Figure 2-9). Determine \mathbf{E} in all regions.



شكل 2-9 توزيع شحنة على لوحين مستويين

الحل: شكل 2-9 يبيّن جزء من اللوحين المشحونين كلا اللوحين ينتج عنه مجال \mathbf{E} في اتجاه x ولا يعتمد على المسافة. باستخدام المعادلة (8) ونظرية التراكب

$$\mathbf{E} = \begin{cases} -(\rho_s / \epsilon_0) \mathbf{a}_x & x < -1 \\ 0 & -1 < x < 1 \\ (\rho_s / \epsilon_0) \mathbf{a}_x & x > 1 \end{cases}$$

الفيصل الكهربى وقانون جاوس

Electric Flux and Gauss' Law

الفيصل الكهربى Ψ هو مجال مقياسي وكافته D مجال متوجه. (بالتعريف) فإن الفيصل الكهربى Ψ ينبعث من الشحنة الموجبة وينتهى على الشحنة السالبة. وفي غياب الشحنة السالبة فإن الفيصل Ψ ينتهي إلى ما لا نهاية. وأيضاً بالتعريف فإن واحد كولوم من الشحنة يعطي واحد كولوم من الفيصل الكهربى. إذن

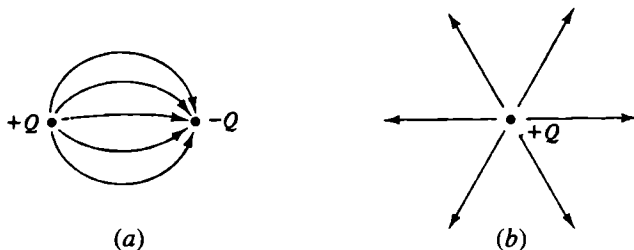
$$\Psi = Q(C)$$

شكل (a) 2-10 يبين أن خطوط التدفق تترك $+Q$ وتنتهي على $-Q$. هذا على فرض أن الشحتتين لها نفس المقدار. شكل (b) 2-10 يبين حالة شحنة موجبة بدون شحنة سالبة في الفراغ. وفي هذه الحالة فإن خطوط الفيصل تكون على مسافات متساوية على الزاوية المحسنة التي تحيط بالشحنة وتنتهي إلى لا نهاية.

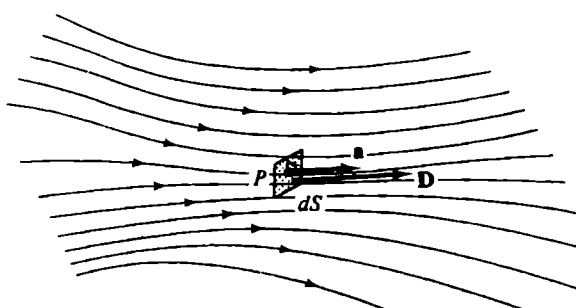
خطوط التدفق حول النقطة P تأخذ اتجاه متجه الوحدة a (شكل 2-11)

وإذا عبرت كمية من الفيصل Ψ المساحة التفاضلية dS (التي تكون عمودية على a) فإن كثافة الفيصل الكهربى عند النقطة P تكون

$$D = \frac{d\Psi}{dS} a \quad (\text{C/m}^2)$$



شكل 2-10 الفيصل الكهربى لنقطة مشحونة



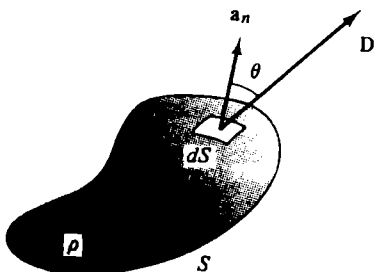
شكل 2-11 تعريف كثافة التدفق الكهربى D

شكل 12-2 يبين توزيع حجمي لشحنة كثافتها (C/m^3) ρ وبحيط بها سطح S . حيث أن كل كولوم من الشحنة Q له كولوم من الفيصل وبالتالي فإن التدفق الفعلى الذي يعبر السطح المغلق S هو مقياس للشحنة الفعلية الداخلية. إذا كان D على عنصر السطح dS يصنع زاوية θ مع متوجه الوحدة العمودي، على السطح a_n ، فإن الفيصل التفاضلي الذي يعبر dS يكون

$$d\Psi = D dS \cos \theta = \mathbf{D} \cdot d\mathbf{S} = \mathbf{D} \cdot d\mathbf{S}$$

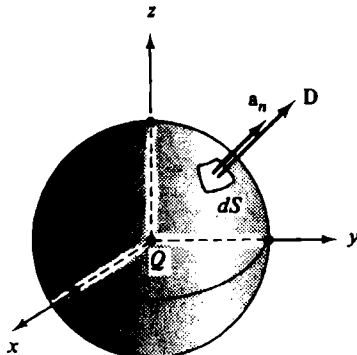
حيث dS تمثل متوجه عنصر المساحة. ينص قانون جاوس على أن الفيصل الكلى الخارج من سطح مغلق يساوى صافي الشحنة داخل هذا السطح. ويعطى قانون جاوس في الصورة التكاملية كما يلى:

$$\Psi = \oint_S \mathbf{D} \cdot d\mathbf{S} = Q_{\text{enclosed}} \quad (9)$$



شكل 12-2 شحنة كثافتها ρ يحيط بها سطح مغلق S

تأمل الشحنة النقطية Q عند نقطة الأصل (شكل 12-3).



شكل 13-2 شحنة نقطية داخل سطح كروي مغلق

إذا أحاط بهذه الشحنة سطح كروي له نصف قطر r ، إذن نتيجة للتماثل فإن D نتيجة له Q تكون ثابتة المقدار على السطح وتكون متعامدة على السطح في كل مكان. باستخدام قانون جاوس (9) تنتهي المعادلة الآتية

$$Q = \oint_S D \bullet dS = D \oint_S dS = D(4\pi r^2)$$

ومنها $D = Q/4\pi r^2$ وعلى ذلك

$$D = \frac{Q}{4\pi r^2} a_r \quad (\text{إحداثيات كروية})$$

بمقارنة هذه بالمعادلة (2) ينتهي $\epsilon_0 E = D$. وبشكل عام لأى مجال كهربى فى حيز موحد (متشابه) الخواص (خصائصه لا تتغير بتغير اتجاه المجال)

$$D = \epsilon E$$

التشعب للمجال الكهربى الساكن يستخدم عندما يوجد بالحيز مصادر (شحنة موجبة خالصة) أو مستقبلات (شحنة سالبة خالصة). يعرف التشعب لكتافة الفيض الكهربى عند النقطة P كما يلى

$$\operatorname{div} \mathbf{D} = \nabla \cdot \mathbf{D} = \lim_{\Delta v \rightarrow 0} \frac{\oint \mathbf{D} \cdot d\mathbf{S}}{\Delta v} = \lim_{\Delta v \rightarrow 0} \frac{Q_{\text{enclosed}}}{\Delta v} = \rho$$

حيث S سطح يحيط بـ Δv
هذه هي الصورة النقاطية لقانون جاوس

$$\nabla \cdot \mathbf{D} = \rho \text{ (C/m}^3\text{)} \quad (10)$$

الصورة النقاطية لقانون جاوس تعطينا وصفاً خاصاً لتوزيع شحنة المنشع.
يعرف التشعيب لمتجه عام \mathbf{A} لنظم الإحداثيات الثلاثة كما يلى:

$$\nabla \cdot \mathbf{A} = \frac{\partial A_x}{\partial x} + \frac{\partial A_y}{\partial y} + \frac{\partial A_z}{\partial z} \quad \text{كريزى} \quad (11)$$

$$\nabla \cdot \mathbf{A} = \frac{1}{r} \frac{\partial}{\partial r} (r A_r) + \frac{1}{r \sin \theta} \frac{\partial}{\partial \theta} (A_\theta \sin \theta) + \frac{1}{r \sin \theta} \frac{\partial A_\phi}{\partial \phi} \quad \text{أسطواني} \quad (12)$$

$$\nabla \cdot \mathbf{A} = \frac{1}{r^2} \frac{\partial}{\partial r} (r^2 A_r) + \frac{1}{r \sin \theta} \frac{\partial}{\partial \theta} (A_\theta \sin \theta) + \frac{1}{r \sin \theta} \frac{\partial A_\phi}{\partial \phi} \quad \text{كروى} \quad (13)$$

مثال 2.4. إذا كان $\mathbf{D} = (-2 \times 10^{-4}/r)\mathbf{a}_r$ (C/m²) في الحيز $0 < r < 1$ m، وفي الحيز $r > 1$ m فإن $\mathbf{D} = (-4 \times 10^{-4}/r^2)\mathbf{a}_r$ (C/m²) باستخدام الإحداثيات الكروية
أوجد كثافة الشحنة في الحيزين.

Example 2.4 In the region $0 < r < 1$ m, $\mathbf{D} = (-2 \times 10^{-4}/r)\mathbf{a}_r$ (C/m²) and for $r > 1$ m, $\mathbf{D} = (-4 \times 10^{-4}/r^2)\mathbf{a}_r$ (C/m²), in spherical coordinates. Find the charge density in both regions.

الحل: باستخدام (10)، (13) للحيز $0 < r < 1$ m

$$\rho = \nabla \cdot \mathbf{D} = \frac{1}{r^2} \frac{\partial}{\partial r} (r^2 D_r) = \frac{1}{r^2} \frac{\partial}{\partial r} (-2 \times 10^{-4} r) = \frac{-2 \times 10^{-4}}{r^2} \text{ (C/m}^3\text{)}$$

للحيز $r > 1 \text{ m}$

$$\rho = \nabla \cdot \mathbf{D} = \frac{1}{r^2} \frac{\partial}{\partial r} (-4 \times 10^{-4}) = 0$$

ملاحظة

قانون جاوس في صورة التكامل أو في الصورة التقليدية مرتبطة بنظرية الشعب Divergence Theorem

$$\oint_S \mathbf{D} \cdot d\mathbf{S} = \int_V (\nabla \cdot \mathbf{D}) dV = Q_{\text{enclosed}}$$

حيث S هو السطح الذي يحيط بالحجم V .

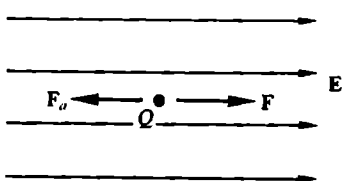
الشغل والطاقة والجهد Work, Energy, and Potential

تتعرض شحنة مقدارها Q لقوة \mathbf{F} في مجال كهربى \mathbf{E} . القوة تعطى بالمعادلة

$$\mathbf{F} = QE \text{ (N)}$$

ولكى نحافظ على توازن الشحنة فإنه يتغير التأثير بقوة خارجية $\mathbf{F}_a = -QE$ في اتجاه معاكس (شكل 2-14)

$$\mathbf{F} = QE \quad \mathbf{F}_a = -QE$$



شكل 2-14 القوى المؤثرة على Q



يعرف الشغل بأنه قوة تؤثر خلال مسافة. وحدات الشغل هي الجول (J).

بذلك فإن (قيمة تفاضلية) للشغل المبذول مقدارها dW تبذل بواسطة قوة خارجية \mathbf{F}_e فينبع عنها إزاحة تفاضلية للشحنة $d\mathbf{l}$. هذا يعني تحريك الشحنة مسافة $|d\mathbf{l}| = |d\mathbf{l}|$ كمياً

$$dW = \mathbf{F}_e \cdot d\mathbf{l} = -QE \cdot d\mathbf{l}$$

يلاحظ أنه عندما تكون Q موجبة و $d\mathbf{l}$ في اتجاه \mathbf{E} فإن $dW = -QE d\mathbf{l} < 0$ وفي ذلك إشارة إلى أن الشغل قد بذل بواسطة المجال الكهربى. من الناحية الأخرى، إذا كان dW موجباً فإن ذلك يشير إلى أن الشغل المبذول ضد المجال الكهربى. صور مركبات متوجه عنصر الإزاحة كالتالى:

$$(كرتيزية) \quad d\mathbf{l} = dx \mathbf{a}_x + dy \mathbf{a}_y + dz \mathbf{a}_z$$

$$(أسطوانية) \quad d\mathbf{l} = dr \mathbf{a}_r + r d\phi \mathbf{a}_\phi + dz \mathbf{a}_z$$

$$(كروية) \quad d\mathbf{l} = dr \mathbf{a}_r + r d\theta \mathbf{a}_\theta + r \sin \theta d\phi \mathbf{a}_\phi$$

مثال 2.5 مجال كهربى ساكن معطى كالتالى

$$\mathbf{E} = (x/2 + 2y) \mathbf{a}_x + 2x \mathbf{a}_y \text{ (V/m)}$$

أوجد الشغل المبذول في تحريك شحنة نقطية $Q = -20 \mu\text{C}$ (a) من نقطة الأصل إلى $(4, 0, 0)$ m و(b) من النقطة $(4, 0, 0)$ m إلى النقطة $(4, 2, 0)$ m.

Example 2.5 An electrostatic field is given by

$$\mathbf{E} = (x/2 + 2y) \mathbf{a}_x + 2x \mathbf{a}_y \text{ (V/m)}$$

Find the work done in moving a point charge $Q = -20 \mu\text{C}$ (a) from the origin to $(4, 0, 0)$ m, and (b) from $(4, 0, 0)$ m to $(4, 2, 0)$ m.

الحل: (a) المسار الأول عبر محور x لذلك $d\mathbf{l} = dx \mathbf{a}_x$

$$dW = -QE \cdot d\mathbf{l} = (20 \times 10^{-6}) \left(\frac{x}{2} + 2y \right) dx$$

$$W = (20 \times 10^{-6}) \int_0^4 \left(\frac{x}{2} + 2y \right) dx \Big|_{y=0} = 80 \mu\text{J}$$

(b) المسار الثاني في اتجاه \mathbf{a}_y ولذلك $d\mathbf{l} = dy \mathbf{a}_y$.

$$W = (20 \times 10^{-6}) \int_0^2 2x \, dy \Big|_{x=4} = 320 \mu J$$

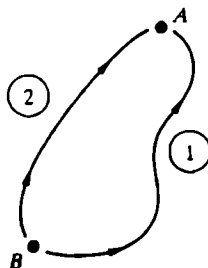
الشغل المبذول في تحريك شحنة نقطية من مكان A إلى مكان آخر B في مجال كهربى ساكن لا يعتمد على المسار المتبعة. وعلى ذلك وبناء على شكل 2-15

$$\int_{①} \mathbf{E} \cdot d\mathbf{l} = - \int_{②} \mathbf{E} \cdot d\mathbf{l} \quad \text{or} \quad \oint_{①-②} \mathbf{E} \cdot d\mathbf{l} = 0$$

حيث التكامل الأخير على مسار مغلق ومكون من المسار ① وقد اعتبر موجباً والمسار ② اعتير سالباً.

✓ يجب أن تعرف

للمجال الكهربى الساكن يكون التكامل المتعلق دائعاً مساوى الصفر بغض النظر عن المسار وعلى ذلك يطلق على المجال الكهربى الساكن مجال محافظ.



شكل 2-15 مسارات محتملان للتكميل

مثال 2.6 لل المجال \mathbf{E} في مثال 2.5 أوجد الشغل المبذول لتحريك نفس الشحنة من $(4, 2, 0)$ رجوعاً إلى $(0, 0, 0)$ عبر مسار خط مستقيم.

Example 2.6 For the \mathbf{E} field of Example 2.5, find the work done in moving the same charge from $(4,2,0)$ back to $(0,0,0)$ along a straight-line path.

الحل: تكامل الشغل ينقسم إلى تكاملين في x و y .

$$W = (20 \times 10^{-6}) \int_{(4,2,0)}^{(0,0,0)} \left[\left(\frac{x}{2} + 2y \right) \mathbf{a}_x + 2x \mathbf{a}_y \right] \bullet (dx \mathbf{a}_x + dy \mathbf{a}_y)$$

$$W = (20 \times 10^{-6}) \int_4^0 \left(\frac{x}{2} + 2y \right) dx + (20 \times 10^{-6}) \int_2^0 2x dy$$

ولكن على المسار $x/2 = y$ وبالتعويض في التكامل يعطى

$$W = (20 \times 10^{-6}) \int_4^0 \frac{3}{2} x dx + (20 \times 10^{-6}) \int_2^0 4y dy = -400 \mu\text{J}$$

من المثال 2.5 نلاحظ أن شغل مقداره $400 \mu\text{J} = 400 + 320 = 80$ تم بذله ضد المجال، وعلى مسار قائم الزاوية خارجي وذلك بال تمام نفس الشغل الذي تم إرجاعه بواسطة المجال على مسار خط مستقيم داخلي وبذلك يكون الشغل الكلي صفر (مجال محافظ).

جهد النقطة A بالنسبة B (يكتب V_{AB}) يُعرف على أنه الشغل المبذول لتحريك وحدة الشحنة الموجبة من B إلى A . لشحنة موجبة Q_u فإن

$$V_{AB} = \frac{W}{Q_u} = - \int_B^A \mathbf{E} \bullet d\mathbf{l} \quad (\text{J/C or V}) \quad (14)$$

حيث أن المجال \mathbf{E} محافظ $V_{AB} = V_{AC} - V_{BC}$ وعلى هذا فإن V_{AB} يمكن اعتبارها فرق الجهد بين A ، B . عندما تكون V_{AB} موجبة معنى ذلك أنه يجب

بذل شغل لتحريك وحدة الشحنة من B حتى A ويقال أن جهد A أعلى من B .
حيث أن المجال الناشئ عن شحنة نقطية موجودة عند نقطة الأصل في اتجاه
نصف قطر المعادلة (2) فإن

$$V_{AB} = - \int_B^A \mathbf{E} \bullet d\mathbf{l} = - \frac{Q}{4\pi\epsilon_0} \int_{r_B}^{r_A} \frac{dr}{r^2} = \frac{Q}{4\pi\epsilon_0} \left(\frac{1}{r_A} - \frac{1}{r_B} \right)$$

إذا كانت الشحنة Q موجبة فإن جهد A أعلى من B عندما $r_A < r_B$. إذا
اعتبرنا النقطة B نقطة الإسناد وتحركت إلى ما لا نهاية.

$$V_{A\infty} = \frac{Q}{4\pi\epsilon_0} \left(\frac{1}{r_A} - \frac{1}{\infty} \right)$$

أو

$$V = \frac{Q}{4\pi\epsilon_0 r}$$



تذكر!

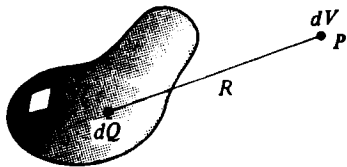
V هي الجهد المطلق نتيجة لـ Q عندما يكون الإسناد في
ما لا نهاية.

إذا وزعت شحنة خلال حجم محدود وكانت كثافة الشحنة (C/m^3) ρ فيكون
الجهد التفاضلي عند النقطة P (شكل 16-2) هو

$$dV = \frac{dQ}{4\pi\epsilon_0 R} = \frac{\rho dv}{4\pi\epsilon_0 R}$$

يمكن الحصول على الجهد الكلى عند النقطة P عن طريق التكامل

$$V = \int_{\text{volume}} \frac{\rho dv}{4\pi\epsilon_0 R}$$

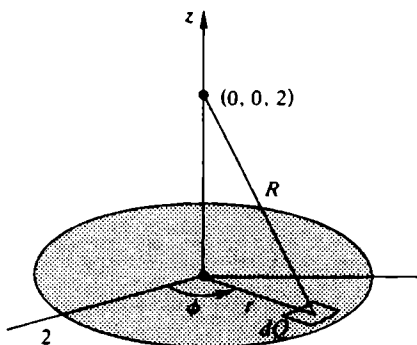


شكل 16-2 الجهد نتيجة لشحنة حجمية

مثال 2.7 شحنة كلية مقدارها $40/3$ نانوكولوم موزعة توزيعاً منتظمأً على شكل قرص دائري نصف قطره 2 m. أوجد الجهد نتيجة لهذه الشحنة عند المحور وعلى مسافة 2 m من القرص.

Example 2.7 A total charge of $40/3$ nano coulomb is uniformly distributed in the form of a circular disk of radius 2 m. Find the potential due to this charge at a point on the axis, 2 m from the disk.

الحل: من شكل 2-17 يمكن إيجاد الجهد باستخدام نظام الإحداثيات الأسطوانية.



شكل 17-2 قرص دائري سطحي من الشحنة

لتوزيع منتظم للشحنة

$$\rho_s = \frac{Q}{Area} = \frac{40/3 \times 10^{-9}}{4\pi} = \frac{10^{-8}}{3\pi} \text{ (C/m}^2\text{)}$$

المسافة R تعطى كالتالي

$$R = \sqrt{4 + r^2} \quad (\text{m})$$

تكامل الجهد على السطح يكون

$$V = \int_S \frac{\rho_s ds}{4\pi\epsilon_0 R} = \frac{30}{\pi} \int_0^{2\pi} \int_0^r \frac{r dr d\phi}{\sqrt{4 + r^2}} = 49.7 \text{ V}$$

المجال الكهربى والجهد مرتبطان معًا بواسطة التكامل (14). والعلاقة التفاضلية يمكن استنتاجها ومنها يمكن إيجاد E من جهد معلوم V .

المجال الكهربى والجهد أيضًا مرتبطان عن طريق

$$\mathbf{E} = -\nabla V$$

حيث ∇V هو تدرج الجهد V لنظم الإحداثيات يعرف التدرج كما يلى

$$\nabla V = \frac{\partial V}{\partial x} \mathbf{a}_x + \frac{\partial V}{\partial y} \mathbf{a}_y + \frac{\partial V}{\partial z} \mathbf{a}_z \quad (\text{كرتזית})$$

$$\nabla V = \frac{\partial V}{\partial r} \mathbf{a}_r + \frac{\partial V}{r \partial \phi} \mathbf{a}_\phi + \frac{\partial V}{\partial z} \mathbf{a}_z \quad (\text{أسطوانية})$$

$$\nabla V = \frac{\partial V}{\partial r} \mathbf{a}_r + \frac{\partial V}{r \partial \theta} \mathbf{a}_\theta + \frac{\partial V}{r \sin \theta \partial \phi} \mathbf{a}_\phi \quad (\text{كروية})$$

مثال 2.8 في حالة الإحداثيات الكروية فقد تم إيضاح أنه لشحنة Q فإن الجهد $V = Q/4\pi\epsilon_0 r$.

Example 2.8 In spherical coordinates, it was shown that for a charge Q the potential is $V = Q/4\pi\epsilon_0 r$. Using the spherical gradient,

$$\mathbf{E} = -\nabla V = -\frac{\partial}{\partial r} \left(\frac{Q}{4\pi\epsilon_0 r} \right) \mathbf{a}_r = \frac{Q}{4\pi\epsilon_0 r^2} \mathbf{a}_r$$

وهو نفس التعبير بالمعادلة (2).

التيار والوصلات

Current and Conductors

التيار الكهربى هو معدل انتقال الشحنة الكهربية عبر نقطة معينة أو عبر سطح معين. فى الدوائر يستخدم الرمز I عموماً فى حالة التيار الثابت ويستخدم الرمز i فى حالة التيار المتنبئ مع الزمن.

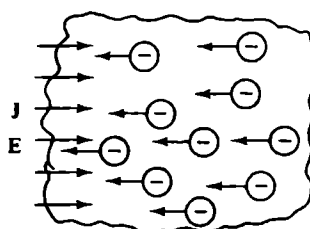


وحدة التيار هي أمبير $1 \text{ A} = 1 \text{ C/s}$.

لκثافة التيار التوصيلى J أهمية خاصة. الموصىل هو مادة له عدد كبير من إلكترونات التوصيل الحرة. يتم التيار التوصيلى عندما يؤثر المجال الكهربى بقوة على الإلكترونات الحرة ويتسبب عن هذا تدفق منتظم للشحنة خلال المادة الموصولة. التوصيلية σ لها علاقة بسهولة الحركة لإلكترونات التوصيل داخل المادة. وحدات التوصيلية σ هي السيمتر (S). العلاقة بين المجال الكهربى والتيار التوصيلى يعطى بالمعادلة (شكل 2-18)

$$J = \sigma E \quad (\text{A/m}^2)$$

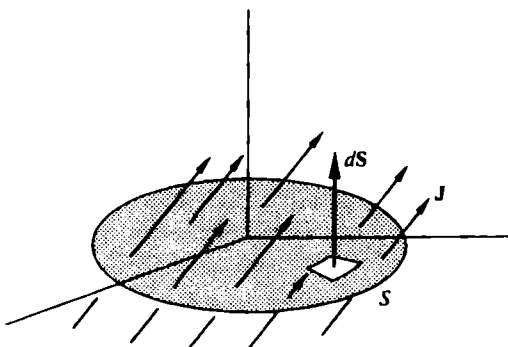
هذه المعادلة يشار إليها بأنها قانون أوم Ohm's Law في صورة نقطية.



شكل 2-18 تدفق التيار فى موصل

حيث كثافة التيار J تخترق السطح S (مثل مساحة مقطع سلك التوصيل)، يمكن الحصول على التيار I عن طريق تكامل الضرب المقياسي لـ J مع متوجه المساحة التفاضلي dS (شكل 2-19)

$$dI = \mathbf{J} \bullet d\mathbf{S} \quad I = \int_S \mathbf{J} \bullet d\mathbf{S}$$



شكل 2-19-2 تدفق J خلال المسطح S

مثال 2.9 أوجد التيار في السلك الدائري المبين بشكل 2-20 إذا كانت كثافة التيار (A/m^2) . $J = 15(1 - e^{-1000r})a_z$. ونصف قطر السلك 2 mm .

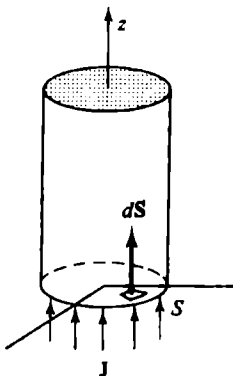
Example 2.9 Find the current in the circular wire shown in Figure 2-20 if the current density is $J = 15(1 - e^{-1000r})a_z$ (A/m^2). The radius of the wire is 2 mm .

الحل: S تمثل مساحة السلك ونظام الإحداثيات الأسطوانية سوف يستخدم. التيار التفاضلي يكون

$$dI = \mathbf{J} \bullet d\mathbf{S} = 15(1 - e^{-1000r})a_z \bullet r dr d\phi a_z$$

و

$$I = \int_0^{2\pi} \int_0^{0.002} 15(1 - e^{-1000r})r dr d\phi = 1.33 \times 10^{-4} \text{ A} = 0.133 \text{ mA}$$



شكل 20-2 التيار المار خلال سلك

إذا كان الموصل له مساحة مقطع منتظم A وطوله ℓ كما في شكل 21-2 فإن فرق الجهد V بين النهايتين

$$E = \frac{V}{\ell}, \quad J = \frac{\sigma V}{\ell}$$

بفرض أن التيار منتظم على مساحة المقطع A فإن التيار الكلى

$$I = JA = \frac{\sigma AV}{\ell}$$

حيث أن قانون أوم ينص على أن $V = IR$ فتعرف المقاومة لسلك كالتالي

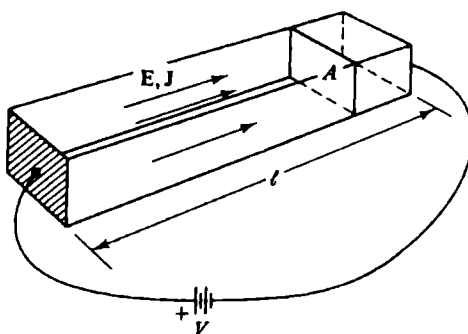
$$R = \frac{\ell}{\sigma A} \quad (\text{ohms, } \Omega)$$

يرتبط الأوم بالسيمنز بواسطة $1 \text{ S}^{-1} = 1 \Omega$.

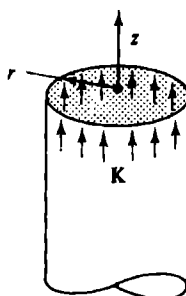
في بعض الأحيان وخاصة عند الترددات العالية يكون التيار متاخم (ملازم) لسطح الموصل. من أجل كثافة التيار السطحية يكون من المفيد تعريف متوجه الكثافة K والذي يعطى معدل انتقال الشحنة لوحدة الأطول (A/m). شكل 22-2 يبين التيار الكلى المار على سطح أسطوانة نصف قطرها r

في اتجاه z في هذه الحالة، I يكون منتظم التوزيع على محيط السطح ويعطى كثافة تيار سطحية بواسطة

$$K = \frac{I}{2\pi r} a_z$$



شكل 2-21 حساب مقاومة موصل



شكل 2-22 كثافة التيار السطحي K على أسطوانة

السعة

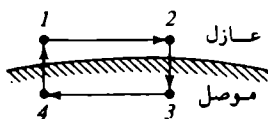
Capacitance

السعة هي قابلية جسم لتخزين الشحنة الكهربية. المكثفات هي عناصر لتخزين الطاقة في الدوائر. لحساب السعة لا بد أولاً من تعريف شروط الحد الفاصل بين مادة موصلة ومادة عازلة.

الوسط غير الموصل ينظر إليه عادة على أنه مادة عازلة.

في حالة المجال الساكن كل الشحنة الفعالة تكون على السطح الخارجي للموصل ويكون كل من E و D مساوياً للصفر داخل المادة الموصلة باستخدام خاصية أن المجال الثابت محافظ ينتج (شكل 2-23)

$$\int_1^2 E \cdot d\ell + \int_2^3 E \cdot d\ell + \int_3^4 E \cdot d\ell + \int_4^1 E \cdot d\ell = 0$$



شكل 2-23 مسار التكامل عند الحد الفاصل بين موصل وعازل

إذا كان التكامل على المساران من 2 إلى 3 ومن 4 إلى 1 مساوياً للصفر وذلك للحصول على الشروط عند الحد الفاصل، وعلى ذلك يكون التكامل الثاني والرابع معاً مساوياً للصفر. إن المسار من 3 إلى 4 داخل الموصل حيث E مساوياً للصفر وذلك يؤدي إلى

$$\int_1^2 E \cdot d\ell = \int_1^2 E_i \cdot d\ell = 0$$

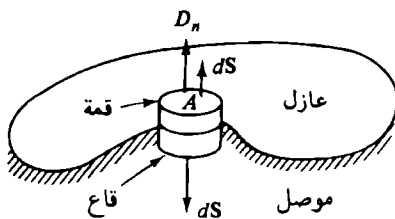
حيث E_i هي القيمة المماسية لـ E على السطح العازل.

ملاحظة!

القيمة المعاكسية لـ E و D تساوى صفرًا عند الحد الفاصل بين موصل وعزل

$$E_t = D_t = 0$$

لإيجاد الشروط المركبة العمودية، افرض أن هناك أسطوانة مغلقة دائرية قائمة صغيرة وضعت متعامدة على الحد الفاصل كما هو مبين بالشكل 2-24.



شكل 2-24 إيجاد مركبة المجال العمودية عند الحد الفاصل بين موصل وعزل

بنطبيق قانون جاوس على هذا السطح

$$\oint \mathbf{D} \bullet d\mathbf{s} = Q_{enc} = \int_{\text{قمة}} \mathbf{D} \bullet d\mathbf{s} + \int_{\text{قاع}} \mathbf{D} \bullet d\mathbf{s} + \int_{\text{جانب}} \mathbf{D} \bullet d\mathbf{s} = \int_A \rho_s dS$$

التكامل على سطح الجانب يساوى الصفر إذا كان ارتفاع الأسطوانة يقترب من الصفر. التكامل على سطح القاع يساوى الصفر حيث أن \mathbf{D} داخل الموصل. هذا يترك (يؤدي)

$$\int_{\text{قمة}} \mathbf{D} \bullet d\mathbf{s} = \int_A D_n dS = \int_A \rho_s dS$$

حيث D_n المركبة العمودية لـ \mathbf{D} في العازل عند الحد الفاصل. هذا يتحقق فقط إذا كان

$$D_n = \rho_s \quad \text{and} \quad E_n = \frac{\rho_s}{\epsilon}$$

حيث ϵ هي الإنفاذية للعزل لذلك مركبة D العمودية تنتهي بشحنة سطحية ρ_s عند الحد الفاصل بين الموصل والعزل.

المواد العازلة تصبح مستقطبة بتأثير المجال الكهربى وينشأ عن هذا كثافة تدفق D يكون أعلى من مثيله في حالة الحيز الحالى. تأثير الاستقطاب بسبب نظام الربط لأزواج من الشحنة السالبة والموجبة خلال العازل يعرف بعزم ثانوى القطبية. هذا يزيد من كثافة الفيصل نتيجة للاستقطاب وهذا يحدث في المواد الخطية والموحدة الخواص عن طريق تعريف السماحية ϵ للمادة وربط E و D بواسطة

$$D = \epsilon E$$

الإنفاذية ϵ تتناسب مع الإنفاذية للحيز الحالى عن طريق

$$\epsilon = \epsilon_r \epsilon_0$$

حيث ϵ_r الإنفاذية النسبية أو ثابت العزل للمادة. لمعظم المواد العازلة $\epsilon_r > 1$.
المادة الغير موصلة تستعمل كمواد عازلة في المكثفات أو جسمين موصلين يفصل بينهما مادة عازلة أو حيز خالٍ يكون هناك سعة بينهما. فرق الجهد المؤثر يسبب وجود شحنة Q^+ على إحدى الموصلات و Q^- على الموصى الآخر.

النسبة بين مقدار القيمة المطلقة للشحنة إلى القيمة المطلقة لفرق الجهد تعرف بأنها السعة للنظام وتعطى

$$C = \frac{Q}{V} \quad (\text{F})$$

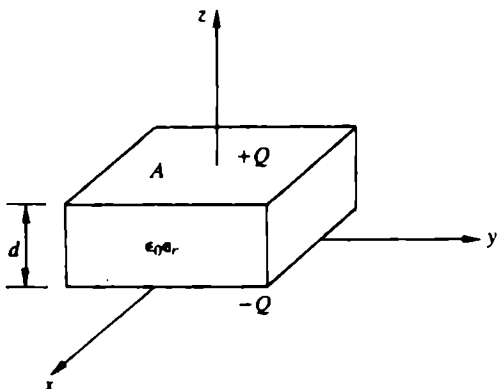
وحدة السعة هي فاراد (F).

$$1 \text{ F} = 1 \text{ C/V}$$

السعة تعتمد على الشكل الهندسي للنظام وعلى خواص العازل أو العوازل المستخدمة.

مثال 2.10 أوجد سعة اللوحين المتوازيين بشكل 2-25 أهمل التهدب (أي، أفرض أن المجال منتظم التوزيع بين اللوحين وأن الشحنة على اللوحين منتقطة التوزيع).

Example 2.10 Find the capacitance of the parallel plates in Figure 2-25, neglecting fringing (i.e., assume the field is uniformly distributed between the plates and the charge is uniformly distributed on the plates).



شكل 2-25 مكثف ذو لوحين متوازيين

الحل: بفرض أن الشحنة على اللوح العلوي $+Q$ والشحنة على اللوح السفلي $-Q$. ويفرض أن توزيع الشحنة منتظم على اللوح العلوي

$$\rho_s = \frac{Q}{A}$$

وتكون كثافة الشحنة على اللوح السفلي $-\rho_s$. يكون D منتظمًا ومتوجهًا من $+Q$ إلى $-\rho_s$.

$$\mathbf{D} = \frac{Q}{A}(-\mathbf{a}_z) \quad \text{and} \quad \mathbf{E} = \frac{Q}{\epsilon_0 \epsilon_r A}(-\mathbf{a}_z)$$

جهد اللوح العلوي بالنسبة للوح السفلي يمكن إيجاده عن طريق التكامل [باستخدام (14)].

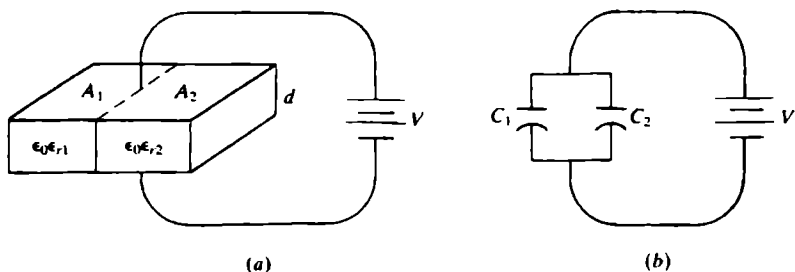
$$V = - \int_0^d \left[\frac{Q}{\epsilon_0 \epsilon_r A} (-\mathbf{a}_z) \right] \bullet (dz \mathbf{a}_z) = \frac{Qd}{\epsilon_0 \epsilon_r A}$$

على ذلك $C = Q/V = \epsilon_0 \epsilon_r A/d$. ويلاحظ أن النتيجة تعتمد فقط على الشكل الهندسي وإنفاذية المادة وليس على الشحنة أو الجهد.

عندما يوجد عازلان بالمكثف ويكون الحد البيني الفاصل بينهما موازيًا لـ \mathbf{E} و \mathbf{D} كما هو مبين بشكل (a) 2-26 يمكن إيجاد السعة المكافئة عن طريق معاملة النظام كمكثفين على التوازي [شكل (b) 2-26].

$$C_1 = \frac{\epsilon_0 \epsilon_{r1} A_1}{d} \quad C_2 = \frac{\epsilon_0 \epsilon_{r2} A_2}{d}$$

$$C_{eq} = C_1 + C_2 = \frac{\epsilon_0}{d} (\epsilon_{r1} A_1 + \epsilon_{r2} A_2) \quad (15)$$

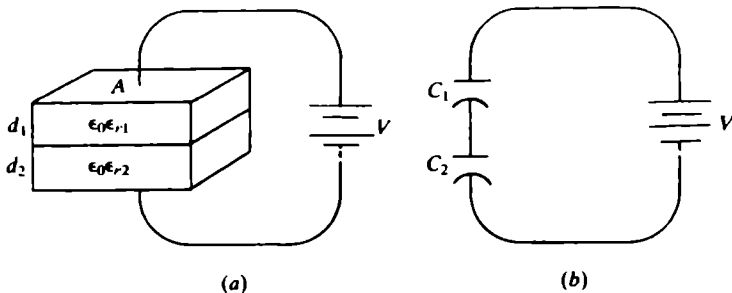


شكل 2-26 تركيب مكثف التوازي

عندما يكون الحد البيني للعازلين عمودياً على \mathbf{D} و \mathbf{E} كما هو بشكل (a) 2-27 فأن السعة المكافئة توجد عن طريق اعتبار أن المكثفين على التوازي [شكل (b) 2-27].

$$C_1 = \frac{\epsilon_0 \epsilon_{r1} A}{d_1} \quad C_2 = \frac{\epsilon_0 \epsilon_{r2} A}{d_2}$$

$$\frac{1}{C_{eq}} = \frac{1}{C_1} + \frac{1}{C_2} = \frac{\epsilon_{r2} d_1 + \epsilon_{r1} d_2}{\epsilon_0 \epsilon_{r1} \epsilon_{r2} A} \quad (16)$$



شكل 2-27 ترکیب مکثف التوالی

يمكن أن تمتد النتيجة لأى عدد من العوازل بحيث تكون جميع الأسطح البيئية عمودية على D و E. معكوس السعة المكافئة هو معكوس السعات منفردة.

مثال 2.11 مكثف متوازى اللوحين بمساحة 0.30 m^2 وفاصل 0.30 mm يحتوى على ثلاثة عوازل والأسطح البيئية متعمادة على E و D كما يلى: $d_3 = 2.5 \text{ mm}$ ، $\epsilon_{r3} = 6.0$ ، $d_2 = 2.0 \text{ mm}$ ، $\epsilon_{r2} = 4.0$ ، $d_1 = 1.0 \text{ mm}$ ، $\epsilon_{r1} = 3.0$. أوجد السعة.

Example 2.11 A parallel plate capacitor with area 0.30 m^2 and separation 5.5 mm contains three dielectrics with interfaces normal to E and D, as follows: $\epsilon_{r1} = 3.0$, $d_1 = 1.0 \text{ mm}$; $\epsilon_{r2} = 4.0$, $d_2 = 2.0 \text{ mm}$; $\epsilon_{r3} = 6.0$, $d_3 = 2.5 \text{ mm}$. Find the capacitance.

الحل: يعامل كل عازل على أنه مكثف واحد في مجموعة مكونة من ثلاثة مكثفات على التوالى.

$$C_1 = \frac{\epsilon_0 \epsilon_{r1} A}{d_1} = \frac{\epsilon_0 (3.0)(0.30)}{10^{-3}} = 7.96 \text{ nF}$$

بالمثل $C_3 = 6.37 \text{ nF}$ ، $C_2 = 5.31 \text{ nF}$

$$\frac{1}{C_{eq}} = \frac{1}{7.96 \times 10^{-9}} + \frac{1}{5.31 \times 10^{-9}} + \frac{1}{6.37 \times 10^{-9}} \quad \text{or} \quad C_{eq} = 2.12 \text{ nF}$$

أشياء هامة للتذكر

- ✓ الشحنات المشابهة تناقض والشحنات المعاكسة تتجاذب.
- ✓ لشحنة نقطية في نقطة الأصل يكون في اتجاه نصف القطر.
- ✓ لحيز موحد الخواص $D = \epsilon E$
- ✓ العلاقة بين E و V هي $E = -\nabla V$ وأيضاً بالمعادلة (14).
- ✓ كثافة تيار التوصيل $J = \sigma E$.
- ✓ السعة للمكثف متوازي اللوحين كما يلى

Solved Problems

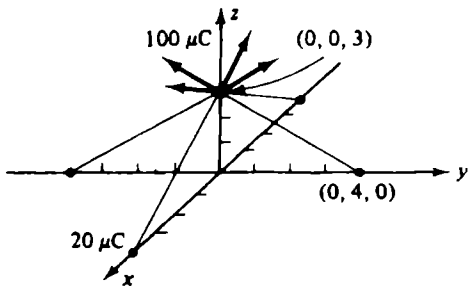
مسائل محلولة

مسألة محلولة 2.1

بالإشارة إلى شكل 2-28. أوجد القوة على الشحنة $100 \mu\text{C}$ عند $(0, 0, 3) \text{ m}$ إذا وجدت أربع شحنات متساوية بقيمة $20 \mu\text{C}$ على المحور x و y عند $\pm 4 \text{ m}$.

Solved Problem 2.1

Refer to Figure 2-28. Find the force on a $100 \mu\text{C}$ charge at $(0,0,3) \text{ m}$ if four like charges of $20 \mu\text{C}$ are located on the x and y axes at $\pm 4 \text{ m}$.



شكل 2-28 جمع القوى التي تؤثر على شحنة مقدارها $100 \mu\text{C}$

الحل: اعتبر القوة نتيجة لشحنة عند $y = 4 \text{ m}$

$$\frac{(10^{-4})(20 \times 10^{-6})}{4\pi(10^{-9}/36\pi)(5)^2} \left(\frac{-4\mathbf{a}_y + 3\mathbf{a}_z}{5} \right)$$

مركبة y سوف تتلاشى عن طريق الشحنة عند $m = -4 \text{ m}$. أيضاً مركبة x لبقية الشحنات سوف تتلاشى. وعلى ذلك

$$\mathbf{F} = 4 \left(\frac{18}{25} \right) \left(\frac{3}{5} \mathbf{a}_z \right) = 1.73 \mathbf{a}_z \text{ N}$$

مسألة محلولة 2.2

أوجد \mathbf{E} عند $(0, 0, 5) \text{ m}$ نتيجة لـ $(0, 0, 5) \text{ m}$ عند $(0, 4, 0) \text{ m}$ و $Q_1 = 0.35 \mu\text{C}$ و $Q_2 = -0.55 \mu\text{C}$ عند $(3, 0, 0) \text{ m}$ (انظر شكل 2-29).

Solved Problem 2.2

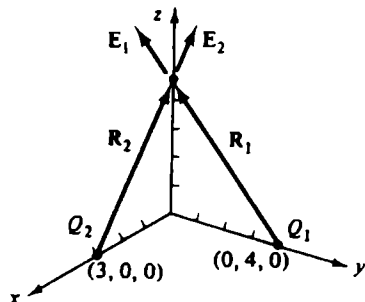
Find \mathbf{E} at $(0, 0, 5) \text{ m}$ due to $Q_1 = 0.35 \mu\text{C}$ at $(0, 4, 0) \text{ m}$ and $Q_2 = -0.55 \mu\text{C}$ at $(3, 0, 0) \text{ m}$ (see Figure 2-29).

الحل: متجهات المسافة هي

$$\mathbf{R}_1 = -4\mathbf{a}_y + 5\mathbf{a}_z, |\mathbf{R}_1| = \sqrt{41} \text{ m}$$

$$\mathbf{R}_2 = -3\mathbf{a}_x + 5\mathbf{a}_z, |\mathbf{R}_2| = \sqrt{34} \text{ m}$$

$$\begin{aligned}\mathbf{E}_1 &= \frac{0.35 \times 10^{-6}}{4\pi(10^{-9}/36\pi)(41)} \left(\frac{-4\mathbf{a}_y + 5\mathbf{a}_z}{\sqrt{41}} \right) \\ &= -48.0\mathbf{a}_y + 60.0\mathbf{a}_z \text{ V/m}\end{aligned}$$



شكل 2-29 حساب \mathbf{E} عند $(0, 0, 5)$ m

$$\begin{aligned}\mathbf{E}_2 &= \frac{-0.55 \times 10^{-6}}{4\pi(10^{-9}/36\pi)(34)} \left(\frac{-3\mathbf{a}_x + 5\mathbf{a}_z}{\sqrt{34}} \right) \\ &= 74.9\mathbf{a}_x - 124.9\mathbf{a}_z \text{ V/m}\end{aligned}$$

المجال الكلى عند $(0, 0, 5)$ m يكون

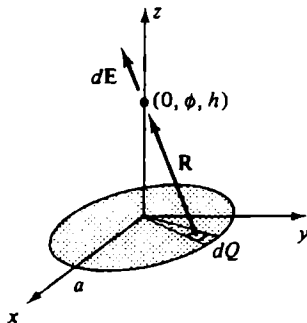
$$\mathbf{E} = \mathbf{E}_1 + \mathbf{E}_2 = 74.9\mathbf{a}_x - 48\mathbf{a}_y - 64.9\mathbf{a}_z \text{ V/m}$$

مسألة محلولة 2.3

أوجد شدة المجال الكهربى E عند $(0, \phi, h)$ لقرص مشحون بانتظام. ρ_s = ثابت و $r \leq a$ و $z = 0$ (انظر شكل 2-30).

Solved Problem 2.3

Find the electric field intensity \mathbf{E} at $(0, \phi, h)$ due to the uniformly charged disk $\rho_s = \text{const.}, r \leq a, z = 0$ (see Figure 2-30).



شكل 2-30 \mathbf{E} عند $(0, \phi, h)$ نتيجة لقرص منتظم الشحنة

العنصر التفاضلي $d\mathbf{E}$ نتيجة للعنصر التفاضلي $d\mathbf{Q}$ هو

$$d\mathbf{E} = \frac{\rho_s r dr d\phi}{4\pi\epsilon_0 (r^2 + h^2)} \left(\frac{-r\mathbf{a}_r + h\mathbf{a}_z}{\sqrt{r^2 + h^2}} \right)$$

المركبة في اتجاه نصف القطر تتلاشى نظراً للتماثل. لذلك

$$\begin{aligned} \mathbf{E} &= \frac{\rho_s h}{4\pi\epsilon_0} \int_0^{2\pi} \int_0^a \frac{r dr d\phi}{(r^2 + h^2)^{3/2}} \mathbf{a}_z \\ &= \frac{\rho_s h}{2\epsilon_0} \left(\frac{-1}{\sqrt{a^2 + h^2}} + \frac{1}{h} \right) \mathbf{a}_z \text{ V/m} \end{aligned}$$

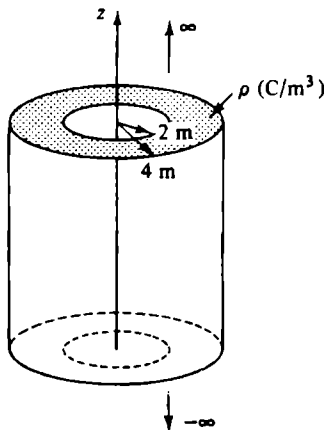
يلاحظ أنه عندما $a \rightarrow \infty$ فإن $\mathbf{E} \rightarrow (\rho_s / 2\epsilon_0) \mathbf{a}_z \text{ V/m}$. وهو المجال نتيجة لسطح لا نهائي منتظم الشحنة.

مسألة محلولة 2.4

الحجم بالإحداثيات الأسطوانية بين $r = 2 \text{ m}$ و $r = 4 \text{ m}$ يحتوى على شحنة كثافتها $\rho (\text{C/m}^3)$ (شكل 2-31). استخدم قانون جاوس لإيجاد \mathbf{D} في كل المناطق.

Solved Problem 2.4

The volume in cylindrical coordinates between $r = 2 \text{ m}$ and $r = 4 \text{ m}$ contains a uniform density $\rho (\text{C/m}^3)$ (Figure 2-31). Use Gauss' law to find \mathbf{D} in all regions.



شكل 2-31 شحنة كثافتها $\rho (\text{C/m}^3)$ بحجم اسطواني

الحل: حيث أن ρ ليست دالة في ϕ أو z فإن Ψ تكون بالكامل في اتجاه نصف القطر. الحقيقة الثانية أن \mathbf{D} ثابت في المقدار إذا كانت σ ثابتة. على ذلك يكون الاختيار المناسب لسطح جاوس هو سطح أسطوانة دائريّة قائمة مغلقة. التكامل السطحي (9) على سطحي النهايتيين يساوي الصفر حيث أن الفيض يخرج من السطح الجانبي الدائري. لطول مقداره L

$$\oint_S \mathbf{D} \cdot d\mathbf{S} = D(2\pi r L) = Q_{enc}$$

من شكل 2-31 ولقيمه

$$Q_{enc} = 0 = D(2\pi r L)$$

$$\Rightarrow \mathbf{D} = 0$$

لقيمه

$$Q_{enc} = \pi \rho L (r^2 - 4) = D(2\pi r L)$$

$$\Rightarrow \mathbf{D} = \frac{\rho}{2r} (r^2 - 4) \mathbf{a}_r, \text{ C/m}^2$$

لقيمه

$$Q_{enc} = \pi \rho L (16 - 4) = D(2\pi r L)$$

$$\Rightarrow \mathbf{D} = \frac{6\rho}{r} \mathbf{a}_r, \text{ C/m}^2$$

مسألة محلولة 2.5

أوجد السعة لمكثف أسطواني طوله L , حيث نصف قطر الموصل الداخلي a والموصل الخارجي b (شكل 2-32).

Solved Problem 2.5

Find the capacitance of a coaxial capacitor of length L , where the inner conductor has radius a and the outer has radius b (Figure 2-32).

الحل: بإهمال التهدب، قانون جاوس يتطلب أن $\oint \mathbf{D} \cdot d\mathbf{S} = Q_{enc}$ بين الموصلين. عند $r = a$ تكون $\mathbf{D} = \rho_s \mathbf{a}_r$ (نتيجة لشروط الحدود بين الموصل والعزل)، ρ_s هي الكثافة السطحية على الموصل الداخلي (يرغب أنها شحنة موجبة). على ذلك

$$\mathbf{D} = \rho_s \frac{a}{r} \mathbf{a}_r, \text{ C/m}^2, \quad \mathbf{E} = \frac{\rho_s a}{\epsilon_0 \epsilon_r r} \mathbf{a}_r, \text{ V/m}$$

فرق الجهد بين الموصلين

$$V_{ab} = - \int_b^a \frac{\rho_s a}{\epsilon_0 \epsilon_r r} dr = \frac{\rho_s a}{\epsilon_0 \epsilon_r} \ln \frac{b}{a} \text{ V}$$

الشحنة الكلية على الموصل الداخلي $Q = \rho_s (2\pi a l)$ ولذلك

$$C = \frac{Q}{V} = \frac{2\pi \epsilon_0 \epsilon_r L}{\ln(b/a)} \text{ F}$$

عصير الكتب
www.ibtesama.com/vb
منتدى مجلة الإبتسامة

الفصل الثالث

المجال المغناطيسي الساكن (الثابت)

Static Magnetic Fields

في هذا الفصل:

- ✓ قانون بيو – سافار
- ✓ قانون أمير
- ✓ كثافة المجال المغناطيسي وقانون جاوس
- ✓ المحاثة (أو معامل الحث)
- ✓ مسائل محلولة

يتولد المجال المغناطيسي الساكن إما من تيار ثابت أو من مغناطيس دائم. هذا الفصل سوف يتناول المجالات من تيار ثابت.

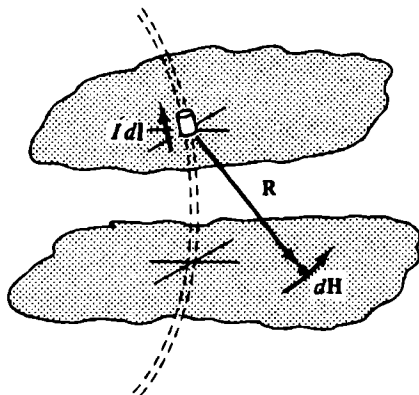
Biot-Savart Law

قانون بيو – سافار

يتولد مجال مغناطيسي شدته H من عنصر تفاضلي للتيار I . يتغير المجال عكسيًا مع مربع المسافة، ولا يعتمد على الوسط المحيط، وله اتجاه ينحدر عن طريق الضرب الاتجاهي لـ $I \, dl$ و a_R . هذه العلاقة تعرف بقانون بيو-سافار (شكل 1-3):

$$d\mathbf{H} = \frac{I \, dl \times a_R}{4\pi R^2} \quad (\text{A/m}) \quad (1)$$

حيث a_R متجه الوحدة في اتجاه R . اتجاه R من عنصر التيار حتى النقطة المراد تعبيئ dH عندها.



شكل 3-3 عنصر تيار يعطي dH

ليس لعناصر التيار وجود منفصل. كل العناصر تكون فتيله تيار تُسهم في H ويجب أن تؤخذ في الاعتبار. ويتبع عن الجمع الصيغة التكاملية لقانون بيو-سافار.

$$\mathbf{H} = \oint \frac{I d\mathbf{l} \times \mathbf{a}_R}{4\pi R^2} \quad (\text{A/m})$$

التكامل يجب أن يكون على مسار مغلق وذلك حتى تؤخذ كل العناصر في الاعتبار (المسار قد يكون مغلقاً عند اللانهاية).

مثال 3.1 فتيلة خطية لا نهاية يمر بها تيار I على محور z بنظام الإحداثيات الأسطوانية كما هو موضح بشكل 3-2. أوجد \mathbf{H} .

Example 3.1 An infinitely long, straight current filament I along the z -axis in cylindrical coordinates is shown in Figure 3-2. Find \mathbf{H} .

الحل: سنختار نقطة على المستوى $z = 0$ دون أن نحيد عن الصيغة العامة.

$$\mathbf{R} = r \mathbf{a}_r - z \mathbf{a}_z, \quad R = \sqrt{r^2 + z^2}, \quad \mathbf{a}_R = \frac{r \mathbf{a}_r - z \mathbf{a}_z}{\sqrt{r^2 + z^2}}$$

باستخدام الصورة التفاضلية (1)

$$d\mathbf{H} = \frac{I dz \mathbf{a}_z \times (r\mathbf{a}_r - z\mathbf{a}_z)}{4\pi(r^2 + z^2)^{3/2}}$$

$$= \frac{I dz r \mathbf{a}_\phi}{4\pi(r^2 + z^2)^{3/2}}$$

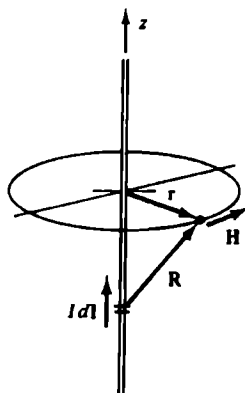
متغير التكامل هو z , حيث أن \mathbf{a}_r لا يتغير مع z فإنه يمكن إخراجه من التكامل قبل إجراء التكامل.

$$\mathbf{H} = \left[\int_{-\infty}^{\infty} \frac{I r dz}{4\pi(r^2 + z^2)^{3/2}} \right] \mathbf{a}_\phi = \frac{I}{2\pi r} \mathbf{a}_\phi$$

هذه النتيجة الهامة تبين أن \mathbf{H} تتناسب عكسياً مع المسافة في اتجاه نصف القطر.

ملاحظة!

يُضحَّ أن اتجاه \mathbf{H} يُنْقُضُ مع "قاعدة الثد المعنى" حيث تشير أصوات الثد المعنى إلى اتجاه المجال عندما يُعيَّنُ على الموصول بحيث يشير الإيمام إلى اتجاه التيار.



شكل 2-3 فتيلة تيار I لا نهاية على محور z

Ampere's Law

قانون أمبير

التكامل الخطى لمركبة شدة المجال المماسية حول مسار مغلق يساوى التيار داخل هذا المسار:

$$\oint \mathbf{H} \cdot d\mathbf{l} = I_{enc} \quad (2)$$

هذه هي صورة قانون أمبير التكاملية.

للوهلة الأولى يمكن أن يظن المرء أن هذا القانون يستخدم لتعيين I عن طريق التكامل. ولكن بدلاً من ذلك فإن التيار يكون في العادة معلوماً والقانون يوضح طريقة إيجاد \mathbf{H} . يماثل هذا استخدام قانون جاوس لإيجاد \mathbf{D} عند معرفة توزيع الشحنة.

عند استخدام قانون أمبير لتعيين \mathbf{H} فإنه لا بد أن تكون هناك درجة معقولة من التماشى في المسألة. شرطان يجب توافرهما:

1. عند كل نقطة للمسار المغلق تكون \mathbf{H} إما مماسية أو عمودية على المسار.
2. تأخذ \mathbf{H} قيمة ثابتة على نقاط المسار حيث تكون \mathbf{H} مماسية.

يمكن استخدام قانون بيو-سافار للمساعدة على انتقاء مسار يحقق الشرطين السابقين. في معظم الحالات يكون المسار المناسب واضحاً.

مثال 3.2 استخدم قانون أمبير لإيجاد \mathbf{H} الناتجة عن فنيلة تيار I مستقيمة ولا نهاية الطول.

Example 3.2 Use Ampere's law to obtain \mathbf{H} due to an infinitely long, straight current filament I .

الحل: قانون بيو-سافار يبين أن لكل نقطة على الدائرة في شكل 3-2 تكون \mathbf{H} مماسية ولها نفس القيمة. على ذلك

$$\oint \mathbf{H} \cdot d\mathbf{l} = H(2\pi r) = I$$

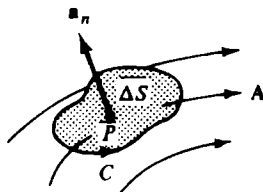
بالحل نحصل على

$$\mathbf{H} = \frac{I}{2\pi r} \mathbf{a}_\phi$$

يمكن استنتاج الصورة التفاضلية لقانون أمبير والذى يوجد العلاقة بين المجال المغناطيسى الساكن \mathbf{H} والتيار الكهربى الثابت. قبل تعريف الصورة التفاضلية لا بد أولاً من تقديم الالتفاف.

الالتفاف بصفة عامة لأى مجال متوجه A يكون مجالاً متوجهاً آخر. تقع النقطة P بشكل 3-3 داخل مساحة مستوية S محااطة بمنحنى مغلق C . فى التكامل الذى يُعرف الالتفاف، C مستعرضة بحيث تكون المساحة المغلقة جهة اليسار. متوجه الوحدة العمودى a_n يحدد عن طريق قاعدة اليد اليمنى (أصابع اليد اليمنى تلتف فى اتجاه التكامل على المسار والإبهام يشير إلى اتجاه العمودى) كما هو مبين بالشكل. إذن مركبة التفاف A فى اتجاه a_n تعرف كما يلى

$$(\text{curl } \mathbf{A}) \cdot \mathbf{a}_n = \nabla \times \mathbf{A} \cdot \mathbf{a}_n \equiv \lim_{\Delta S \rightarrow 0} \frac{\oint \mathbf{A} \cdot d\mathbf{l}}{\Delta S}$$

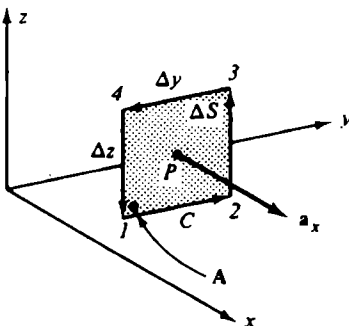


شكل 3-3 تعريف الالتفاف لـ A

فى نظم الإحداثيات يُعرف الالتفاف A عن طريق مركباته فى اتجاه متوجه الوحدة للإحداثيات. على سبيل المثال مركبة x فى الإحداثيات الكرتيزية تعرف عن طريق أخذ المسار المربع C فى المستوى x = ثابت خلال النقطة P .

كما هو مبين في الشكل 3-4.

$$\nabla \times \mathbf{A} \cdot \mathbf{a}_x \equiv \lim_{\Delta y \Delta z \rightarrow 0} \frac{\oint \mathbf{A} \cdot d\mathbf{l}}{\Delta y \Delta z}$$



شكل 3-4 تعريف مركبة x لالتقاف

إذا كان $\mathbf{A} = A_x \mathbf{a}_x + A_y \mathbf{a}_y + A_z \mathbf{a}_z$ عند ركن من أركان ΔS بجوار الأصل (النقطة 1) لذلك

$$\begin{aligned}\oint &= \int_1^2 + \int_2^3 + \int_3^4 + \int_4^1 \\ &= A_y \Delta y + \left(A_z + \frac{\partial A_z}{\partial y} \Delta y \right) \Delta z + \left(A_y + \frac{\partial A_y}{\partial z} \Delta z \right) (-\Delta y) + A_z (-\Delta z) \\ &= \left(\frac{\partial A_z}{\partial y} - \frac{\partial A_y}{\partial z} \right) \Delta y \Delta z\end{aligned}$$

وأيضاً

$$\nabla \times \mathbf{A} \cdot \mathbf{a}_x = \frac{\partial A_z}{\partial y} - \frac{\partial A_y}{\partial z}$$

يمكن الحصول على المركبات y و z بنفس الطريقة. وبجمع المركبات يكون التقاف A للنظام الكرتيري

$$\nabla \times \mathbf{A} = \left(\frac{\partial A_z}{\partial y} - \frac{\partial A_y}{\partial z} \right) \mathbf{a}_x + \left(\frac{\partial A_x}{\partial z} - \frac{\partial A_z}{\partial x} \right) \mathbf{a}_y + \left(\frac{\partial A_y}{\partial x} - \frac{\partial A_x}{\partial y} \right) \mathbf{a}_z \quad (3)$$

التبديل عن التفاف \mathbf{A} بالإحداثيات الأسطوانية والكروية يمكن استنتاجه بنفس الطريقة السابقة مع بعض الصعوبة. باستخدام الإحداثيات الأسطوانية.

$$\nabla \times \mathbf{A} = \left(\frac{1}{r} \frac{\partial A_z}{\partial \phi} - \frac{\partial A_\phi}{\partial z} \right) \mathbf{a}_r + \left(\frac{\partial A_r}{\partial z} - \frac{\partial A_z}{\partial r} \right) \mathbf{a}_\phi + \frac{1}{r} \left[\frac{\partial (r A_\phi)}{\partial r} - \frac{\partial A_r}{\partial \phi} \right] \mathbf{a}_z \quad (4)$$

باستخدام الإحداثيات الكروية

$$\begin{aligned} \nabla \times \mathbf{A} = & \frac{1}{r \sin \theta} \left[\frac{\partial (A_\phi \sin \theta)}{\partial \theta} - \frac{\partial A_\theta}{\partial \phi} \right] \mathbf{a}_r + \frac{1}{r} \left[\frac{1}{\sin \theta} \frac{\partial A_r}{\partial \phi} - \frac{\partial (r A_\phi)}{\partial r} \right] \mathbf{a}_\theta \\ & + \frac{1}{r} \left[\frac{\partial (r A_\theta)}{\partial r} - \frac{\partial A_r}{\partial \theta} \right] \mathbf{a}_\phi \end{aligned} \quad (5)$$

خواص مفيدة لالتفاف \mathbf{A} :

1. تشعب الالتفاف لأى متوجه يساوى صفرًا.

$$\nabla \bullet (\nabla \times \mathbf{A}) = 0$$

2. التفاف التدرج لأى دالة مقاييسية يساوى الصفر.

$$\nabla \times (\nabla f) = 0$$

على سبيل المثال للمجال الكهربى الساكن $\mathbf{E} = -\nabla V$ على ذلك

$$\nabla \times \mathbf{E} = 0$$

هذا اختبار آخر لمتجه المجال المحافظ: إذا كان الالتفاف يساوى الصفر فإن المجال محافظ.

بالنظر إلى قانون أمبير فإنه يمكن كتابة المعادلة التي تعرف $\text{curl } \mathbf{H}_x$ (curl \mathbf{H}) كما يلى

$$\nabla \times \mathbf{H} \cdot \mathbf{a}_x \equiv \lim_{\Delta y \Delta z \rightarrow 0} \frac{\oint \mathbf{H} \cdot d\mathbf{l}}{\Delta y \Delta z} = \lim_{\Delta y \Delta z \rightarrow 0} \frac{I_x}{\Delta y \Delta z} \equiv J_x$$

حيث $J_x = dl/dS$ هي الكثافة لوحدة المساحة في اتجاه x . وعلى ذلك فإن مركبة $\text{curl } \mathbf{H}_x$ (curl \mathbf{H}) وكتافة التيار J_x متساوية عند أي نقطة. بالمثل العلاقة بالنسبة لمركبة x ومركبة y . وعلى ذلك فإن العلاقة الكلية تكتب كما يلى

$$\nabla \times \mathbf{H} = \mathbf{J} \quad (6)$$

هذه صورة تفاضلية لقانون أمبير للمجال المغناطيسي الساكن وعليه فإن المجال المغناطيسي غير محافظ.

مثال 3.3 موصل طوبل مستقيم له مقطع نصف قطره a وله شدة مجال مغناطيسي $\mathbf{H} = (Ir/2\pi a^2)\mathbf{a}_\phi$ داخل الموصل ($r < a$) وله $\mathbf{H} = (I/2\pi r)\mathbf{a}_\phi$ ل ($r > a$). أوجد كثافة التيار J للحizين.

Example 3.3 A long, straight conductor cross section with radius a has a magnetic field strength $\mathbf{H} = (Ir/2\pi a^2)\mathbf{a}_\phi$ within the conductor ($r < a$) and $\mathbf{H} = (I/2\pi r)\mathbf{a}_\phi$ for $r > a$. Find the current density \mathbf{J} in both regions.

الحل: داخل الموصل ويستخدم (4) و (6)

$$\mathbf{J} = \nabla \times \mathbf{H} = -\frac{\partial}{\partial z} \left(\frac{Ir}{2\pi a^2} \right) \mathbf{a}_r + \frac{1}{r} \frac{\partial}{\partial r} \left(\frac{Ir^2}{2\pi a^2} \right) \mathbf{a}_z = \frac{I}{\pi a^2} \mathbf{a}_z$$

هذا يناظر تيار بقيمة $I/\pi a^2$ في اتجاه z وموزع بانتظام على مساحة المقطع πa^2 .

خارج الموصل

$$\mathbf{J} = \nabla \times \mathbf{H} = -\frac{\partial}{\partial z} \left(\frac{I}{2\pi r} \right) \mathbf{a}_r + \frac{1}{r} \frac{\partial}{\partial r} \left(\frac{I}{2\pi} \right) \mathbf{a}_z = 0$$

هذا يعني أن التيار يمر بالموصل وهذا أمر طبيعي.

كثافة المجال المغناطيسي وقانون جاوس Magnetic Flux Density and Gauss' Law

شدة المجال المغناطيسي H مثل D تعتمد فقط على (حركة) الشحنات ولا تعتمد على الوسط. مجال القوة المصاحب لـ H هو كثافة الفيصل المغناطيسي B الذي يعطى كما يلى

$$B = \mu H \quad (7)$$

حيث μ هي إنفاذية الوسط. وحدة B هي تسلا (tesla)

$$1 T = 1 \frac{N}{A \cdot m}$$

إنفاذية الحيز الخالى μ_0 لها قيمة عددية $4\pi \times 10^{-7}$ ولها وحدات هنرى لكل متر H/m . المواد الغير مغناطيسية لها إنفاذية نسبية μ_r قريبة من الواحد أما المواد المغناطيسية (مثل الحديد والمواد المغناطيسية) يكون لها μ_r أكبر كثيراً من الواحد.

التدفق المغناطيسي Φ على سطح يعرف كما يلى

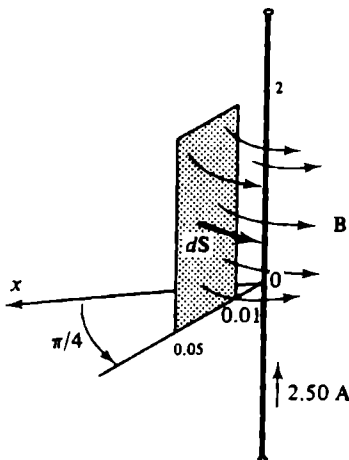
$$\Phi = \int_S B \cdot dS \quad (8)$$

إشارة Φ يمكن أن تكون موجبة أو سالبة ذلك يعتمد على اختيار العمودي على السطح dS . وحدة الفيصل المغناطيسي هي الويبر (weber) Wb . ترتبط الوحدات المغناطيسية كما يلى

$$1 T = 1 Wb/m^2, \quad 1 H = 1 Wb/A$$

مثال 3.4 أوجد الفيصل العابر لجزء من المستوى $\phi = \pi/4$ والمحدد بـ $2.5 \text{ m} < r < 0.05 \text{ m}$ و $0 < z < 2 \text{ m}$ (انظر شكل 3-5) التيار قيمته 2.5 A ويمر في فتيله على محور z في اتجاه a_z .

Example 3.4 Find the flux crossing the portion of the plane $\phi = \pi/4$ defined by $0.01 < r < 0.05$ m and $0 < z < 2$ m (see Figure 3-5). A current filament of 2.50 A along the z-axis is in the \mathbf{a}_z -direction.



شكل 3-5 الفيصل المغناطيسي خلال مستطيل نتيجة لوجود تيار

الحل: باستخدام شكل 3-5 والنتيجة بمثال 3.2 والمعادلة (7) يمكن الحصول على كثافة الفيصل المغناطيسي

$$\mathbf{B} = \mu_0 \mathbf{H} = \frac{\mu_0 I}{2\pi r} \mathbf{a}_\phi$$

من الشكل

$$d\mathbf{S} = dr dz \mathbf{a}_\phi$$

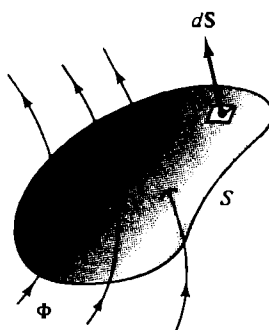
الفيصل المغناطيسي خلال المستطيل [باستخدام (8)] هو كما يلى

$$\begin{aligned} \Phi &= \int_0^2 \int_{0.01}^{0.05} \frac{\mu_0 I}{2\pi r} \mathbf{a}_\phi \cdot dr dz \mathbf{a}_\phi \\ &= \frac{2\mu_0 I}{2\pi} \ln \frac{0.05}{0.01} = 1.61 \times 10^{-6} \text{ Wb} = 1.61 \mu \text{Wb} \end{aligned}$$

يجب ملاحظة أن خطوط الفيصل المغناطيسي Φ هي منحنيات مغلقة ليس لها نقطة بداية أو نهاية. يقال عن هذا أن المجال مُلْتَسَّ. هذا يخالف الفيصل الكهربى ٣. حيث يبدأ على الشحنة الموجبة وينتهي على الشحنة السالبة. فى شكل ٣-٦ كل الفيصل المغناطيسي الذى يدخل السطح المغلق لا بد أن يخرج منه، لذا فإن المجال B ليس له منابع أو مستقبلات ويعبر عن ذلك رياضياً بما يلى

$$\nabla \bullet B = 0 \quad (9)$$

ملاحظة: المعادلة (9) يشار إليها بقانون جاوس للمجال المغناطيسي.



شكل ٣-٦ سطح مغلق في مجال B

Inductance

الحاثة (أو معامل الحث)

معامل الحث L لموصل يمكن أن يُعرف بأنه نسبة الفيصل المغناطيسي العابر إلى التيار المسبب للفيصل. في الحالة الساكنة (أو في حالة التردد المنخفض) إذا كان التيار I والملف يحتوى على N لفة كما بشكل ٣-٧ فإن

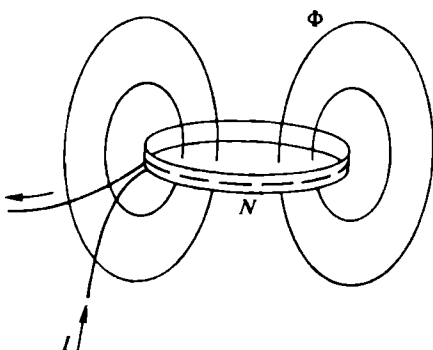
$$L = \frac{N\Phi}{I} \quad (10)$$

حيث Φ الفيصل العابر للفة واحدة. وحدة L هي الهرى (henry) حيث $1\text{H} = 1 \text{ Wb/A}$

معامل الحث يعطى كما يلى

$$L = \frac{\lambda}{I} \quad (11)$$

حيث λ هي الارتباط الفيضي $N\Phi$ لملف عدد لفاته N أما فى تشكيلات الموصلات الأخرى فهى تكتب ببساطة Φ .

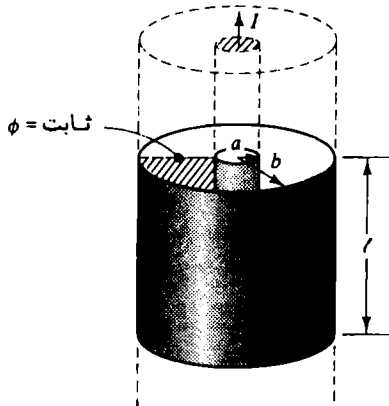


شكل 7-7 الفيصل المرتبط في حالة ملف يمر به تيار

يجب الملاحظة أيضاً أن L تكون حاصل ضرب السماحية للوسط μ ومعامل هندسى يكون الطول وحدة منه.

مثال 3.5 أوجد معامل الحث لوحدة الطول لموصل محوري مثل ذلك الموضح بشكل 3-8.

Example 3.5 Find the inductance per unit length of a coaxial conductor such as that shown in Figure 3-8.



شكل 3-8 موصل محوري

الحل: المجال المغناطيسي بين الموصلين يعطى كما يلى

$$\mathbf{H} = \frac{I}{2\pi r} \mathbf{a}_\phi$$

$$\mathbf{B} = \frac{\mu_0 I}{2\pi r} \mathbf{a}_\phi$$

يرتبط التياران بالموصلان عن طريق الفيصل العابر للسطح $\phi = \text{ثابت}$. لطول

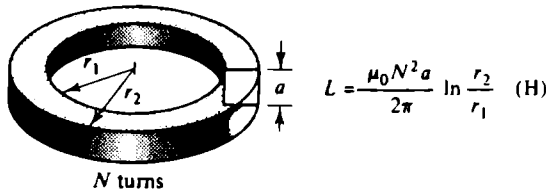
$$l = 1 \text{ m}$$

$$\lambda = \int_0^b \int_a^b \frac{\mu_0 I}{2\pi r} dr dz = \frac{\mu_0 I}{2\pi} \ln \frac{b}{a}$$

باستخدام (11) يكون معامل الحث لوحدة الطول للموصل المحوري

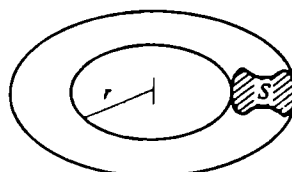
$$L \text{ per meter} = \frac{\mu_0}{2\pi} \ln \frac{b}{a} (\text{H/m})$$

تبين الأشكال من 9-3 حتى 13-3 معامل الحث الدقيق أو التقريري لبعض الأشكال غير المحورية المألوقة.



$$L = \frac{\mu_0 N^2 a}{2\pi} \ln \frac{r_2}{r_1} \quad (\text{H})$$

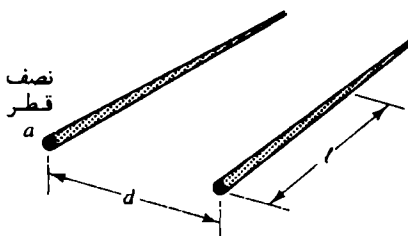
شكل 3-9 ملف حلقي له مساحة مقطع مربعة



$$L \approx \frac{\mu_0 N^2 S}{2\pi r} \quad (\text{H})$$

(مع فرض كثافة الفيصل
متوزعة على نصف قطر
متوسط r)

شكل 3-10 ملف حلقي له مساحة مقطع S

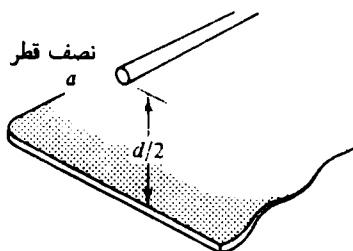


$$\frac{L}{l} = \frac{\mu_0}{\pi} \cosh^{-1} \frac{d}{2a} \quad (\text{H/m})$$

For $d \gg a$,

$$\frac{L}{l} \approx \frac{\mu_0}{\pi} \ln \frac{d}{a} \quad (\text{H/m})$$

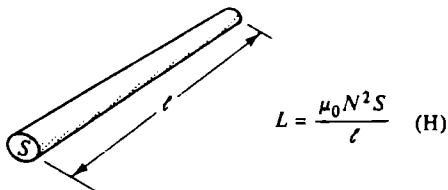
شكل 3-11 موصلان متوازيان نصف القطر a



$$\frac{L}{l} = \frac{\mu_0}{2\pi} \cosh^{-1} \frac{d}{2a} \quad (\text{H/m})$$

$$\approx \frac{\mu_0}{2\pi} \ln \frac{d}{a} \quad (\text{H/m})$$

شكل 3-12 موصل أسطواني موازٍ لمستوى أرضي



شكل 3-13 ملف طويل له مساحة مقطع صغيرة S

أشياء هامة للتذكر

- ✓ المجالان المغناطيسيان H و B يدوران حول الموصل الذي يمر به تيار I تبعاً لقاعدة اليد اليمنى.
- ✓ في الوسط الموحد الخواص $B = \mu H$.
- ✓ خطوط الفيصل المغناطيسي ملتفة وهذا يعني أنها منحنيات مغلقة بدون بداية ونهاية.
- ✓ الفيصل المغناطيسي الكلى الداخلي لسطح مغلق يساوى الفيصل المغناطيسي الكلى الخارج من السطح.
- ✓ معامل الحث لموصل هو الفيصل المغناطيسي العابر لوحدة التيار.

Solved Problems

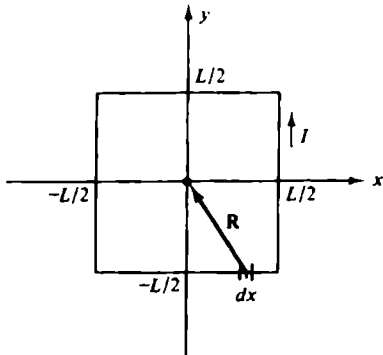
مسائل محلولة

مسألة محلولة 3.1

أوجد H في منتصف حلقة مربعة طول ضلعها L .

Solved Problem 3.1

Find H in the center of a square loop of side L .



شكل 14-3 حلقة مربعة لها تيار I .

الحل: باختيار نظام الإحداثيات الكرتيزى تكون الحلقة متماثلة بالنسبة لنقطة الأصل كما هو موضح بشكل 14-3. نتيجة التماثل فإن كل نصف ضلع ينشأ عنه نفس المقدار H عند المترافق. لنصف الضلع $0 \leq x \leq L/2$ و $y = -L/2$ و عند تطبيق قانون بيو-سافار فإن المجال عند المترافق

$$d\mathbf{H} = \frac{(Idx \mathbf{a}_x) \times [-x\mathbf{a}_x + (L/2)\mathbf{a}_y]}{4\pi[x^2 + (L/2)^2]^{3/2}}$$

$$= \frac{Idx(L/2)\mathbf{a}_z}{4\pi[x^2 + (L/2)^2]^{3/2}} \text{ A/m}$$

ولذلك فإن المجال الكلى عند المترافق

$$\mathbf{H} = 8 \int_0^{L/2} \frac{Idx(L/2)\mathbf{a}_z}{4\pi[x^2 + (L/2)^2]^{3/2}}$$

$$= \frac{2\sqrt{2}I}{\pi L} \mathbf{a}_z = \frac{2\sqrt{2}I}{\pi L} \mathbf{a}_n \text{ A/m}$$

حيث \mathbf{a}_n متجه الوحدة العمودي على السطح المار بالحلقة كما يعطى عن طريق قاعدة اليد اليمنى.

مسألة محلولة 3.2

موصل أسطواني رقيق له نصف قطر a , ممتد إلى ما لا نهاية يحمل تيار I .
أوجد \mathbf{H} عند كل النقاط باستخدام قانون أمبير.

Solved Problem 3.2

A thin cylindrical conductor of radius a , infinite in length, carries a current I . Find \mathbf{H} at all points using Ampere's law.

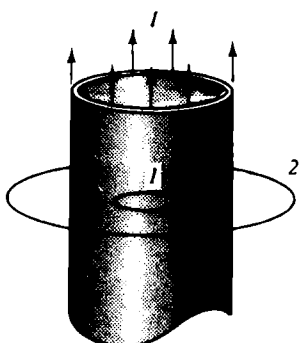
الحل: قانون بيو-سافار يبين أن \mathbf{H} لها مركبة واحدة في اتجاه ϕ . أيضًا H_ϕ تعتمد على r فقط. المسارات المناسبة لقانون أمبير هي دوائر متتممة. للمسار 3-15 المبين بشكل 15-3.

$$\oint \mathbf{H} \cdot d\mathbf{l} = 2\pi r H_\phi = I_{enc} = 0$$

وللمسار 2

$$\oint \mathbf{H} \cdot d\mathbf{l} = 2\pi r H_\phi = I$$

وعليه $\mathbf{H} = 0$ عند النقط داخل الموصل الأسطواني الرقيق. أما عند النقط خارج الموصل فإن $\mathbf{H} = (I/2\pi r) a_\phi \mathbf{A/m}$ لـ $r > a$ وهذا هو نفس المجال الناشئ عن تيار فتيلية I على امتداد المحور.



شكل 3-15 تيار يمر في أسطوانة رقيقة

مسألة محلولة 3.3

مجال في اتجاه نصف القطر

$$\mathbf{H} = \frac{2.39 \times 10^6}{r} \cos\phi \mathbf{a}_r, \text{ A/m}$$

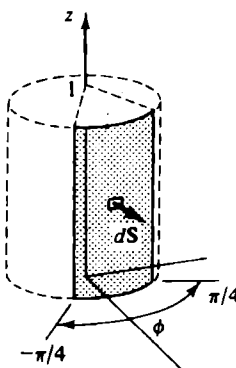
موجود في الحيز الحر. أوجد الفيصل المغناطيسي Φ الذي يعبر السطح المعرف بـ $-\pi/4 \leq \phi \leq \pi/4, 0 \leq z \leq 1 \text{ m}$. انظر شكل 3-16.

Solved Problem 3.3

A radial field

$$\mathbf{H} = \frac{2.39 \times 10^6}{r} \cos\phi \mathbf{a}_r, \text{ A/m}$$

exists in free space. Find the magnetic flux Φ crossing the surface defined by $-\pi/4 \leq \phi \leq \pi/4, 0 \leq z \leq 1 \text{ m}$. See Figure 3-16.



شكل 3-16 الفيصل المغناطيسي العابر لسطح أسطواني

الحل: كثافة الفيصل في الحيز الحر هي

$$\mathbf{B} = \mu_0 \mathbf{H} = \frac{3.00}{r} \cos\phi \mathbf{a}_r, \text{ T}$$

والفيض العابر للسطح هو

$$\Phi = \int_0^1 \int_{-\pi/4}^{\pi/4} \left(\frac{3.00}{r} \cos\phi \mathbf{a}_r \right) \bullet (r d\phi dz \mathbf{a}_r) = 4.24 \text{ Wb}$$

مسألة محلولة 3.4

أوجد معامل الحث لوحدة الطول للموصلات الأسطوانية المتوازية المبينة
بشكل 3-11 حيث قدم $d = 25$ و بوصة $a = 0.803$.

Solved Problem 3.4

Find the inductance per unit length of the parallel cylindrical conductors shown in Figure 3-11, where $d = 25$ feet and $a = 0.803$ inch.

الحل: باستخدام المعادلة بشكل 3-11

$$\frac{L}{\ell} = \frac{\mu_0}{\pi} \cosh^{-1} \frac{d}{2a} = (4 \times 10^{-7}) \cosh^{-1} \frac{25(12)}{2(0.803)} = 2.37 \text{ } \mu\text{H/m}$$

المعادلة التقريرية تعطى

$$\frac{L}{\ell} = \frac{\mu_0}{\pi} \ln \frac{d}{a} = 2.37 \text{ } \mu\text{H/m}$$

عندما تكون $d/a \geq 10$ يمكن استخدام المعادلة التقريرية مع خطأ أقل من 0.5%.

مسألة محلولة 3.5

بفرض أنه يوجد ملف حلقى كالمبين بشكل 3-9 له 700 لفة ونصف قطر داخلى 1 cm والخارجي 2 cm والارتفاع $a = 1.5$ cm. أوجد L باستخدام (a) المعادلة الخاصة بملف حلقى له مساحة مرיבعة. (b) المعادلة التقديرية العامة للملف الحلقى والتي تشرط أن يكون H منتظم عند نصف القطر المتوسط (شكل 3-10).

Solved Problem 3.5

Assume that the air-core toroid shown in Figure 3-9 has 700 turns, an inner radius of 1 cm, an outer radius of 2 cm, and height $a = 1.5$ cm. Find L using (a) the formula for square cross-section toroids; (b) the approximate formula for a general toroid, which assumes a uniform H at mean radius (Figure 3-10).

الحل: (a) لمساحة مقطع مربعة ومن شكل 3-9 .

$$L = \frac{\mu_0 N^2 a}{2\pi} \ln \frac{r_2}{r_1} = \frac{(4\pi \times 10^{-7})(700)^2(0.015)}{2\pi} \ln 2 = 1.02 \text{ mH}$$

(b) باستخدام المعادلة التقريرية من شكل 3-10

$$L = \frac{\mu_0 N^2 S}{2\pi r} = \frac{(4\pi \times 10^{-7})(700)^2(0.01)(0.015)}{2\pi(0.015)} = 0.98 \text{ mH}$$

والنتيجةتان تقتربان من بعضهما إذا كان r أكبر كثيراً بالمقارنة بمساحة المقطع.

الفصل الرابع

المجالات المُتغيرة مع الزمن ومعادلات ماكسويل

Time-Varying Fields and Maxwell's Equations

في هذا الفصل:

- ✓ قانون فاراداي والقوة الدافعة الكهربية المستحثة
- ✓ قانون أمبير وتيار الإزاحة
- ✓ شروط الحدود
- ✓ معادلات ماكسويل
- ✓ مسائل محلولة

في الفصلين الثاني والثالث تم التعامل مع مجال لا يتغير مع الزمن. لمجال متغير مع الزمن المعادلات الخاصة به E و H يجب أن تعدل. مجموعة المعادلات التي تربط E و H المتغيران مع الزمن يقال لها معادلات ماكسويل . Maxwell's Equations

قانون فاراداي والقوة الدافعة الكهربية المستحثة
Faraday's Law and Induced EMF

التيار الكهربى هو مصدر واحد من مصادر المجال المغناطيسى. لاحظ فاراداي أن المجال المغناطيسى المتغير مع الزمن ينتج تيار مُحث فى لفة

مغلقة من السلك. هذا التيار المُحث مستنتاج عن طريق قوة دافعة كهربية (ق.د.ك) (emf) وهي فولتية تنشأ حول الملف.

العلاقة بين emf والمجال المغناطيسي المتغير مع الزمن تعطى عن طريق الصورة التكمالية لقانون فاراداي

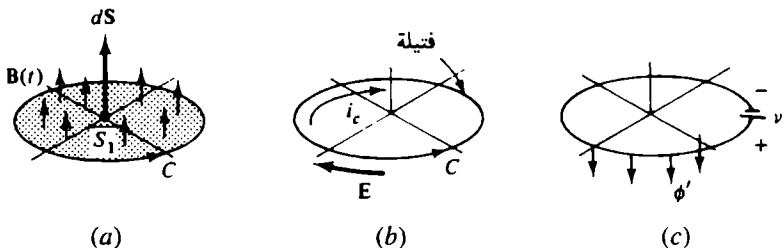
$$\text{emf} = \oint_C \mathbf{E} \cdot d\mathbf{l} = - \frac{d}{dt} \int_S \mathbf{B} \cdot d\mathbf{S} \quad (1)$$



اتجاه المسار C والاتجاه على السطح $d\mathbf{S}$ يرتبطان عن طريق قاعدة اليد اليمنى. إذا كانت الأصابع لليد اليمنى تشير إلى اتجاه التكامل حول C فإن الإبهام في اتجاه منتجه العمودي [شكل (a)]. الآن إذا كانت \mathbf{B} تتزايد مع الزمن فإن التفاضل بالنسبة للزمن يكون موجباً وعليه فإن الطرف الأيمن من المعادلة (1) يكون سالباً. ليكون التكامل جهة اليسار سالباً لا بد أن يكون اتجاه \mathbf{E} عكس المسار [شكل (b)]. إذا وضعت فتيلية تيار بدلاً من المسار تحمل تيار \mathbf{i} , أيضاً في اتجاه \mathbf{E} كما في شكل (c) هذا التيار الحلقي يتبع فيض مغناطيسي مُحث ϕ وهو في اتجاه عكس زيادة \mathbf{B} . هذا يمكن تلخيصه عن طريق قانون لينز Lenz's Law:

! ملاحظة !

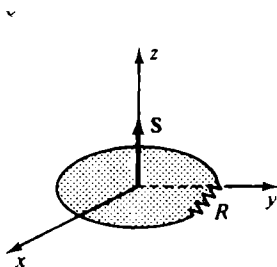
الجهد المترولد عن طريق تغير القطبان له قطبية بحيث أن التيار المستنتاج في مسار مغلق يعطي فيض مغناطيسي ثابتاً يعاكس التغير في الزمن للفيض المغناطيسي للمنع.



شكل 4-1 توضيح قانون لenz

مثال 4.1 الحلقة الدائرية الموصلة المبينة بشكل 4-2 توجد على المستوى $z=0$. الحلقة لها نصف قطر 0.10 m ومقاومة 5Ω . إذا كان $B = 0.20 \sin 10^3 t \text{ a}_z (\text{T})$ أوجد التيار.

Example 4.1 The circular loop conductor in Figure 4-2 lies in the $z = 0$ plane. The loop has a radius of 0.10 m and a resistance R of 5Ω . Given $B = 0.20 \sin 10^3 t \text{ a}_z (\text{T})$, determine the current.



شكل 4-2 حلقة موصلة لها مقاومة

الحل: الفيصل الكلى لا يعتمد على x أو y لذا فإن الفيصل الكلى العابر للحلقة

$$\Phi = \mathbf{B} \cdot \mathbf{S} = 2 \times 10^{-3} \pi \sin 10^3 t \text{ (Wb)}$$

الجهد (ق.د.ك) حول الحلقة هو

$$v = -\frac{d\Phi}{dt} = -2\pi \cos 10^3 t \text{ (V)}$$

والتيار هو

$$i = \frac{v}{R} = -0.4\pi \cos 10^3 t \quad (\text{A})$$

قانون أمبير وتيار الإزاحة

Ampere's Law and Displacement Current

في حالة المجال الساكن وجد أن التفاف H عند نقطة ما يساوي كثافة تيار التوصيل J . وقد أضيف الرمز السفلي c للتأكد من أن الشحنات المتحركة تكون التيار. إذا طبق الشعب على الانفاف لأى متجه فإن المتطابقة الاتجاهية الآتية تتحقق

$$\nabla \bullet \nabla \times H = 0 \quad (2)$$

ولكن $\nabla \bullet J_c$ لا يساوى صفرًا في حالة المجال المتغير مع الزمن هذه المعادلة توصف عن طريق معادلة الاستمرارية

$$\nabla \bullet J_c = -\frac{\partial \rho}{\partial t} \quad (3)$$

معادلة الاستمرارية هي تعبير عن بقاء الشحنة. بمعنى أن معدل حركة الشحنة الخارجة من حيز يساوى المعدل الزمني لنقص الشحنة داخل الحيز. لذلك فإن ماكسويل افترض أن

$$\nabla \times H = J_c + J_D \quad (4)$$

حيث J_D هو كثافة تيار الإزاحة. بأخذ الشعب للمعادلة (4) ويستخدم (2) و(3) يعطى

$$\nabla \bullet J_c = -\nabla \bullet J_D = -\frac{\partial \rho}{\partial t}$$

باستخدام قانون جاوس [١٠) من الفصل الثاني]

$$-\nabla \bullet \mathbf{J}_D = -\frac{\partial \mathbf{V} \bullet \mathbf{D}}{\partial t} \Rightarrow \mathbf{J}_D = \frac{\partial \mathbf{D}}{\partial t} \quad (5)$$

باستخدام (٥) في (٤) نحصل على الصورة النقطية لقانون أمبير

$$\nabla \times \mathbf{H} = \mathbf{J}_c + \frac{\partial \mathbf{D}}{\partial t} \quad (6)$$

الصورة التكاملية لقانون أمبير والتي تتحقق في حالة التغير مع الزمن يمكن الحصول عليها باستخدام نظرية ستوك والتي تنص على أن

$$\oint_C \mathbf{F} \bullet d\mathbf{l} = \int_S \nabla \times \mathbf{F} \bullet d\mathbf{S}$$

حيث S سطح مفتوح محدود بالمسار C . بتكامل (٦) على سطح مفتوح ثابت يعطى

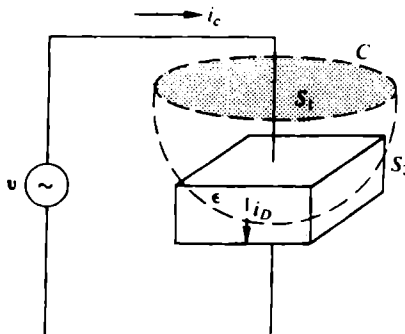
$$\begin{aligned} \int_S \nabla \times \mathbf{H} \bullet d\mathbf{S} &= \oint_C \mathbf{H} \bullet d\mathbf{l} \\ \Rightarrow \oint_C \mathbf{H} \bullet d\mathbf{l} &= \int_S \mathbf{J}_c \bullet d\mathbf{S} + \frac{d}{dt} \int_S \mathbf{D} \bullet d\mathbf{S} \end{aligned} \quad (7)$$

الحد الأول للطرف الأيمن للمعادلة (٧) هو تيار التوصيل i_c . والحد الثاني بالمعادلة (٧) هو تيار الإزاحة i_D خلال سطح ثابت S ، ونحصل عليه عن طريق تكامل المركبة العمودية \perp \mathbf{J}_D على السطح (ذلك مما يتطلب استنتاج i_c من \mathbf{J}_c)

$$i_D = \int_S \mathbf{J}_D \bullet d\mathbf{S} = \int_S \frac{\partial \mathbf{D}}{\partial t} \bullet d\mathbf{S} = \frac{d}{dt} \int_S \mathbf{D} \bullet d\mathbf{S} \quad (8)$$

مثال ٤.٢ يبين أن $i_D = i_c$ في الدائرة بشكل ٤-٣.

Example 4.2 Show that $i_c = i_D$ in the circuit of Figure 4-3.



شكل 4-3 دائرة مكثف يتغير فيها المجال مع الزمن

الحل: حيث أن السطحين S_1 و S_2 لهما نفس حدود المسار C .

$$\oint_C \mathbf{H} \cdot d\mathbf{l} = \int_{S_1} \mathbf{J}_c \cdot d\mathbf{S} + \frac{d}{dt} \int_{S_1} \mathbf{D} \cdot d\mathbf{S} = \int_{S_2} \mathbf{J}_c \cdot d\mathbf{S} + \frac{d}{dt} \int_{S_2} \mathbf{D} \cdot d\mathbf{S}$$

بفرض أن الفيض للمكثف محصور داخل المادة العازلة بين اللوحين فإن $D = 0$ على السطح S_1 . وحيث أنه لا توجد شحنات حرة داخل العازل فإن $J_c = 0$ على السطح S_2 . على ذلك

$$\int_{S_1} \mathbf{J}_c \cdot d\mathbf{S} = \frac{d}{dt} \int_{S_2} \mathbf{D} \cdot d\mathbf{S} = \int_{S_2} \frac{\partial \mathbf{D}}{\partial t} \cdot d\mathbf{S} \quad \text{or} \quad i_c = i_D$$

يجب ملاحظة أن $\partial D / \partial t$ ليس صفرًا فقط على الجزء من السطح S_2 الذي يوجد داخل العازل.

مثال 4.3: كرر مثال 4.2 ولكن باستخدام تحليل الدوائر.

Example 4.3 Repeat Example 4.2, this time using circuit analysis.

الحل: السعة للمكثف هي

$$C = \frac{\epsilon A}{d}$$

حيث A هي مساحة اللوح و d هي الفاصل. وعلى ذلك يكون تيار التوصيل

$$i_c = C \frac{\partial v}{\partial t} = \frac{\epsilon A}{d} \frac{\partial v}{\partial t}$$

من الناحية الأخرى فإن المجال الكهربى مع إهمال التهدب $E = v/d$ وعلى ذلك

$$D = \epsilon E = \frac{\epsilon}{d} v, \quad \frac{\partial D}{\partial t} = \frac{\epsilon}{d} \frac{\partial v}{\partial t}$$

ونيار الإزاحة هو [يستخدم (8) وأن D عمودى على اللوح]

$$i_D = \int_A \frac{\partial D}{\partial t} \cdot dS = \int_A \frac{\epsilon}{d} \frac{\partial v}{\partial t} dS = \frac{\epsilon A}{d} \frac{\partial v}{\partial t} = i_c$$

Boundary Conditions

شروط الحدود

إذا تم إحلال الموصل بشكل 23-2 و 24-2 بعازل آخر مختلف، فإن نفس المناقشة التي تمت على الحدود بين موصل وعازل بالفصل الثاني تعطى المعادلين الآتيين لشروط الحدود.

1. المركبة المماسية E مستمرة عبر سطح التقابل للعازل. بالرموز

$$E_{r1} = E_{r2} \quad \text{and} \quad \frac{D_{r1}}{\epsilon_{r1}} = \frac{D_{r2}}{\epsilon_{r2}} \quad (9)$$

2. المركبة العمودية D غير مستمرة بقيمة اما عبر سطح التقابل للعازل.
إذا اختير متجه العمودي على السطح بحيث يتوجه إلى العازل 2، فإن هذا الشرط يمكن كتابته كالتالي

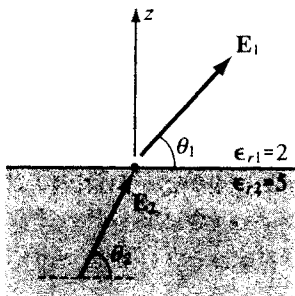
$$D_{n2} - D_{n1} = \rho_s \quad \text{and} \quad \epsilon_{r2} E_{n2} - \epsilon_{r1} E_{n1} = \frac{\rho_s}{\epsilon_0} \quad (10)$$

عموماً فإن سطح التقابل ليس له شحنات حرة لذلك

$$D_{n2} = D_{n1} \quad \text{and} \quad \epsilon_{r2} E_{n2} = \epsilon_{r1} E_{n1} \quad (11)$$

مثال 4.4 إذا كان $E_1 = 2\mathbf{a}_x - 3\mathbf{a}_y + 5\mathbf{a}_z$ V/m عند سطح تقابل خالٍ من الشحنات الحرة كما في شكل 4-4 أوجد D_2 والزاویتين θ_1 و θ_2 .

Example 4.4 Given that $E_1 = 2\mathbf{a}_x - 3\mathbf{a}_y + 5\mathbf{a}_z$ V/m at the charge-free interface of Figure 4-4, find D_2 and the angles θ_1 and θ_2 .



شكل 4-4 تقابل عازل مع عازل

الحل: سطح التقابل هو السطح $z =$ ثابت، المركبتان x و y مماسيان للسطح والمركبة z عمودية. حيث أن مركبات E المماسية ومركبات D العمودية استمرة

$$\begin{aligned} E_1 &= 2\mathbf{a}_x - 3\mathbf{a}_y + 5\mathbf{a}_z \\ E_2 &= 2\mathbf{a}_x - 3\mathbf{a}_y + E_{2z}\mathbf{a}_z \\ D_1 &= \epsilon_0 \epsilon_{r1} E_1 = 4\epsilon_0 \mathbf{a}_x - 6\epsilon_0 \mathbf{a}_y + 10\epsilon_0 \mathbf{a}_z \\ D_2 &= \epsilon_0 \epsilon_{r2} E_2 = D_{2x}\mathbf{a}_x + D_{2y}\mathbf{a}_y + 10\epsilon_0 \mathbf{a}_z \end{aligned}$$

يمكن الحصول على المركبات المجهولة عن طريق العلاقة

$$D_{2x}\mathbf{a}_x + D_{2y}\mathbf{a}_y + 10\epsilon_0 \mathbf{a}_z = 2\epsilon_0 \epsilon_{r2} \mathbf{a}_x - 3\epsilon_0 \epsilon_{r2} \mathbf{a}_y + \epsilon_0 \epsilon_{r2} E_{2z}\mathbf{a}_z$$

ومنها

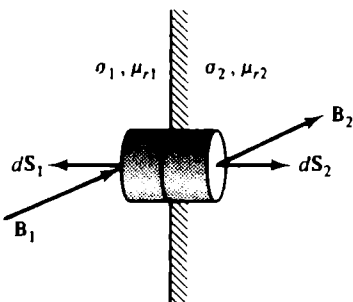
$$D_{2x} = 2\epsilon_0\epsilon_{r2} = 10\epsilon_0, \quad D_{2y} = -3\epsilon_0\epsilon_{r2} = -15\epsilon_0, \quad E_{2z} = \frac{10}{\epsilon_{r2}} = 2$$

الزوايا مع سطح التقابل يمكن الحصول عليها بسهولة عن طريق

$$\mathbf{E}_1 \bullet \mathbf{a}_z = |\mathbf{E}_1| \cos(90^\circ - \theta_1) \Rightarrow 5 = \sqrt{38} \sin \theta_1 \Rightarrow \theta_1 = 54.2^\circ$$

$$\mathbf{E}_2 \bullet \mathbf{a}_z = |\mathbf{E}_2| \cos(90^\circ - \theta_2) \Rightarrow 2 = \sqrt{17} \sin \theta_2 \Rightarrow \theta_2 = 29.0^\circ$$

أما بالنسبة للمجال المغناطيسي انظر إلى شكل 4-5 الذي يبين الحدود بين المادة 1 والمادة 2.



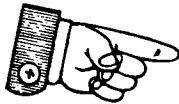
شكل 4-5 سطح مغلق على الحدود بين مادتين

سلوك مركبة \mathbf{B} العمودية يمكن إيجادها عن طريق استخدام أسطوانة صغيرة قائمة موجودة عبر سطح التقابل كما هو مبين. حيث أن خطوط الفيبر المغناطيسي مستمرة

$$\oint \mathbf{B} \bullet d\mathbf{S} = \int_{end1} \mathbf{B}_1 \bullet d\mathbf{S}_1 + \int_{curved side} \mathbf{B} \bullet d\mathbf{S} + \int_{end2} \mathbf{B}_2 \bullet d\mathbf{S}_2 = 0$$

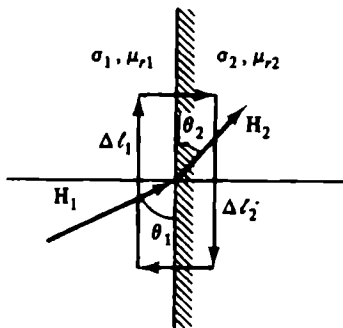
الآن إذا سمح للنهايتين أن يقتربا من بعض مع الحفاظ على سطح التقابل بينهما فإن مساحة السطح الجانبي تقترب من الصفر هذا يعطى

$$\begin{aligned}
 & \int_{end1} \mathbf{B}_1 \cdot d\mathbf{S}_1 + \int_{end2} \mathbf{B}_2 \cdot d\mathbf{S}_2 = 0 \\
 & -B_{n1} \int_{end1} dS_1 + B_{n2} \int_{end2} dS_2 = 0 \\
 \Rightarrow & B_{n1} = B_{n2}
 \end{aligned} \tag{12}$$



في كلمات: المركبة العمودية لـ \mathbf{B} تكون مستمرة عبر سطح التقابل .

التغير في \mathbf{H} المماسية عبر سطح التقابل يعطى عن طريق تطبيق قانون أمبير على مسار المستطيل المغلق المبين بشكل 4-6.



شكل 4-6 مسار مغلق عند الحدود بين مادتين

بفرض أنه لا يوجد تيار على سطح التقابل وأن المستطيل يتقلص حتى الحدود

$$\oint \mathbf{H} \cdot d\mathbf{l} \rightarrow H_{i1}\Delta\ell_1 - H_{i2}\Delta\ell_2 = H_{i1}\Delta\ell - H_{i2}\Delta\ell$$

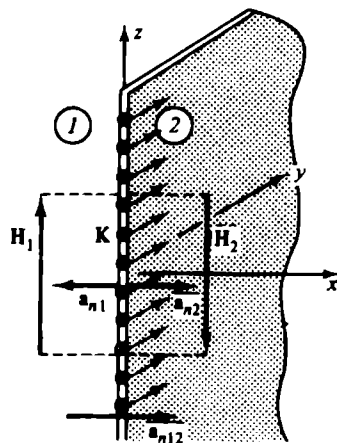
$$\Delta\ell_1 = \Delta\ell_2 = \Delta\ell$$

بالنسبة لنبار الإزاحة، Δ هي المساحة المحدودة بالمسار المستطيل. عندما يتقلص المستطيل فإن المساحة تقترب من الصفر لتعطى

$$\frac{d}{dt} \int_S \mathbf{D} \cdot d\mathbf{S} \rightarrow 0$$

بالنسبة لتيار التوصيل، توجد تكوينات تُدعم وجود لوح عند الحدود يمر به تيار $K(A/m)$ (شكل 4-7). بهذا الخصوص فإنه مهما صغرت مساحة المستطيل فدائماً يعطى تياراً سطحياً. تيار التوصيل يعطى كما يلى:

$$\int_S \mathbf{K} \cdot d\mathbf{S} \rightarrow K\Delta\ell$$



شكل 4-7 لوح يمر به تيار عند الحدود

بمساواة طرفى قانون أمير واستخدام ما سبق يعطى

$$H_{n1}\Delta\ell - H_{n2}\Delta\ell = K\Delta\ell \text{ or } H_{n1} - H_{n2} = K$$

حيث أن K متجه فلن هناك تعبيراً أفضل باستخدام التعبير الاتجاهى يعطى الاتجاه

$$(H_{n1} - H_{n2}) \times a_{n12} = K \quad (13)$$

حيث \mathbf{a}_{n12} هو متجه الوحدة العمودي من الحيز 1 إلى الحيز 2. في حالة تقابل عازلين غير موصلين (هذا لا يُدعم تيار على السطح)، $K = 0$ وتكون مركبة \mathbf{H} المماسية مستمرة عبر الحدود.

$$H_{11} = H_{12} \quad (14)$$

مثال 4.5 الحيز 1 يحدد $B < 0$ وله سماحية نسبية $\mu_{r1} = 3$. الحيز 2 يحدد $B > 0$ وله سماحية نسبية $\mu_{r2} = 5$. وكلا الحيزين غير موصلين. إذا كان

$$\mathbf{H}_1 = 4.0\mathbf{a}_x + 3.0\mathbf{a}_y - 6.0\mathbf{a}_z \text{ (A/m)} \\ \mathbf{B}_2 \text{ و } \mathbf{H}_2$$

Example 4.5 Region 1 is defined for $x < 0$ and has relative permeability of $\mu_{r1} = 3$. Region 2 is defined for $x > 0$ and has relative permeability of $\mu_{r2} = 5$. Neither region is conducting. Given

$$\mathbf{H}_1 = 4.0\mathbf{a}_x + 3.0\mathbf{a}_y - 6.0\mathbf{a}_z \text{ (A/m)}$$

find \mathbf{H}_2 and \mathbf{B}_2 .

الحل: حيث أن الحدود عند $x = 0$ ومركبة x عمودية أما مركبة y ومركبة z فهما مماستان. باستخدام $\mathbf{B} = \mu\mathbf{H}$

$$\mathbf{B}_1 = 12.0\mu_0\mathbf{a}_x + 9.0\mu_0\mathbf{a}_y - 18.0\mu_0\mathbf{a}_z \text{ (T)}$$

للمواد غير الموصلة فإن المركبات المماسية لـ \mathbf{H} والعمودية لـ \mathbf{B} تكون مستمرة

$$\mathbf{H}_2 = H_{2x}\mathbf{a}_x + 3.0\mathbf{a}_y - 6.0\mathbf{a}_z \text{ (A/m)}$$

$$\mathbf{B}_2 = 12.0\mu_0\mathbf{a}_x + B_{2y}\mathbf{a}_y - B_{2z}\mathbf{a}_z \text{ (T)}$$

والقيم المجهولة هي

$$H_{2x} = \frac{B_{2x}}{\mu_{r2}\mu_0} = 2.4, \quad B_{2y} = \mu_{r2}\mu_0 H_{2y} = 15.0$$

$$B_{2z} = \mu_{r2}\mu_0 H_{2z} = -30\mu_0$$

Maxwell's Equations

معادلات ماكسويل

بتجميع معادلات قانون فاراداي وقانون أمبير (مع وجود تيار الإزاحة) وقانون جاوس للمجال الكهربى والمغناطيسى هذه المعادلات تعرف بمعادلات ماكسويل. في جدول 4-1 بيان بالمعادلات العامة حيث من الممكن أن يكون هناك شحنات وتيار توصيل بالوسط. في الفراغ الحر والمواد غير الموصلة (التوصيلية $\sigma = 0$)، حيث لا يوجد شحنات ($\rho = 0$) ولا يوجد تيار توصيلي ($J_c = 0$). فإن معادلات ماكسويل تأخذ الصور الموجدة بجدول 4-2.

الصورة النقطية	الصورة التكاملية
$\nabla \times \mathbf{H} = \mathbf{J}_c + \frac{\partial \mathbf{D}}{\partial t}$	$\oint \mathbf{H} \cdot d\mathbf{l} = \int_S \left(\mathbf{J}_c + \frac{\partial \mathbf{D}}{\partial t} \right) \cdot d\mathbf{S}$ (قانون أمبير)
$\nabla \times \mathbf{E} = - \frac{\partial \mathbf{B}}{\partial t}$	$\oint \mathbf{E} \cdot d\mathbf{l} = \int_S \left(- \frac{\partial \mathbf{B}}{\partial t} \right) \cdot d\mathbf{S}$ (قانون فاراداي، ثابتة)
$\nabla \cdot \mathbf{D} = \rho$	$\oint \mathbf{D} \cdot d\mathbf{S} = \int_v \rho dV$ (قانون جاوس)
$\nabla \cdot \mathbf{B} = 0$	$\oint \mathbf{B} \cdot d\mathbf{S} = 0$ (عدم وجود أقطاب أحادية)

جدول 4-1 معادلات ماكسويل الصورة العامة

الصورة النقطية	الصورة التكاملية
$\nabla \times \mathbf{H} = \frac{\partial \mathbf{D}}{\partial t}$	$\oint \mathbf{H} \cdot d\mathbf{l} = \int_S \left(\frac{\partial \mathbf{D}}{\partial t} \right) \cdot d\mathbf{S}$
$\nabla \times \mathbf{E} = - \frac{\partial \mathbf{B}}{\partial t}$	$\oint \mathbf{E} \cdot d\mathbf{l} = \int_S \left(- \frac{\partial \mathbf{B}}{\partial t} \right) \cdot d\mathbf{S}$
$\nabla \cdot \mathbf{D} = 0$	$\oint \mathbf{D} \cdot d\mathbf{S} = 0$
$\nabla \cdot \mathbf{B} = 0$	$\oint \mathbf{B} \cdot d\mathbf{S} = 0$

جدول 4-2 معادلات ماكسويل في فراغ حر

أشياء هامة للتذكر

- ✓ المجال B المتغير مع الزمن ينبع تياراً في حلقة موصلة.
- ✓ في قانون أمبير أضاف ماكسويل تيار الإزاحة لتحقيق بقاء الشحنة.
- ✓ المياضية دائماً مستمرة عبر الحدود بين مادتين.
- ✓ العمودية دائماً مستمرة عبر الحدود بين مادتين.

Solved Problems

مسائل محلولة

مسألة محلولة 4.1 في مادة لها $\sigma = 5.0 \text{ S/m}$ و $\epsilon_r = 1$ كانت شدة المجال الكهربى $E = 250 \sin 10^{10} t \text{ V/m}$. أوجد كثافة تيار التوصيل وتيار الإزاحة والتردد الذى عنده يتساوىان فى المقدار.

Solved Problem 4.1 In a material for which $\sigma = 5.0 \text{ S/m}$ and $\epsilon_r = 1$, the electric field intensity is $E = 250 \sin 10^{10} t \text{ V/m}$. Find the conduction current and displacement current densities and the frequency at which they will have equal magnitudes.

الحل: كثافة تيار التوصيل هي

$$J_c = \sigma E = 1250 \sin 10^{10} t \text{ A/m}^2$$

بفرض أن اتجاه المجال لا يتغير مع الزمن

$$J_D = \frac{\partial \mathbf{D}}{\partial t} = \frac{\partial}{\partial t} (\epsilon_0 250 \sin 10^{10} t) = 22.1 \cos 10^{10} t \text{ A/m}^2$$

لکى يكون $J_c = J_D$ ، نحن نريد $\sigma = \omega \epsilon$ أو

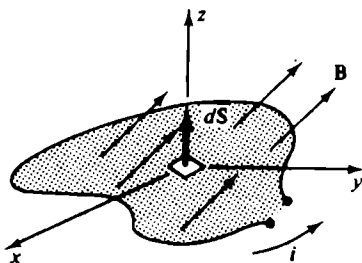
$$\omega = \frac{5.0}{8.854 \times 10^{-12}} = 5.65 \times 10^{11} \text{ rad/s} = 89.9 \text{ GHz}$$

مسألة محلولة 4.2 مساحة مقدارها 0.65 m^2 موجود بالمستوى $z = 0$ وبحدتها فتيلة موصلة. أوجد الجهد المستنتاج إذا كان

Solved Problem 4.2 An area of 0.65 m^2 in the $z = 0$ plane is enclosed by a filamentary conductor. Find the induced voltage given that

$$\mathbf{B} = 0.05 \cos 10^3 t \left(\frac{\mathbf{a}_y + \mathbf{a}_z}{\sqrt{2}} \right) \text{ T}$$

الحل: انظر شكل 4-8.



شكل 4-8 عبور \mathbf{B} خلال مساحة يحدها لفة موصلة

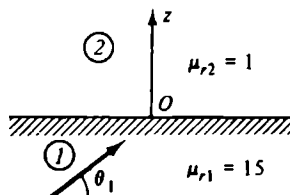
الجهد المستنتاج يعطى عن طريق قانون فاراداي كالتالي:

$$\begin{aligned} v &= -\frac{d}{dt} \int_S \left(0.05 \cos 10^3 t \left(\frac{\mathbf{a}_y + \mathbf{a}_z}{\sqrt{2}} \right) \right) \bullet (d\mathbf{S} \mathbf{a}_z) \\ &= -\frac{d}{dt} \left(\frac{(0.05 \cos 10^3 t)(0.65)}{\sqrt{2}} \right) = 23.0 \sin 10^3 t \quad \text{V} \end{aligned}$$

المجال يتناقص في النصف دورة الأولى حيث أنها دالة جيب التمام. اتجاه \mathbf{i} في الدائرة المغلقة يجب أن يكون بحيث يعاكس هذا التناقص، ولذلك فإن التيار الاصطلاحي لا بد أن يكون في اتجاه كما هو مبين في شكل 4-8.

مسألة محلولة 4.3 في الحيز 1 بشكل $B_1 = 1.2\mathbf{a}_x + 0.8\mathbf{a}_y + 0.4\mathbf{a}_z$ ، $4-9$ ، θ_1 أوجد H_2 (أى H عند $z=0^+$) وأوجد الزوايا بين متجه المجال والمماس لسطح التقابل.

Solved Problem 4.3 In region 1 of Figure 4-9, $B_1 = 1.2\mathbf{a}_x + 0.8\mathbf{a}_y + 0.4\mathbf{a}_z$. Find H_2 (i.e., H at $z = 0^+$) and the angles between the field vectors and tangent to the interface.



شكل 4-9 مسألة على شروط الحدود للمجال المغناطيسي

الحل: اكتب H_1 تحت معادلة B . ثم اكتب المركبات له H_2 و B_2 والتي تستنتج مباشرة من القاعدتين: B العمودية مستمرة و H المماسية مستمرة عبر سطح التقابل الحالى من التيار.

$$\begin{aligned} B_1 &= 1.2\mathbf{a}_x & +0.8\mathbf{a}_y & +0.4\mathbf{a}_z & T \\ H_1 &= \frac{1}{\mu_0} (8.0\mathbf{a}_x & +5.33\mathbf{a}_y & +2.67\mathbf{a}_z) 10^{-2} & A/m \\ H_2 &= \frac{1}{\mu_0} (8.0\mathbf{a}_x & +5.33\mathbf{a}_y & 10^2 \mu_0 H_{2z}) 10^{-2} & A/m \\ B_2 &= B_{2x}\mathbf{a}_x & +B_{2y}\mathbf{a}_y & +0.4\mathbf{a}_z & T \end{aligned}$$

الآن القيم الباقية تأتى مباشرة

$$B_{2x} = \mu_0 \mu_{r2} H_{2x} = 8.0 \times 10^{-2} \text{ T}$$

$$B_{2y} = \mu_0 \mu_{r2} H_{2y} = 5.33 \times 10^{-2} \text{ T}$$

$$H_{2z} = \frac{B_{2z}}{\mu_0 \mu_{r2}} = \frac{0.4}{\mu_0} \text{ A/m}$$

الزاوية θ_1 هي نفس α_1 - 90° حيث α_1 هي الزاوية بين \mathbf{B}_1 والعمودي \mathbf{a}_z .

$$\cos \alpha_1 = \frac{\mathbf{B}_1 \cdot \mathbf{a}_z}{|\mathbf{B}_1|} = 0.27$$

لذلك $\theta_2 = 76.5^\circ$ و $\theta_1 = 15.5^\circ$. بالمثل

مسألة محلولة 4.4 تيار سطحي $K = 6.59 \text{ A/m}$ على المستوى $x = 0$ الذي يفصل الوسط 1، $x < 0$ عن الوسط 2، $x > 0$. إذا كانت $\mathbf{H}_1 = 10\mathbf{a}_y \text{ A/m}$ في ذلك \mathbf{H}_2 عند $x = 0^+$.

Solved Problem 4.4 A current sheet $\mathbf{K} = 6.5\mathbf{a}_z \text{ A/m}$ at $x = 0$ separates region 1, $x < 0$, where $\mathbf{H}_1 = 10\mathbf{a}_y \text{ A/m}$ and region 2, $x > 0$. Find \mathbf{H}_2 at $x = 0^+$.

الحل: لم يذكر شيء عن سماحية الوسطين وعلى أي حال حيث أن كل 1 مماسية، فتغير السماحية ليس لها أي تأثير ($B_{n1} = 0$ ، $B_{n2} = 0$) ولذلك $\mathbf{H}_{n2} = 0$ الآن،

$$\begin{aligned} (\mathbf{H}_1 - \mathbf{H}_2) \times \mathbf{a}_{n12} &= \mathbf{K} \\ (10\mathbf{a}_y - H_{2y}\mathbf{a}_y) \times \mathbf{a}_x &= 6.5\mathbf{a}_z \\ (10 - H_{2y})(-\mathbf{a}_z) &= 6.5\mathbf{a}_z \\ H_{2y} &= 16.5 \text{ A/m} \end{aligned}$$

إذن $\mathbf{H}_2 = 16.5\mathbf{a}_y \text{ A/m}$

مسألة محلولة 4.5 إذا كان $\mathbf{H} = H_m e^{j(\omega t + \beta z)} \mathbf{a}_x$ في وسط خالٍ. أوجد \mathbf{E} .

Solved Problem 4.5 Given $\mathbf{H} = H_m e^{j(\omega t + \beta z)} \mathbf{a}_x$ in free space, find \mathbf{E} .

الحل: باستخدام قانون أمبير (في عدم وجود \mathbf{J}).

$$\nabla \times \mathbf{H} = \frac{\partial \mathbf{D}}{\partial t}$$

$$\frac{\partial}{\partial z} (H_m e^{j(\omega t + \beta z)}) \mathbf{a}_y = \frac{\partial \mathbf{D}}{\partial t}$$

$$j\beta H_m e^{j(\omega t + \beta z)} \mathbf{a}_y = \frac{\partial \mathbf{D}}{\partial t}$$

$$\mathbf{D} = \frac{\beta H_m}{\omega} e^{j(\omega t + \beta z)} \mathbf{a}_y \quad \text{C/m}^2$$

٩

$$\mathbf{E} = \frac{\mathbf{D}}{\epsilon_0} = \frac{\beta H_m}{\omega \epsilon_0} e^{j(\omega t + \beta z)} \mathbf{a}_y \quad \text{V/m}$$

عصير الكتب
www.ibtesama.com/vb
 منتدى مجلة الإتسامة

الفصل الخامس

الموجات الكهرومغناطيسية

Electromagnetic Waves

فى هذا الفصل:

- ✓ معادلات الموجة والحلول بالإحداثيات الكرتيزية
- ✓ الانتشار فى أوساط مختلفة
- ✓ شروط الحدود للسقوط العمودى
- ✓ السقوط المائل وقوانين سنيل
- ✓ مسائل محلولة

هذا الفصل يتناول حلول لمعادلات ماكسويل لانتشار الموجات الكهرومغناطيسية مثل موجة الراديو. حيث أن معظم الأوساط ذات الأهمية تكون حالية من الشحنة فسوف يفترض أن كثافة الشحنة $\rho = \rho_0 e^{j\omega t}$ بالإضافة إلى ذلك سوف يفترض أن المواد خطية وموحدة الخواص، حيث أن $J = \sigma E$, $B = \mu H$, $D = \epsilon E$.

معادلات الموجة والحلول بالإحداثيات الكرتيزية

Wave Equations and Solutions in Rectangular Coordinates

مع الفروض السابقة ويفرض أن كل من E و H تعتمد على الزمن $e^{j\omega t}$ ، معادلات ماكسويل (جدول 1-4) تصبح

$$\nabla \times \mathbf{H} = (\sigma + j\omega\epsilon)\mathbf{E} \quad (1)$$

$$\nabla \times \mathbf{E} = -j\omega\mu\mathbf{H} \quad (2)$$

$$\nabla \bullet \mathbf{E} = 0 \quad (3)$$

$$\nabla \bullet \mathbf{B} = 0 \quad (4)$$

بأخذ الالتفاف لـ (1) و (2)

$$\nabla \times (\nabla \times \mathbf{H}) = (\sigma + j\omega\epsilon)(\nabla \times \mathbf{E})$$

$$\nabla \times (\nabla \times \mathbf{E}) = -j\omega\mu(\nabla \times \mathbf{H})$$

باستخدام المتطابقة الاتجاهية

$$\nabla \times (\nabla \times \mathbf{F}) = \nabla(\nabla \bullet \mathbf{F}) - \nabla^2 \mathbf{F}$$

حيث الابلاسيان (Laplacian) للمتوجه \mathbf{F} بالإحداثيات الكرتيزية هو

$$\nabla^2 \mathbf{F} = (\nabla^2 F_x) \mathbf{a}_x + (\nabla^2 F_y) \mathbf{a}_y + (\nabla^2 F_z) \mathbf{a}_z$$

أيضاً باستخدام الإحداثيات الكرتيزية

$$\nabla^2 F_i = \frac{\partial^2 F_i}{\partial x^2} + \frac{\partial^2 F_i}{\partial y^2} + \frac{\partial^2 F_i}{\partial z^2}$$

بالتعمويض بالمتطابقة الاتجاهية في "الالتفاف المزدوج" واستخدام (3) و (4) نحصل على المعادلات المتوجهة للموجة

$$\nabla^2 \mathbf{H} = j\omega\mu(\sigma + j\omega\epsilon)\mathbf{H} = \gamma^2 \mathbf{H}$$

$$\nabla^2 \mathbf{E} = j\omega\mu(\sigma + j\omega\epsilon)\mathbf{E} = \gamma^2 \mathbf{E}$$

ثابت الانتشار γ هو الجذر التربيعي لـ γ^2 . الجزء الحقيقي والتخيلي لـ γ كما يلى

$$\gamma = \alpha + j\beta$$

وأن

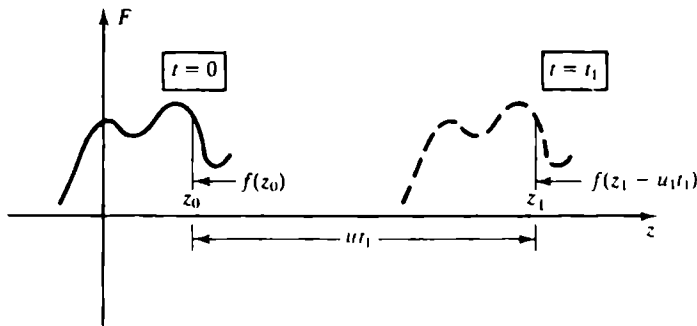
$$\alpha = \omega \sqrt{\frac{\mu \epsilon}{2} \left(\sqrt{1 + \left(\frac{\sigma}{\omega \epsilon} \right)^2} - 1 \right)} \quad (5)$$

$$\beta = \omega \sqrt{\frac{\mu \epsilon}{2} \left(\sqrt{1 + \left(\frac{\sigma}{\omega \epsilon} \right)^2} + 1 \right)} \quad (6)$$

المعادلة المألوفة المقاييسية للموجة في بعد واحد هي

$$\frac{\partial^2 F}{\partial z^2} = \frac{1}{u^2} \frac{\partial^2 F}{\partial t^2}$$

لها حلول على صورة $F = g(z + ut)$ و $F = f(z - ut)$ حيث f و g دوال اختيارية تمثل موجات تنتشر بسرعة u في اتجاه $+z$ و $-z$ على الترتيب. في شكل 5-1 الحل الأول مُبين عند $t = 0$ و $t = t_1$ وظاهر أن الموجة تقدمت في اتجاه $+z$ مسافة مقدارها ut_1 في الفترة الزمنية t_1 .



شكل 5-1 انتشار موجة في اتجاه $+z$

كاختيار خاص

$$f = C e^{-j\omega z/u} \text{ and } g = D e^{+j\omega z/u}$$

أمكن الحصول على موجات توافقية لها تردد زاوي ω

$$F = C e^{j(\omega t - \beta z)} \text{ and } F = D e^{j(\omega t + \beta z)}$$

حيث $\omega/u = \beta$. بالطبع فإن الجزء الحقيقي والتخيلي أيضاً حل لمعادلة الموجة. وأحد هذه الحلول

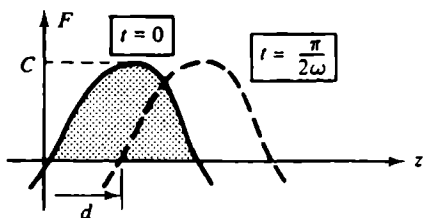
$$F = C \sin(\omega t - \beta z)$$

مبين بشكل 5-2 عند $t = 0$ و $t = \pi/2\omega$. في خلال هذه الفترة الزمنية تقدمت الموجة في اتجاه $+z$ مسافة $d = u(\pi/2\omega) = \pi/2\beta$

عند زمن محدد تكرر الموجة نفسها، عندما تتغير z بمقدار $2\pi/\beta$ نحصل على المسافة

$$\lambda = \frac{2\pi}{\beta} \quad (7)$$

ويطلق على هذه المسافة طول الموجة Wave Length



شكل 2-5 انتشار موجة توافقية

يرتبط طول الموجة بالتردد عن طريق

$$\lambda = \frac{u}{f}$$

معادلات الموجة المتوجهة لها حلول مشابهة لهذه التي تمت مناقشتها تواً.

بالإحداثيات الكرتيزية، معادلة الموجة لـ \mathbf{H} يمكن كتابتها على الصورة

$$\frac{\partial^2 \mathbf{H}}{\partial x^2} + \frac{\partial^2 \mathbf{H}}{\partial y^2} + \frac{\partial^2 \mathbf{H}}{\partial z^2} = \gamma^2 \mathbf{H}$$

الحلول لموحات مستوية التي تعتمد على إحداثى فراغى واحد له أهمية خاصة. وتصبح المعادلة

$$\frac{\partial^2 \mathbf{H}}{\partial z^2} = \gamma^2 \mathbf{H}$$

و عند فرض الاعتماد على الزمن $e^{j\omega t}$ تكون متوجه يمايل معادلة موجة مقياسية ذات بعد واحد. وتكون الحلول كما بالسابق بدلالة ثابت الانتشار γ .

$$\mathbf{H}(z, t) = H_0 e^{\pm j\gamma z} e^{j\omega t} \mathbf{a}_H$$

والحلول المقابلة للمجال الكهربى هي

$$\mathbf{E}(z, t) = E_0 e^{\pm j\gamma z} e^{j\omega t} \mathbf{a}_E$$

متوجهها الوحدة \mathbf{a}_H و \mathbf{a}_E محددان ومتعاويان وليس لأى منهما مركبة في اتجاه الانتشار. وهذه تكون الحالة إذا أديرت المحاور لوضع أحد المجالات، ولكن \mathbf{E} في اتجاه x . عند ذلك وي استخدام معادلة ماكسويل (2) هذا ينتج أن \mathbf{H} تكون في اتجاه محور $y \pm$ وذلك لأن انتشار الموجة في اتجاه $z \pm$.

الانتشار في أوساط مختلفة

Propagation in Various Media

الحلول لمواحة مستوية التي تم الحصول عليها أعلاه تعتمد على الخصائص μ ، ϵ و σ للوسط لأن ثابت الانتشار γ يعتمد على هذه الخصائص. لوسط به نسبة توصيل ولكن ليس كثيراً (مثل: التربة الرطبة وماء البحر) يكون الحل لمعادلة الموجة لـ \mathbf{E}

$$\mathbf{E} = E_0 e^{-\gamma z} \mathbf{a}_x$$

حيث تم إخفاء الاعتماد على الزمن $e^{j\omega t}$. إذن من المعادلة (2)

$$\mathbf{H} = \sqrt{\frac{\sigma + j\omega\epsilon}{j\omega\mu}} E_0 e^{-\gamma z} \mathbf{a}_y$$

النسبة E/H هي خاصية الوسط للموجات المستوية.
بالنسبة E و H أعلاه تعرف الممانعة الذاتية Intrinsic Impedance للوسط
عن طريق

$$\eta = \frac{E_x}{H_y} = \sqrt{\frac{j\omega\mu}{\sigma + j\omega\epsilon}} = |\eta| e^{j\theta} (\Omega) \quad (8)$$

حيث $\sigma/\omega\epsilon = \tan 2\theta = \alpha + j\beta$. إذا كانت الموجة تنتشر في اتجاه $-z$ فإن $\eta = -\eta$
باظهار معامل الزمن $e^{j\omega t}$ وكتابته $\alpha + j\beta = \gamma$ تنتهي المعادلات الآتية للمجال في
وسط موصل جزئياً

$$\begin{aligned} \mathbf{E}(z, t) &= E_0 e^{-\alpha z} e^{j(\omega t - \beta z)} \mathbf{a}_x \\ \mathbf{H}(z, t) &= \frac{E_0}{|\eta|} e^{-\alpha z} e^{j(\omega t - \beta z - \theta)} \mathbf{a}_y, \end{aligned}$$

المعامل $e^{-\alpha z}$ يُضعف القيمة لكل من \mathbf{E} و \mathbf{H} كلما انتشر في اتجاه $+z$.
لعازل مثالي، $\sigma = 0$ لذلك

$$\alpha = 0, \quad \beta = \omega\sqrt{\mu\epsilon}, \quad \eta = \sqrt{\frac{\mu}{\epsilon}}, \quad \theta = 0^\circ \quad (9)$$

بما أن $\alpha = 0$ ، فإنه لا يوجد توهين للموجات \mathbf{E} و \mathbf{H} . في هذه الحالة تكون
الموجات

$$\begin{aligned} \mathbf{E}(z, t) &= E_0 e^{j(\omega t - \beta z)} \mathbf{a}_x \\ \mathbf{H}(z, t) &= \frac{E_0}{\eta} e^{j(\omega t - \beta z)} \mathbf{a}_y \end{aligned}$$

سرعة الانتشار هي $u = \frac{\omega}{\beta} = \frac{1}{\sqrt{\mu\epsilon}}$ في الفراغ الحر تكون السماحية والإنفاذية

على الترتيب $u = 3 \times 10^8 \text{ m/s}$ و $\mu_0 = 4\pi \times 10^{-7} \text{ H/m}$ و $\epsilon_0 = 10^{-9}/36\pi \text{ F/m}$ هذا يعطى $\eta = 120 \pi \Omega \text{ m/s}$.

تصنف المواد عادة كموصلات جيدة إذا كان $\omega\epsilon > > \sigma$ في مدى الترددات العملية. وعلى ذلك فإن ثابت الانتشار والممانعة الذاتية في هذه الحالة

$$\gamma = \alpha + j\beta, \quad \alpha = \beta = \sqrt{\frac{\omega\mu\sigma}{2}} = \sqrt{\pi f\mu\sigma}, \quad \eta = \sqrt{\frac{\omega\mu}{\sigma}} \angle 45^\circ$$

من الواضح أن كل موصلات الموجات تتوهن.

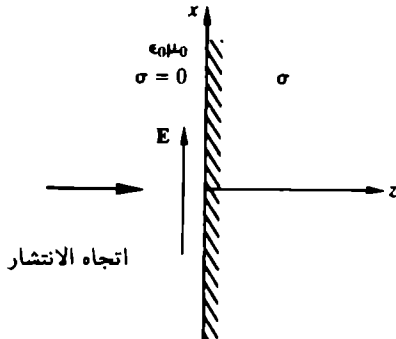
ملاحظة!

العمق الذي عنده يكون المجال قد توهن إلى 37% من قيمته الأصلية يعطى
بالعمق السطحي δ , Skin Depth

$$\delta = \frac{1}{\alpha} = \frac{1}{\sqrt{\pi f\mu\sigma}} \text{ m}$$

مثال 5.1 افرض أن مجالاً $E(z,t) = 1.0e^{-az}e^{j(\omega t-\beta z)}\mathbf{a}_x \text{ V/m}$ بتردد $f = 100 \text{ MHz}$ عند سطح موصل من النحاس $\sigma = 5.8 \times 10^7 \text{ S/m}$. وموضع في $z > 0$ كما هو مبين بشكل 5.3. اختبر التوهين عند انتشار الموجة داخل الموصل.

Example 5.1 Assume a field $\mathbf{E}(z,t) = 1.0e^{-az}e^{j(\omega t-\beta z)}\mathbf{a}_x \text{ V/m}$ with frequency $f = 100 \text{ MHz}$ at the surface of a copper conductor, $\sigma = 5.8 \times 10^7 \text{ S/m}$, located at $z > 0$, as shown in Figure 5-3. Examine the attenuation as the wave propagates into the conductor.



شكل 5-3 موجة مستوية تنتشر داخل النحاس

الحل: عند عمق z قيمة المجال تكون

$$|E| = 1.0e^{-\alpha z} = 1.0e^{-z/\delta}$$

حيث

$$\delta = \frac{1}{\sqrt{\pi f \mu \sigma}} = 6.61 \text{ } \mu\text{m}$$

على ذلك فإن قيمة المجال بعد فقط $6.61 \mu\text{m}$ ينقص إلى $e^{-1} = 37\%$ من القيمة الابتدائية. عند $\delta = 5 \mu\text{m}$ أو $z = 33 \mu\text{m}$ تصل القيمة إلى 0.67% من القيمة الابتدائية عملياً هذه القيمة تساوي صفرًا.

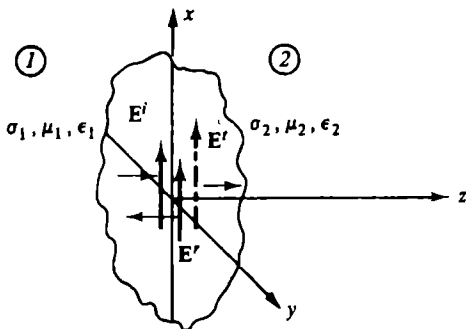
شروط الحدود للسقوط العمودي

Interface Conditions for Normal Incidence



عندما تصل موجة منتشرة إلى فاصل بين منطقتين مختلفتين فإنها تتعكس جزئياً وتتفقد جزئياً، وتتحدد قيم هذين الجزيئين عن طريق ثوابت المنطقتين. شكل 5-4 يوضح موجة منتشرة تصل إلى سطح التقابل $z = 0$ من المنطقة 1 ($0 < z$). الموجات

الساقطة E^i وال WAVES المنشورة E' س يتم حسابها عند $z = 0^-$. الموجة النافذة في المنطقة 2 ($z > 0$) س يتم حسابها عند $z = 0^+$. يفترض أن يكون السقوط عمودي (إلى أن الموجة تنتشر في اتجاه عمودي على سطح التقابض)



شكل 5-4 سقوط عمودي لwave على حدود مستوية

المعادلات E و H يمكن كتابتها كما يلى

$$E^i(z, t) = E_0^i e^{-\gamma_1 z} e^{j\omega t} \mathbf{a}_x$$

$$E'(z, t) = E_0' e^{\gamma_1 z} e^{j\omega t} \mathbf{a}_x$$

$$E''(z, t) = E_0'' e^{-\gamma_2 z} e^{j\omega t} \mathbf{a}_x$$

$$H^i(z, t) = H_0^i e^{-\gamma_1 z} e^{j\omega t} \mathbf{a}_y$$

$$H'(z, t) = H_0' e^{\gamma_1 z} e^{j\omega t} \mathbf{a}_y$$

$$H''(z, t) = H_0'' e^{-\gamma_2 z} e^{j\omega t} \mathbf{a}_y$$

يمكن أخذ أحد التوابع الستة في الغالب E ليكون مقداراً حقيقياً. تحت شروط الحدود التي سوف يتم استنتاجها سوف يكون ثابت أو أكثر مقداراً مركباً.

مع السقوط العمودي فإن E و H يكونان مماسان تماماً بالنسبة لسطح التقابض، وبناء على شروط الحدود (الفصل الرابع) فإنهما يكونان مستمراً. عند $z = 0$ هذا يعطى

$$E_0^i + E_0^r = E_0^i, \quad H_0^i - H_0^r = H_0^i$$

إضافة إلى ذلك فإن النسبة للممانعة الذاتية للموجات تساوى $\pm E_r/H_r$ وهي

$$\frac{E_0^i}{H_0^i} = \eta_1, \quad \frac{E_0^r}{H_0^r} = -\eta_1, \quad \frac{H_0^i}{H_0^r} = \eta_2$$

باستخدام المعادلات الخمس أعلاه يمكن استنتاج النسب الآتية

$$\Gamma_E = \frac{E_0^r}{E_0^i} = \frac{\eta_2 - \eta_1}{\eta_2 + \eta_1}, \quad \Gamma_H = \frac{H_0^r}{H_0^i} = \frac{\eta_1 - \eta_2}{\eta_2 + \eta_1} \quad (10)$$

$$T_E = \frac{E_0^i}{E_0^r} = \frac{2\eta_2}{\eta_2 + \eta_1}, \quad T_H = \frac{H_0^i}{H_0^r} = \frac{2\eta_1}{\eta_2 + \eta_1} \quad (11)$$

حيث Γ_s و T_s هما معامل الانعكاس ومعامل النفاذ على الترتيب. المعاوقة الذاتية معرفة بالمعادلة (8) و (9).

مثال 5.2 موجة منتشرة E و H في وسط حر (منطقة 1) تسقط عمودية على سطح تقابل مع عازل مثالي (منطقة 2، $\sigma_2 = 0$) ولها $\epsilon_2 = 3.0$. قارن بين قيم الموجات الساقطة والمنعكسة لـ E و H عند سطح التقابض.

Example 5.2 Traveling E and H waves in free space (region 1) are normally incident upon a planar interface with a perfect dielectric (region 2, $\sigma_2 = 0$) for which $\epsilon_{r2} = 3.0$. Compare the magnitudes of the incident, reflected and transmitted E and H waves at the interface.

الحل: القيم تعطى عن طريق معامل الانعكاس ومعامل النفاذ من (10) و (11).

$$\eta_1 = \eta_0 = 120\pi \Omega, \quad \eta_2 = \sqrt{\frac{\mu}{\epsilon}} = \frac{120\pi}{\sqrt{\epsilon_{r2}}} = 217.7 \Omega$$

$$\frac{E_0^r}{E_0^i} = \frac{\eta_2 - \eta_1}{\eta_2 + \eta_1} = -0.268, \quad \frac{H_0^r}{H_0^i} = \frac{\eta_1 - \eta_2}{\eta_2 + \eta_1} = 0.268$$

$$\frac{E_0^i}{E_0^r} = \frac{2\eta_2}{\eta_2 + \eta_1} = 0.732, \quad \frac{H_0^i}{H_0^r} = \frac{2\eta_1}{\eta_2 + \eta_1} = 1.268$$

عندما تنتشر الموجة في عازل ($\sigma_1 = \sigma_2 = \infty$) وتسقط على موصل مثالي،
 $\eta_1 = \eta_2 = 0$ ، باتحاد الموجة المنعكسة مع الموجة الساقطة تنتج موجة واقفة Standing Waves مثل هذه الموجة تم وصفها عن طريق حبل مشدود ومثبت، الاهتزازات لكل النقط في نصف طول الموجة تنتشر في طور زمني واحد. محصلة جمع الموجات الساقطة والمنعكسة يمكن أن تكتب

$$\mathbf{E}(z,t) = [E_0^i e^{j(\omega t - \beta z)} + E_0^r e^{j(\omega t + \beta z)}] \mathbf{a}_x = e^{j\omega t} (E_0^i e^{-j\beta z} + E_0^r e^{j\beta z}) \mathbf{a}_x$$

حيث أن $0 = \eta_2$ لذلك $E_0^r/E_0^i = -1$ و

$$\mathbf{E}(z,t) = e^{j\omega t} (E_0^i e^{-j\beta z} - E_0^i e^{j\beta z}) \mathbf{a}_x = -2jE_0^i \sin \beta z e^{j\omega t} \mathbf{a}_x$$

أو بأخذ الجزء الحقيقي

$$\mathbf{E}(z,t) = 2E_0^i \sin \beta z \sin \omega t \mathbf{a}_x$$

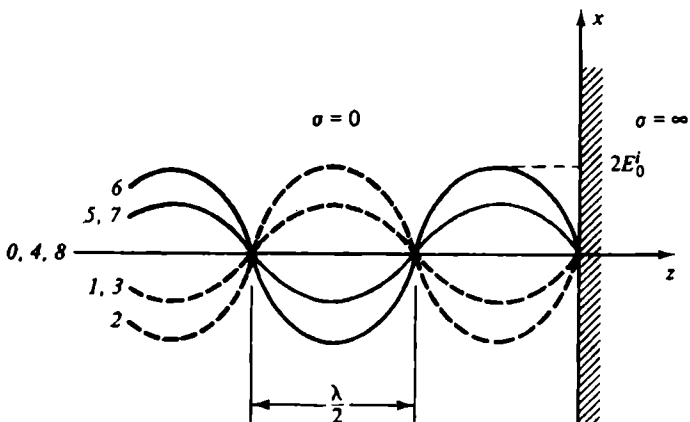
شكل 5-5 يبين الموجة الواقفة لفترات زمنية $T/8$ حيث $T = 2\pi/\omega$ زمن الدورة الواحدة. عندما $t = 0$ يكون $\mathbf{E} = 0$ في كل مكان؛ عند $t = 1(T/8)$ فإن نقطتها النهاية للتجه \mathbf{E} تقع على المنحنى 1، عند $t = 2(T/8)$ فإن نقطتها النهاية للتجه \mathbf{E} تقع على المنحنى الجيبى 2 وهكذا. حيث أن المنحنى 2 والمنحنى 6 يشكلان الغلاف الخارجى للاهتزازات، قيمة هذا الغلاف هى ضعف قيمة الموجة الساقطة. يلاحظ أن قطاعات نصف الموجة المتباورة تكون زاوية 180° مع بعضها.

السقوط المائل وقوانين سنيل

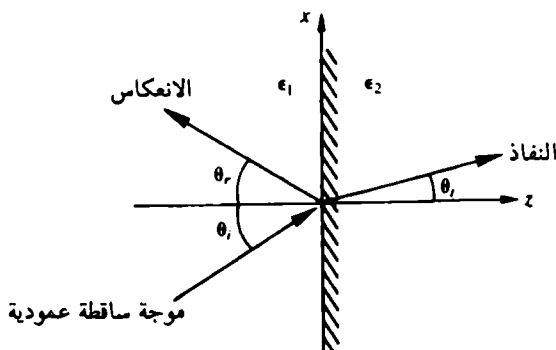
Oblique Incidence and Snell's Laws

عندما تقترب موجة ساقطة من سطح التقابل بين وسطين مختلفين فإنه يتبع عن هذا موجة نافذة في الوسط الثانى وموجة منعكسة في الوسط الأول.

مستوى السقوط Plane of Incidence هو المستوى الذى يمر باتجاه انتشار الموجة العمودى على سطح التقابل. مستوى السقوط بشكل 5-6 هو المستوى $z=0$. اتجاه انتشار الموجة المنعكسة والنافذة تقع أيضًا على مستوى السقوط.



شكل 5-5 الموجات الواقفة لسقوط موجة عمودي



شكل 5-6 السقوط المايل للموجة

زاوية السقوط θ_i , زاوية الانعكاس θ_r , وزاوية النفاذ θ_t كلها مبينة بشكل 5-6 وت تخضع لقانون سنيل للانعكاس

$$\theta_i = \theta_r \quad (12)$$

وقانون سنيل للانكسار

$$\frac{\sin \theta_i}{\sin \theta_r} = \sqrt{\frac{\mu_2 \epsilon_2}{\mu_1 \epsilon_1}} \quad (13)$$

مثال 5.3 موجة تسقط بزاوية 30° من هواء إلى مادة التفلون $\epsilon_r = 2.1$ teflon. أوجد زاوية النفاذ وكرر المطلوب عند استبدال الوسطين ببعضهما. السماحية لكل وسط هي μ_0 .

Example 5.3 A wave is incident at an angle of 30° from air to teflon, $\epsilon_r = 2.1$. Calculate the angle of transmission and repeat with an interchange of the regions. The permeability of both regions is μ_0 .

الحل: باستخدام قانون سنيل للانكسار (13)

$$\frac{\sin \theta_i}{\sin \theta_r} = \frac{\sin 30^\circ}{\sin \theta_r} = \sqrt{\frac{\epsilon_{r2}}{\epsilon_{r1}}} = \sqrt{2.1} \quad \text{or} \quad \theta_r = 20.18^\circ$$

من التفلون إلى الهواء

$$\frac{\sin \theta_i}{\sin \theta_r} = \frac{\sin 30^\circ}{\sin \theta_i} = \sqrt{\frac{\epsilon_{r2}}{\epsilon_{r1}}} = \frac{1}{\sqrt{2.1}} \quad \text{or} \quad \theta_i = 46.43^\circ$$

بفرض أن الوسطين لهما نفس السماحية وعندما يكون الانتشار من الوسط الأكثف ضوئياً ($\epsilon_2 > \epsilon_1$) يتضح أن $\theta_r > \theta_i$. عندما تزداد θ_i فإننا نصل إلى زاوية سقوط عندها تكون $\theta_i = 90^\circ$. عند هذه الزاوية الحرجة للسقوط فإنه بدلاً من نفاذ الموجة إلى الحيز الشانى سنجد موجة تنتشر على السطح الزاوية الحرجة Critical Angle تعطى كما يلى

$$\theta_c = \sin^{-1} \sqrt{\frac{\epsilon_{r2}}{\epsilon_{r1}}} \quad (14)$$

مثال 5.4 ما هي الزاوية الحرجة لمواarde تنتشر من تفلون إلى الفراغ الحر؟

Example 5.4 What is the critical angle for a wave propagating from teflon into free space?

الحل: باستخدام (14)

$$\theta_c = \sin^{-1} \frac{1}{\sqrt{2.1}} = 43.64^\circ$$

في حالة السقوط المائي إذا كانت E في اتجاه موازٍ لمستوى السقوط فإنه يمكن إيجاد زاوية تنعدم عندها الموجة المنعكسة.

زاوية بروستر Brewster Angle التي عندها ينعدم الانعكاس هي

$$\theta_B = \tan^{-1} \sqrt{\frac{\epsilon_{r2}}{\epsilon_{r1}}} \quad (15)$$

مثال 5.5 ما هي زاوية بروستر لمواarde تنتشر من الهواء إلى الزجاج الذي له $\epsilon_r = 5.0$

Example 5.5 What is the Brewster angle for a wave traveling from air into glass for which $\epsilon_r = 5.0$?

الحل: باستخدام (15)

$$\theta_B = \tan^{-1} \sqrt{5.0} = 65.91^\circ$$

أشياء هامة للتدبر

- ✓ الموجات المستوية لها كل من E و H متوازيان على اتجاه الانتشار.
- ✓ في المواد الموصلة ($\sigma \neq 0$)، العمق السطحي δ هو المسافة التي عندما تقل قيمة الموجة المستوية إلى 37 % من القيمة الأصلية.
- ✓ للوسطين بصفة عامة الموجة الساقطة ينشأ عنها موجة منعكسة ومواarde نافذة.
- ✓ لمسائل السقوط المائي، قوانين سهل تحكم زوايا الانعكاس والتعادل.

Solved Problems

مسائل محلولة

مسألة محلولة 5.1 في الفراغ الحر $E = 10^3 \sin(\omega t - \beta z) \mathbf{a}_y$ V/m أوجد $\mathbf{H}(z, t)$

Solved Problem 5.1 In free space, $\mathbf{E} = 10^3 \sin(\omega t - \beta z) \mathbf{a}_y$ V/m. Obtain $\mathbf{H}(z, t)$.

الحل: بفحص الزاوية $\omega t - \beta z$ يتبين أن اتجاه الانتشار هو $z+$. حيث أن $\mathbf{E} \times \mathbf{H}$ لا بد أن يكون في اتجاه \mathbf{a}_x وعليه

$$\frac{E_y}{-H_x} = \eta_0 = 120\pi \Omega \quad \text{or} \quad H_x = -\frac{10^3}{120\pi} \sin(\omega t - \beta z) \text{ A/m}$$

وأيضاً

$$\mathbf{H} = -\frac{10^3}{120\pi} \sin(\omega t - \beta z) \mathbf{a}_x \text{ A/m}$$

مسألة محلولة 5.2 احسب الممانعة الذاتية η وثابت الانتشار γ وسرعة الموجة u لوسيط موصل له $f = 100 \text{ MHz}$, $\mu_r = 1$, $\sigma = 5.8 \times 10^7 \text{ S/m}$ والتردد

Solved Problem 5.2 Calculate the intrinsic impedance η , the propagation constant γ and the wave velocity u for a conducting medium in which $\sigma = 5.8 \times 10^7 \text{ S/m}$, $\mu_r = 1$ and the frequency is $f = 100 \text{ MHz}$.

الحل: لموصل جيد

$$\eta = \sqrt{\frac{\omega \mu}{\sigma}} \angle 45^\circ = 3.69 \times 10^{-3} \angle 45^\circ \Omega$$

$$\gamma = \sqrt{\omega \mu \sigma} \angle 45^\circ = 2.14 \times 10^5 \angle 45^\circ \text{ m}^{-1}$$

$$\alpha = \beta = 1.51 \times 10^5, \quad \delta = \frac{1}{\alpha} = 6.61 \mu\text{m}, \quad u = \omega \delta = 4.15 \times 10^3 \text{ m/s}$$

مسألة محلولة 5.3 موجة مستوية منتشرة في اتجاه $z+$ في فراغ حر ($z < 0$) $\mu_r = 1$, $\sigma = 6.17 \times 10^7 \text{ S/m}$ الذي له تسقط عمودية على موصل ($z > 0$)

وإذا كان التردد $f = 1.5 \text{ MHz}$ قيمة E في الفراغ 1.0 V/m عند سطح التقابل و E في الفراغ تعطى بـ

$$\mathbf{E}(0,t) = 1.0 \sin 2\pi ft \mathbf{a}_y \quad \text{V/m}$$

أوجد $\mathbf{H}(z,t)$ لـ $z > 0$.

Example 5.3 A wave is incident at an angle of 30° from air to teflon, $\epsilon_r = 2.1$. Calculate the angle of transmission and repeat with an interchange of the regions. The permeability of both regions is μ_0 .

$$\mathbf{E}(0,t) = 1.0 \sin 2\pi ft \mathbf{a}_y \quad \text{V/m}$$

find $\mathbf{H}(z,t)$ for $z > 0$.

الحل: لـ $z > 0$ وبالصيغة المركبة،

$$\mathbf{E}(z,t) = 1.0 e^{-\alpha z} e^{j(2\pi ft - \beta z)} \mathbf{a}_y \quad \text{V/m}$$

حيث تم اختيار الجزء التخييلي لـ E . داخل الموصل

$$\alpha = \beta = \sqrt{\pi f \mu \sigma} = \sqrt{\pi (1.5 \times 10^6) (4\pi \times 10^{-7}) (61.7 \times 10^6)} = 1.91 \times 10^4$$

$$\eta = \sqrt{\frac{\omega \mu}{\sigma}} \angle 45^\circ = 4.38 \times 10^{-4} e^{j\pi/4} \Omega$$

ثم، بما أن $E_y / (-H_x) = \eta$

$$\mathbf{H}(z,t) = -2.28 \times 10^3 e^{-\alpha z} e^{j(2\pi ft - \beta z - \pi/4)} \mathbf{a}_x \quad \text{A/m}$$

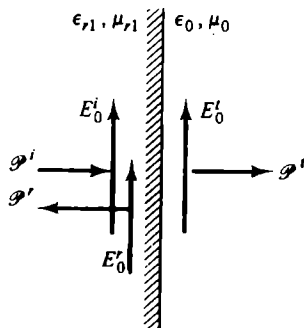
أو باخذ الجزء التخييلي

$$\mathbf{H}(z,t) = -2.28 \times 10^3 e^{-\alpha z} \sin(2\pi ft - \beta z - \pi/4) \mathbf{a}_x \quad \text{A/m}$$

مسألة محلولة 5.4 احسب قيمة الانعكاس والنفاذ لـ E و H عند سطح التقابل المبين بشكل 5-7 إذا كان $E_0 = 1.5 \times 10^3$ في الوسط 1 الذي له

أما الوسط 2 فهو فراغ حر. افرض أن السقوط عمودي.

Solved Problem 5.4 Determine the amplitudes of the reflected and transmitted \mathbf{E} and \mathbf{H} at the interface shown in Figure 5-7 if $E_0^i = 1.5 \times 10^{-3}$ in region 1 in which $\epsilon_{r1} = 8.5$, $\mu_1 = 1$ and $\sigma_1 = 0$. Region 2 is free space. Assume normal incidence.



شكل 5-7 سقوط عمودي لوجة مستوية

الحل: بحساب معامل الانعكاس ومعامل النقاد

$$\eta_1 = \sqrt{\frac{\mu_0 \mu_{r1}}{\epsilon_0 \epsilon_{r1}}} = 129 \Omega \quad \eta_2 = 120\pi \Omega = 377 \Omega$$

$$E'_0 = \frac{\eta_2 - \eta_1}{\eta_2 + \eta_1} E_0^i = 7.35 \times 10^{-4} \text{ V/m}$$

$$E'_0 = \frac{2\eta_2}{\eta_2 + \eta_1} E_0^i = 2.24 \times 10^{-3} \text{ V/m}$$

$$H'_0 = \frac{E'_0}{\eta_1} = 1.16 \times 10^{-5} \text{ A/m}$$

$$H'_0 = \frac{\eta_1 - \eta_2}{\eta_1 + \eta_2} H_0^i = -5.69 \times 10^{-6} \text{ A/m}$$

$$H'_0 = \frac{2\eta_1}{\eta_1 + \eta_2} H_0^i = 5.91 \times 10^{-6} \text{ A/m}$$

عصير الكتب
www.ibtesama.com/vb
منتدى مجلة الإبتسامة

الفصل السادس

خطوط النقل

Transmission Lines

في هذا الفصل:

- ✓ العناصر الموزعة ونماذج خطوط النقل
- ✓ التغذية بجهد جيبي مستقر
- ✓ تحليل خريطة سميث
- ✓ الموجات العابرة على الخطوط عديمة الفقد
- ✓ مسائل محلولة

الانتشار غير المتوجه للموجات الكهرومغناطيسية تم بحثه في الفصل 5. في هذا الفصل سوف يتم دراسة انتقال الطاقة عندما توجه عن طريق موصلين في وسط عازل. التحليل الدقيق لخطوط النقل المكونة من موصلين يتطلب استخدام نظرية المجالات. ومع ذلك يمكن توقع أداء النظام عن طريق تمثيل خطوط النقل بعناصر موزعة واستخدام الجهد والتيارات المعاوقة للمجالين الكهربائي والمغناطيسي. في مسائل هذا الفصل سيتم فرض أن العناصر ثابتة على طول الخط.

العناصر الموزعة ونماذج خطوط النقل

Distributed Parameters and Transmission Line Models

العناصر المتزايدة الموزعة لوحدة الطول للخط هي المحاثة Inductance، السعة Capacitance، المقاومة Resistance للموصل، والمواصلة للوسط العازل. بصفة عامة فإن هذه العناصر تعتمد على الشكل الهندسي وخصائص المواد وفي بعض الحالات تعتمد على التردد. في بيان الملخص التالي الاعتماد على الشكل الهندسي ويمكن تمثيل هذا الاعتماد على الشكل بمعامل الشكل "GF".

$$\text{السعة: } C = \pi \epsilon_d (\text{GF}) \text{ F/m}$$

$$\text{المواصلة: } G = \frac{C}{\epsilon_d} \sigma_d \text{ S/m}$$

معامل الحث (الخارجي):

$$L_e = \frac{\mu_d}{\pi} (\text{GF}_L) \text{ H/m} \quad [\mu_d \text{ السماحية للعازل}]$$

مقاومة التيار المستمر DC (تستعمل حتى حوالي 10 KHz):

$$R_{dc} = \frac{1}{\sigma_c \pi} (\text{GF}_{RDC}) \Omega/m \quad [\sigma_c \text{ التوصيلية للموصل}]$$

مقاومة التيار المتفاوت AC (تستعمل لأكثر من حوالي 10 KHz):

$$R_{ac} = \frac{1}{2\pi\sigma_c \delta} (\text{GF}_{RAC}) \Omega/m \quad \left[\delta = \frac{2}{\sqrt{\pi f \mu_c \sigma_c}} \equiv \text{skin depth} \right]$$

معامل الحث (الداخلي):

$$L_i = \begin{cases} R_{ac} / 2\pi f & \text{H/m for } f > 10 \text{ kHz} \\ \mu_0 / 4\pi & \text{H/m for } f < 10 \text{ kHz} \end{cases}$$

معامل الحث الكلى : $L_e = L_i \approx L$ لمعظم التطبيقات العملية.

معامل الشكل لخطوط النقل الثلاثة المعروفة هو كما يلى:

كابل محورى (نصف القطر الداخلى a ، والخارجي b ، سُمك الموصى بالخارجي t):

$$GF_C = \frac{2}{\ln(b/a)}, \quad GF_L = \frac{1}{GF_C}$$

$$GF_{RDC} = \frac{1}{a^2} + \frac{1}{t(b+t)}, \quad GF_{RAC} = \frac{1}{a} + \frac{1}{b} \quad \text{for } t \gg \delta$$

خط نقل ذو سلكين متوازيين (نصف القطر a ، المسافة بينهما d):

$$GF_C = \frac{1}{GF_L}, \quad GF_L = \cosh^{-1} \frac{d}{2a} \approx \ln \frac{d}{a} \quad \text{for } d \gg a$$

$$GF_{RDC} = \frac{2}{a^2}, \quad GF_{RAC} = \frac{2}{a}$$

لوحين متوازيين (عرض اللوح w وسمكه t ، والمسافة بين اللوحين d)

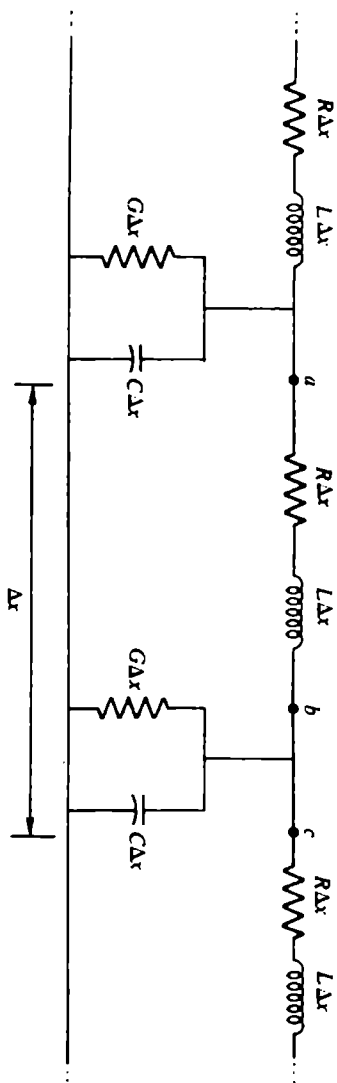
$$GF_C = \frac{w}{\pi d}, \quad GF_L = \frac{1}{GF_C}$$

$$GF_{RDC} = \frac{2\pi}{wt}, \quad GF_{RAC} = \frac{4\pi}{w} \quad \text{for } t \gg \delta$$

النموذج للخط مبين بشكل 6-1، حيث R ، L ، G ، C كما هو معطى أعلاه، يسمح النموذج لتحليل الخط باستخدام الجهود والتياريات. الجهد عبر الخط لشريحة طولها Δx عند النقاطين a ، b يتغير عن طريق

$$\Delta v(x, t) = (R\Delta x)i(x, t) + (L\Delta x)\frac{\partial i(x, t)}{\partial t}$$

عندما $\Delta x \rightarrow 0$ تصبح المعادلة



شكل ٦-١ نموذج دائرة لخط تقل

$$\frac{\partial v(x,t)}{\partial x} = R i(x,t) + L \frac{\partial i(x,t)}{\partial t} \quad (1)$$

بالمثل التيار عند النقطة c يتغير عن b عن طريق

$$\Delta i(x,t) = (G\Delta x)v(x,t) + (C\Delta x)\frac{\partial v(x,t)}{\partial t}$$

والذى يعطى بعدأخذ 0

$$\frac{\partial i(x,t)}{\partial x} = Gv(x,t) + C\frac{\partial v(x,t)}{\partial t} \quad (2)$$

المعادلة (1) و (2) هى معادلات خط النقل. من المعادلة (1) و (2) يمكن استنتاج مجموعة من معادلات الدرجة الثانية

$$\frac{\partial^2 f(x,t)}{\partial x^2} = RGf(x,t) + (RC + LG)\frac{\partial f(x,t)}{\partial t} + LC\frac{\partial^2 f(x,t)}{\partial t^2} \quad (3)$$

حيث $f(x,t) = i(x,t)$ أو $v(x,t)$. الآن المعادلة (3) من الدوال الزائدية مثل المعادلة الموجية. لخط نقل عديم الفقد ($R = G = 0$), المعادلة (3) هى معادلة موجية مقياسية أحادية البعاد مثل التى سبق دراستها فى فصل 5. على ذلك يكون معرفاً مسبقاً أن خطوط النقل تساند موجات الجهد والتيار والتى يمكن أن ترتد أو تنتشر عند نقاط عدم الاستمرارية على الخط (موقع يحدث عندها تغير فجائى فى العناصر).

التغذية بجهد جيبى مستقر

Sinusoidal Steady State Excitation

عند تغذية خط نقل كالمبين بشكل 1-6 لمدة طويلة بمنبع جيبى (له تردد زاوي ω) يصبح الجهد والتيار أيضاً لهما تغير جيبى بنفس التردد:

$$v(x,t) = \operatorname{Re}[\hat{V}(x)e^{j\omega t}], \quad i(x,t) = \operatorname{Re}[\hat{I}(x)e^{j\omega t}]$$

هنا الأطوار $(\hat{V}(x))$ و $(\hat{I}(x))$ تكون بصفة عامة قيماً مركبة وكثيراً ما تكتب على الصورة القطبية (مع إخفاء الاعتماد على x) مثل

$$\hat{V} = |\hat{V}| \angle \phi_V, \quad \hat{I} = |\hat{I}| \angle \phi_I$$

حيث ϕ الزاوية بين الطور المركب والمحور الحقيقي. يمكن تبسيط تحليل خط النقل تحت التغذية المستقرة عندما تستبدل الجهدات والتيارات بقيم الطور المناظر.

شكل 6-2 يبين نموذج لخط منتظم طوله ℓ وينتهي (قيم مركبة) بحمل معاوقة Z_R عند جهة الاستقبال ويغذى من جهة الإرسال بمنبع له معاوقة داخلية Z_g وطور الجهد $\hat{V}_g = V_{gm} \angle \theta$. معاوقة التوازي ومسامحة التوازي لوحدة الطول للخط تعطى كما يلى

$$Z = R + j\omega L, \quad Y = G + j\omega C$$

ملاحظة!

المسافة من جهة الاستقبال تقيس بالمتغير x ، ومن جهة الإرسال بـ d . هذا الاختيار سيعطي خلال هذا الفصل

باستخدام التحليل الطوري تصبح المعادلات (1)، (2)، (3) معادلات تفاضلية لـ \hat{V} و \hat{I} .

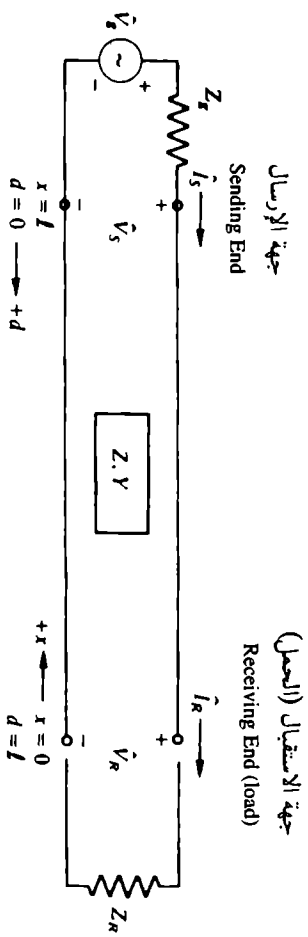
$$\frac{d\hat{V}(x)}{dx} = Z \hat{I}(x) \quad (4)$$

$$\frac{d\hat{I}(x)}{dx} = Y \hat{V}(x) \quad (5)$$

$$\frac{d^2\hat{F}(x)}{dx^2} = \gamma^2 \hat{F}(x) \quad (6)$$

الإرسال
Transmitting

الاستقبال (الحمل)
Receiving End (load)



شكل 6-2 تدريبية جيوبية لخط النقل

حيث $\gamma = \sqrt{ZY} = \alpha + j\beta$ ويختار الجذر التربيعي لتكون α و β غير سالبة. المعادلة (6) مطابقة في الشكل لمعادلة الموجة المستوية (فصل 5). ولها حل على صورة موجة منتشرة (x المسافة المقاومة من الحمل)

$$\hat{V}(x) = \hat{V}^+ e^{\gamma x} + \hat{V}^- e^{-\gamma x} \equiv \hat{V}_{inc}(x) + \hat{V}_{refl}(x)$$

$$\hat{I}(x) = \hat{I}^+ e^{\gamma x} + \hat{I}^- e^{-\gamma x} \equiv \hat{I}_{inc}(x) + \hat{I}_{refl}(x)$$

المعاملات \hat{V}^+ , \hat{V}^- تكون أطواراً مركبة لا تعتمد على x وهناك علاقة بين هذه المعاملات عن طريق المعاوقة الذاتية Z_0 ومعامل الانعكاس عند الحدود Γ_R ويُعرفان كما يلى

$$Z_0 \equiv \frac{\hat{V}^+}{\hat{I}^+} = - \frac{\hat{V}^-}{\hat{I}^-} = \sqrt{\frac{Z}{Y}}$$

$$\Gamma_R \equiv \frac{\hat{V}^-}{\hat{V}^+} = - \frac{\hat{I}^-}{\hat{I}^+} = \frac{\hat{V}_{refl}(0)}{\hat{V}_{inc}(0)}$$

من السهل التعبير عن Γ_R بدلالة المعاوقة المميزة ومعاؤقة الحمل

$$\Gamma_R = \frac{Z_R - Z_0}{Z_R + Z_0}$$

ثم، عند تعريف معامل الانعكاس عند نقطة معينة بالآتى

$$\Gamma(x) = \frac{\hat{V}_{refl}(x)}{\hat{V}_{inc}(x)}$$

فإنه

$$\Gamma(x) = \Gamma_R e^{-2\gamma x} = \frac{Z_R - Z_0}{Z_R + Z_0} e^{-2\gamma x}$$

بالمثل إذا كان $Z(x) = \hat{V}(x)/\hat{I}(x)$ هي المعاوقة عند نقطة ناظراً في اتجاه جهة الاستقبال $x = 0$ ، لذلك

$$Z(x) = Z_0 \frac{1 + \Gamma(x)}{1 - \Gamma(x)}$$

الشروط من جهة الإرسال (مرة ثانية، تستخدم x كتعبير عن المسافة وتقاس من جهة الاستقبال) هي

$$Z_S \equiv Z(\ell) = Z_0 \frac{1 + \Gamma(\ell)}{1 - \Gamma(\ell)}$$

$$\hat{V}_S = \hat{V}_g \frac{Z_S}{Z_S + Z_g}$$

$$\hat{I}_S = \frac{\hat{V}_S}{Z_S}$$

القدرة المتوسطة التي يستقبلها الحمل والقدرة المتوسطة المرسلة من جهة الإرسال تكون حساباتها كالتالي:

$$\begin{aligned} P_R &= \frac{1}{2} \operatorname{Re}(\hat{V}_R \hat{I}_R^*) = \frac{1}{2} |\hat{I}_R|^2 \operatorname{Re}(Z_R) \\ &= P_{inc}(x=0) - P_{refl}(x=0) \\ P_S &= \frac{1}{2} \operatorname{Re}(\hat{V}_S \hat{I}_S^*) = \frac{1}{2} |\hat{I}_S|^2 \operatorname{Re}(Z_S) \end{aligned}$$

عند الترددات التي عندها $R \ll \omega C$ و $G \ll \omega L$ (أى تردد أكبر من 1 MHz).

$$Z_0 = \sqrt{\frac{R + j\omega L}{G + j\omega C}} \approx \sqrt{\frac{L}{C}} = R_0$$

$$\gamma = \sqrt{(R + j\omega L)(G + j\omega C)} = \left(\frac{R}{2R_0} + \frac{GR_0}{2} \right) + j\omega\sqrt{LC} = \alpha + j\beta$$

$$u = \frac{1}{\sqrt{LC}} \quad \text{and} \quad \lambda = \frac{2\pi}{\beta} \approx \frac{1}{f\sqrt{LC}}$$

لخط مثالي عديم الفقد ($R = G = 0$) يكون مقياس معامل الانعكاس ثابت القيمة

$$\Gamma(x) = \Gamma_R e^{-j2\beta x} = \left| \frac{Z_R - R_0}{Z_R + R_0} \right| \angle (\phi_R - 2\beta x)$$

حيث ϕ_R هي زاوية Γ_R . يعطى الجهد بما يلى

$$\hat{V}(x) = \hat{V}^+ [1 + \Gamma_R \angle (-2\beta x)]$$

والتي تتضمن

$$|\hat{V}|_{\max} = |\hat{V}^+| (1 + |\Gamma_R|), \quad |\hat{V}|_{\min} = |\hat{V}^+| (1 - |\Gamma_R|)$$

المسافة بين قيمة عظمى للجهد تبعها قيمة صغرى هي 90° أى ربع طول الموجة

✓ يجب أن تعرف

للموجة الكلية تُعرف نسبة الموجة الواقعه للجهد، VSWR بالاتى

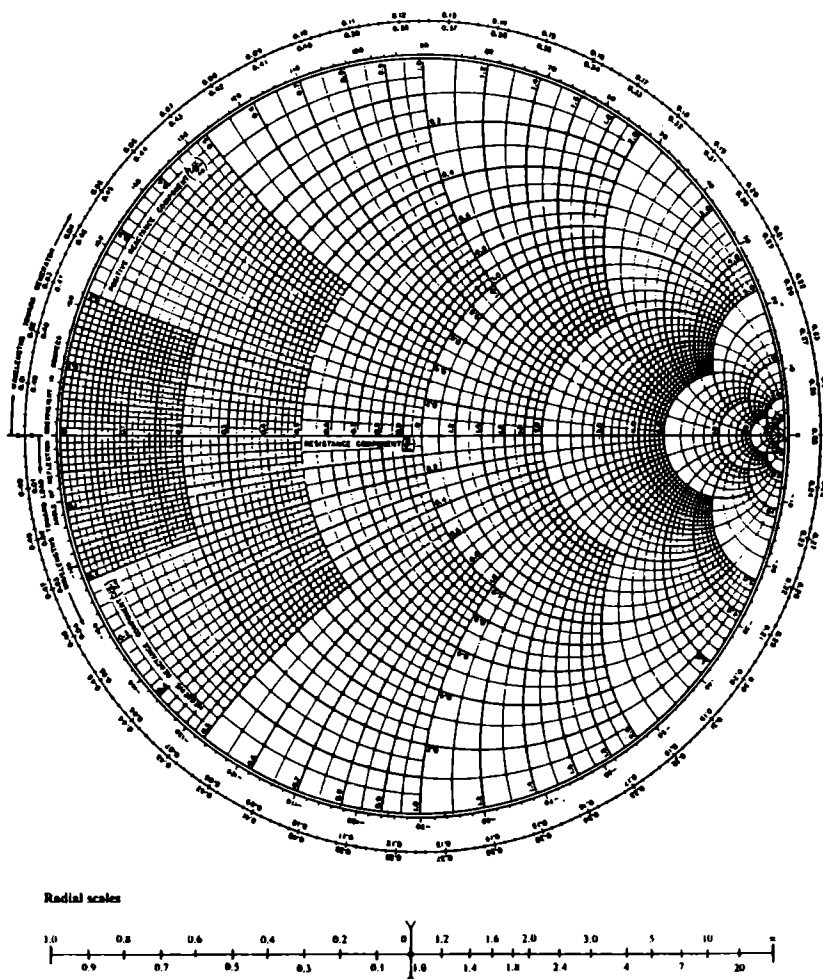
$$VSWR = \frac{|\hat{V}|_{\max}}{|\hat{V}|_{\min}} = \frac{1 + |\Gamma_R|}{1 - |\Gamma_R|}$$

Smith Chart Analysis

تحليل خريطة سميث

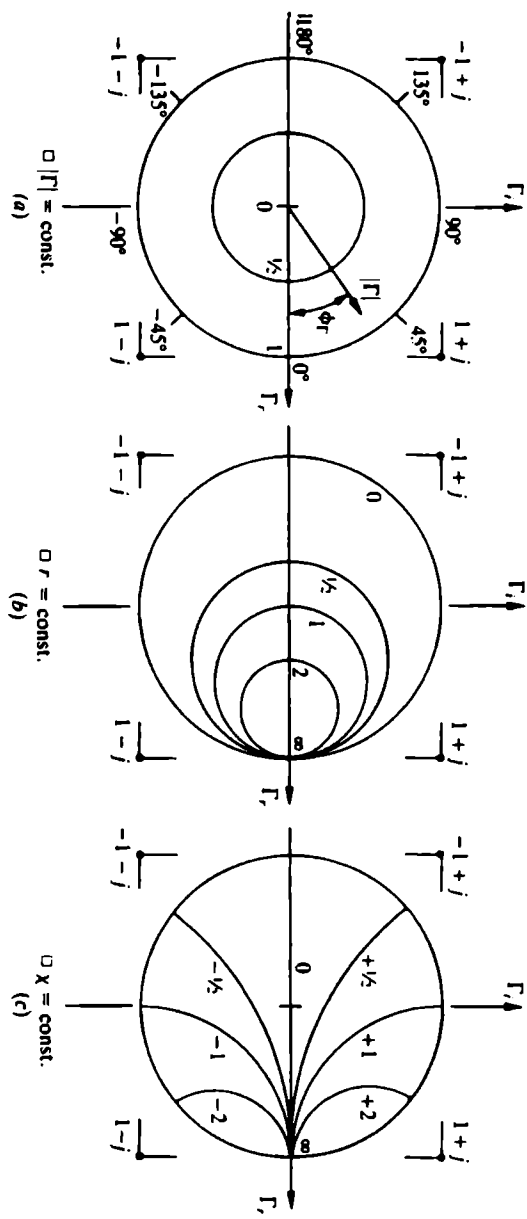
خريطة سميث (شكل 3-6) هي خريطة تخطيطية تساعد في حل مسائل خطوط التردد العالى. الخريطة فى جوهرها تخطيط على الصورة القطبية لمعامل الانعكاس بدلالة المعاوقة النسبية (x):

$$z(x) = \frac{Z(x)}{R_0} = r(x) + j\chi(x) = \frac{1 + \Gamma(x)}{1 - \Gamma(x)}$$



نسبة الموجة الواقعة للجهد المقياسي
لقياس VSWR على مقياس
 $R > 1$
قيمة معامل الانعكاس
التقسيم الخطى لـ Γ
من 0 حتى 1.0

شكل ٦-٣ خريطة سميث



شكل ٦-٤ دوائر التقىء الثابتة لخريطة سميث

$$\Gamma(x) = \Gamma_R \angle(-2\beta x) = \left| \frac{r_0 + j\chi_0 - 1}{r_0 + j\chi_0 + 1} \right| \angle(\phi_R - 2\beta x) \equiv \Gamma_r + j\Gamma_i \quad (\text{for } \alpha = 0)$$

حيث $r_0 = r(0)$ و $\chi_0 = \chi(0)$. فى مستوى معامل الانعكاس المركب Γ ، المنحنيات لقيم Γ الثابتة هي دوائر [شكل (a)]. منحنيات قيم r الثابتة أيضاً دوائر [شكل (b)]. منحنيات القيم χ الثابتة هي أقواس دائيرية [شكل (c)]. جدول 6-1 يبين بعض النقاط الهامة على خريطة سميث.

جدول 6-1 القيم الهامة على خريطة سميث

χ	r	Γ	حالة الخط
(oo)	قيمة اختيارية (oo)	$1/0^\circ$	دائرة - مفتوحة
0	0	$1/180^\circ$	دائرة - قصر
± 1	0	$1/\pm 90^\circ$	خط متين بمعاملة بحثة
0	1	0	خط متوافق

يمكن الحصول على الخريطة الكاملة لسميث المبينة بشكل 6-3 عن طريق انبساط شكل (b) وشكل (c) 6-4. الدوائر الخاصة بثبوت Γ غير ظاهرة وبدلأً من ذلك فإن قيم Γ التي تنظر (χ) تقرأ من على التدريج الممتد ناحية اليد اليسرى. قيمة VSWR تقرأ من على التدريج الممتد جهة اليد اليمنى. التدريجان على المحيط الخارجى خاصان بالمسافة منسوبة إلى طول الموجة.

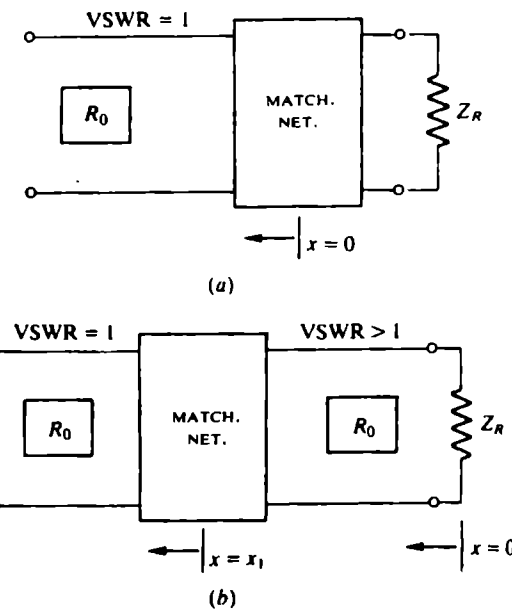
☆ ملاحظة!

التدريج المخارجي يبدأ من $(0, 0)$ ويتحرك في اتجاه المتعن مع اتجاه عقارب الساعة (هذا يعني قياس λ/d)، والتدريج الداخلى في اتجاه الحمل عكس عقارب الساعة (هذا يعني قياس d/λ).

الدورة الكاملة حول خريطة تمثل نصف طول الموجة. التدرج الثالث على المحيط الخارجي يعطي زاوية معامل الانعكاس $\phi_T = \phi_R - 2\beta x$. يمكن استخدام الخريطة أيضاً للمساحة النسبية

$$y(x) = Y(x) R_0 = g(x) + jb(x)$$

حيث دوائر r تستخدم لـ g ، وأقواس x تستخدم لـ b ، زاوية Γ لقيمة معطاة لـ y تكون $\theta_T + 180^\circ$ ، ونقطة $0 + j0$ هي حالة دائرة مفتوحة. عند الترددات العالية يكون من الضروري تشغيل الخط عند أقل VSWR (القيمة المثلثى هي 1). يمكن استعمال طرق كثيرة لموائمة العمل Z_R للخط، أو لموائمة خطوط متصلة على التعاقب وكل خط له معاوقة مميزة مختلفة. دوائر الموائمة يمكن أن توضع عند العمل ($x=0$) أو عند بعض الأماكن على الخط، $x=x_1$ ، كما بالشكل 6-5.



شكل 6-5 نظر دوائر الموائمة

تكون الشروط النسبية في المجموعتين كما يلى (شكل 6-5)

$z(0) = z_R = r_0 + jx_0; y(0) = g_0 + jb_0; VSWR > 1$ قبل المواجهة: (a)

$z(0) = 1 + j0; y(0) = 1 + j0; VSWR = 1$ بعد المواجهة:

$z(0) = r_0 + jx_0; y(0) = g_0 + jb_0; VSWR(0) > 1$ عند الحمل: (b)

قبل المواجهة: $z(x_1) = r_1 + jx_1; y(x_1) = g_1 + jb_1; VSWR = VSWR(0)$

بعد المواجهة: $z(x_1) = 1 + j0; y(x_1) = 1 + j0; VSWR = 1$

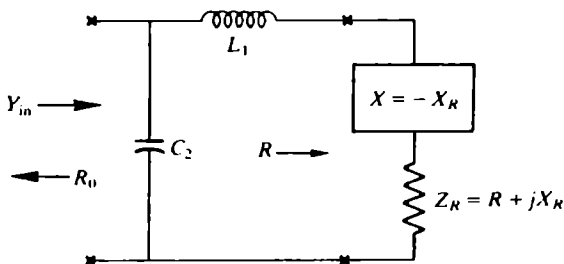
يمكن أن تصنع دوائر المواجهة لترددات (الراديو) المنخفضة من عناصر مُفَاعِلَة مجمعة قليلة الفقد، شكل 6-6 يبيّن دائرة مجمعة مكونة من دوائر $L-C$. إذا كانت Z_R لها مركبة مُفَاعِلَة ففي هذه الحالة توصل ممانعة بالتوالي لها نفس المُفَاعِلَة ولكن بإشارة مُخالفة بحيث تكون $0 \neq Z'_R = R + jX_R$. ثم لمواجهة الخط

$$Y_{in} = j\omega C_2 + \frac{1}{R + j\omega L_1} = \frac{1}{R_0}$$

أو

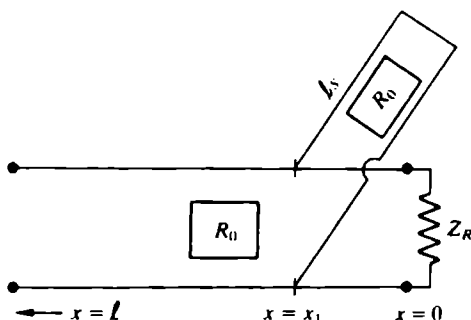
$$L_1 = \frac{1}{\omega} \sqrt{R(R_0 - R)} \quad \text{and} \quad C_2 = \frac{L_1}{R R_0}$$

إذا كان $R_0 > R$ فإن المكثف يجب أن يوصل على الناحية الأخرى من الملف.



شكل 6-6 المواجهة باستخدام عناصر مُفَاعِلَة

لتقليل الفقد عند الترددات العالية يستخدم جزء من خط بطول معين ويكون مفتوحاً أو مقصوراً عند نهايته وذلك لموائمة الخط الرئيسي. للوصول إلى ذلك يمكن استخدام موائمة فردية. الشكل الهندسى المبين بشكل 6-7 يستخدم موائمة فردية مقصورة.



شكل 6-7 موائمة فردية

للحصول على الموائمة

$$(1) \text{ أوجد } x_1 \text{ بحيث } y(x_1) = 1 + jb_1$$

$$(2) \text{ أوجد } \ell_s \text{ بحيث } y(\ell_s) = 0 - jb_1$$

بعد الموائمة، $y(0) = 1 + jy(x_1)$ و $\text{VSWR} = 1 / |y(x_1)|$

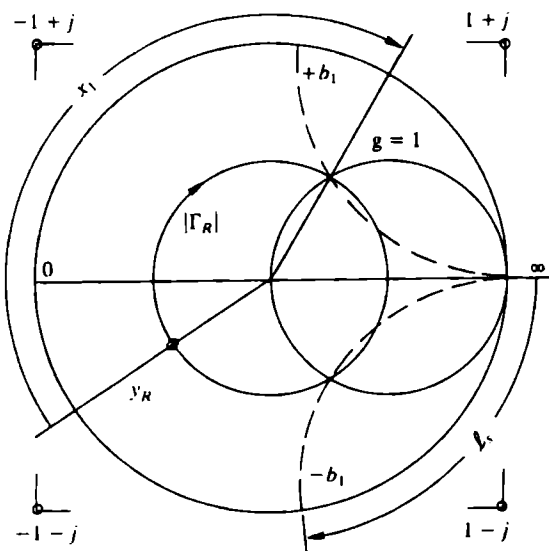
مثال 6.1 الخطوتان أعلاه للموائمة الفردية يمكن الحصول عليهما باستخدام خريطة سميث.

Example 6-1 The above two steps for single-stub matching may be accomplished using a Smith chart.

الحل: انظر شكل 6-8.

. ضع y على الخريطة ثم ارسم دائرة Γ_R [أو (0) [VSWR]]

- .ii. حدد نقطة تقاطع دائرة $|\Gamma_R|$ مع دائرة $g = 1$.
- .iii. من y_R تحرك في اتجاه المتبع إلى أول تقاطع، اقرأ $y_1 = 1 + jb_1$ وسجل المسافة x_1 بدلالة طول الموجة.
- .iv. حدد النقطة $y_1 = 1 + jb_1$ على دائرة $|\Gamma_R|$ من وضع القصر $\infty = y$, تحرك في اتجاه المتبع حتى النقطة $y_1 = 1 + jb_1$. سجل المسافة b_1 بدلالة طول الموجة. إذا كان أول تقاطع لا يمكن الوصول إليه ففي هذه الحالة يمكن استخدام التقاطع الثاني مع عمل التعديل على طول الموائمة للمفاجعة للوضع الجديد.

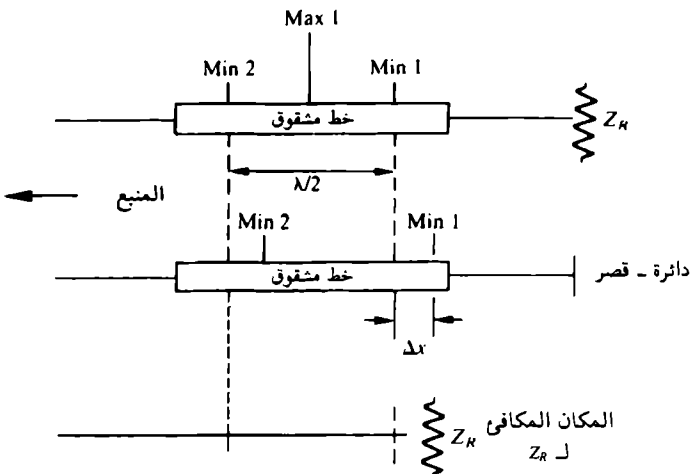


شكل 8-6 استخدام خريطة سميث مع موائمة فردية

يستخدم الخط المشقوق Slotted Line لقابل محوري عند الترددات العالية لقياس VSWR ولتحديد موقع أقل قيمة للجهد. مع الاستعانت بخريطة سميث يمكن بسهولة إيجاد المعاوقة المجهولة للحمل وذلك عن طريق معرفة

VSWR والميزة بين أقل جهد في حالة وجود الحمل وأقل جهد في حالة وجود دائرة مقصورة جهة الاستقبال (جهد الإسناد).

في شكل 9-6 يوضع الخط المشقوق في مكان مناسب ويوصل Z_R في مكانها ثم يحرك مجس Probe على الخط لمعرفة قيمة وموقع أقل وأكبر جهد. يوصل مكبر وجهاز بيان لتحويل خرج المجرس إلى قراءة L . VSWR. بعد عمل دائرة قصر بدلاً من Z_R يمكن معرفة أقل جهد إسناد في هذه الحالة تكون VSWR عالية جداً. كما هو متوقع فإن الميزة بين أكبر وأقل قيمة للجهد تكون $\lambda/4$.



شكل 9-6 استخدام الخط المشقوق Slotted Line لقياس Z_R .

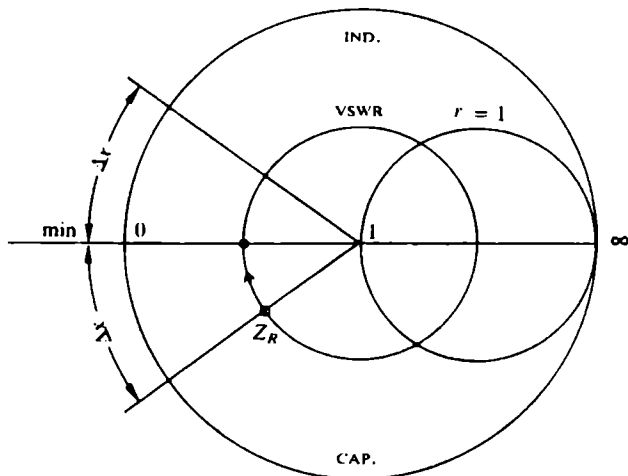
لمعرفة Z_R باستخدام خريطة سميّث، ارسم دائرة VSWR الذي سبق قياسه شكل 9-6 ثم حدد نقطة أقل جهد (من 0 إلى 1 على خط 0). ($x = 0$). ثم حول القيمة Δx المقاسة إلى قيمتها بدلالة طول الموجة (انظر شكل 9-6) حدد النقطة على دائرة VSWR والتي تبعد Δx من خط V_{min} (أقل جهد). الصيغة تكون ممانعة سعوية، يلاحظ أنه إذا تحرر كنا من Z_R في اتجاه

المنبع مسافة مقدارها Δx نحصل على نقطة أقل جهد. (إذا كانت z_R ممانعة تأثيرية تكون Δx أكبر من ربع طول الموجة وأن نقطة أكبر جهد سوف تأتي قبل نقطة أقل جهد V_{min}).).

الوتجات العابرة على الخطوط عديمة الفقد

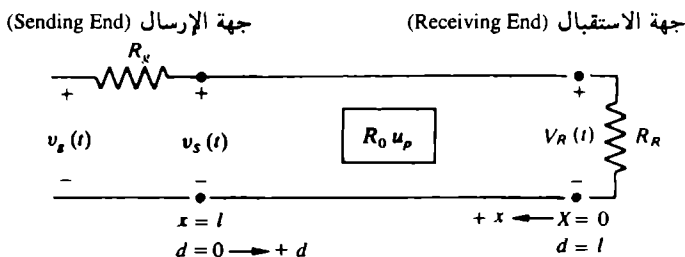
Transients in Lossless Lines

في حالات فتح وغلق الخط وعمليات إرسال نبضات، يحدث تغير مفاجئ للجهد يُسلط على جزء من الخط. تحليل هذه الحالة العابرة يتطلب عموماً الاستعانة بالمعادلات التفاضلية الجزئية PDEs أو بالتحويل اللابلاسي Laplace Transforms لهذه المعادلات. مع هذا ففي الحالة الخاصة لخط عديم الفقد ($R = G = 0$) $R_0 = \sqrt{L/C}$ والسرعة $u_p = 1/\sqrt{LC}$ ، تكون هناك طريقة بسيطة بالرسم أساسها تراكم الموجات المنعكسة المتكررة.



شكل 10-6 إيجاد معاوقة مجهرولة

شكل 6-11 يبين نموذج لنظام عديم الفقد يوصل عليه جهد التغذية (v_g) عند $t = 0$ حيث R_g هي مقاومة المنبع.



شكل 6-11 خط نقل عديم الفقد

الآن في حالة حدوث أي تغير مفاجئ عند أي من نهايتي الخط فإن ذلك يؤثر على النهاية الأخرى بعد مرور زمن تعويق Delay Time $t_D = l/u_p$ قدره. إذا كان الحمل غير مواhem للخط ($R_R \neq R_0$) فإن انعكاساً سوف يحدث عند جهة الاستقبال. بالمثل إذا انتشرت موجة في اتجاه $+x$ سوف يحدث انعكاس أيضاً عند جهة الإرسال إذا كان المنبع غير مواhem للخط ($R_g \neq R_0$).

مثال 6.2 في حالة ما إذا كان $v_g(t)$ مقداره 10 V عند $t = 0$ (أى جهد تيار مستمر) وكان الخط متواhem من الجهازين ($R_R = R_R = R_0$) أوجد الجهد العابر على الخط.

Example 6-2 For the case where $v_g(t)$ is a 10-V step at $t = 0$ (i.e., a dc voltage) and where the line is matched at both ends ($R_R = R_R = R_0$), evaluate the transient voltage on the line.

الحل: شروط الجهد العابر مبينة بشكل 6-12، الذي يبين تخطيط زمن - مسافة. حيث أن جهد المنبع ثابت ولا يوجد انعكاس عند جهة الاستقبال فإن النظام يصل إلى الحالة المستقرة $V(d,t) = 5 V$ بعد زمن تعويق واحد قدره t_D .

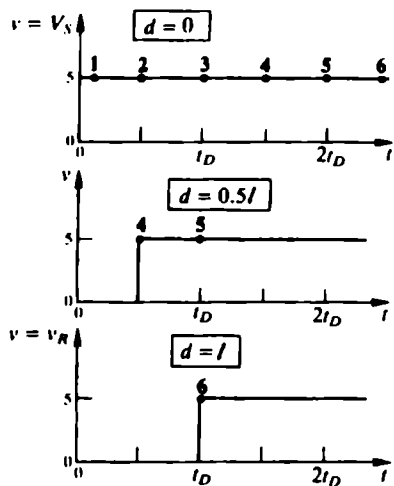
مثال 6.3 افرض أن كل المعطيات للخط بمثال 6.2 كما هي مع اختلاف أن الحمل أصبح الآن دائرة مفتوحة ($R_R = \infty$). أوجد الجهد العابر على الخط.

Example 6-3 Assume that everything is as in Example 6-2 with the exception of the load, which is now an open circuit ($R_R = \infty$). Evaluate the transient voltage on the line.

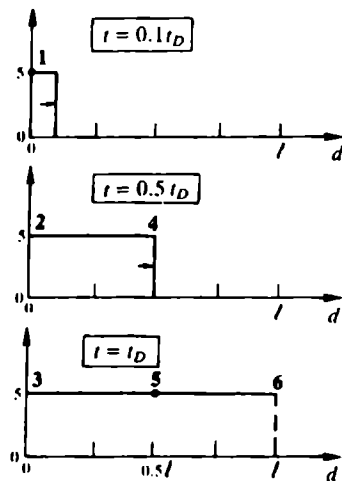
الحل: شكل 6-13 يعطى تخطيط العلاقة بين الزمن والمسافة. معامل الانعكاس للحمل $\Gamma_R = 1$. بسبب وجود انعكاس واحد من جهة الحمل نحصل على حالة مستقرة من الجهد مقداره 10 V بعد زمن قدره $2t_D$.

أشياء هامة للتذكر

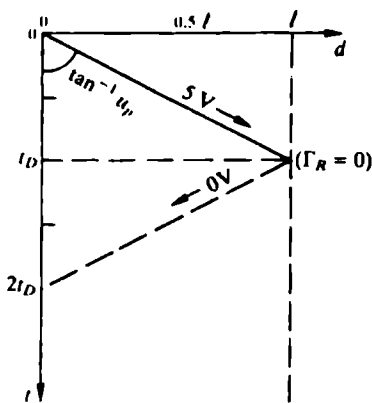
- ✓ تتيح خطوط النقل توجيه انتشار الطاقة.
- ✓ في تحليل خطوط النقل تكون الجهدود والتيارات دوالي في كل من الزمن والمسافة.
- ✓ الموجات الواقفة تنشأ عندما يكون معامل الانعكاس لا يساوي الصفر.
- ✓ خريطة سميث يمكن استخدامها للمساعدة في حل مسائل خطوط النقل عند التردد العالي.
- ✓ في الحالات العابرة، إذا حدث تغير مفاجئ عند المنبع لخط نقل لن يحدث أي تغير في جهة الحمل إلا بعد مرور زمن تعويق واحد على الأقل.



(a) $\square v$ vs. t

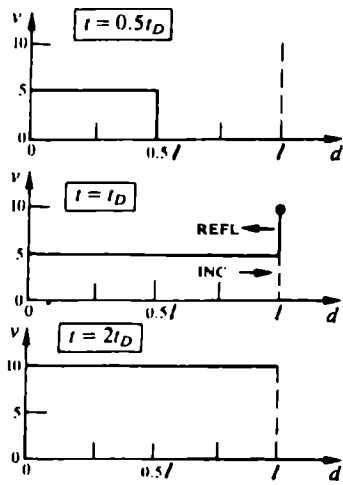
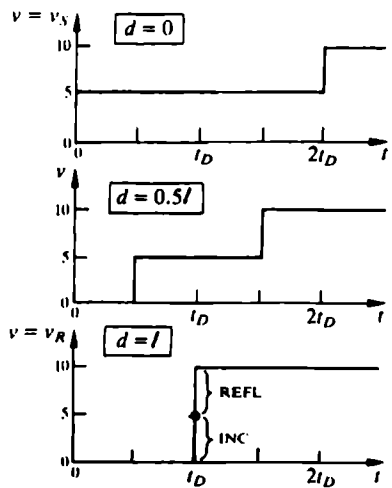


(b) $\square v$ vs. d



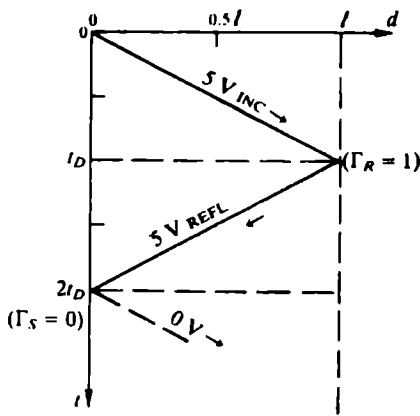
(c) $\square t$ - d plot

شكل 12-6 التحليل العابر لخط موافم



(a) $\square v$ vs. t

(b) v vs. d



شكل 13-6 التحليل العاير عندما ($R_R = \infty$)

مسائل محلولة

Solved Problems

مسألة محلولة 6.1 خط نقل يتكون من سلكين متوازيين والسلك مصنوع من النحاس #6 AWG (القطر = 0.162 inch , $0.162 \text{ inch} = 5.8 \times 10^7 \text{ S/m}$, $\sigma_c = 5.8 \times 10^7 \text{ S/m}$) المسافة بين السلكين 12 inch والهواء هو العازل بينهما. أهمل معامل الحث الداخلي، احسب لكل متر قيم L , C , G ومقاومة التيار المستمر والمقاومة للتيار المتفاير عند 1 MHz.

Solved Problem 6.1 A parallel-wire transmission line is constructed of #6 AWG copper wire (dia. = 0.162 in., $\sigma_c = 5.8 \times 10^7 \text{ S/m}$) with a 12-inch separation in air. Neglecting internal inductance, find the per-meter values of L , C , G , the dc resistance and the ac resistance at 1 MHz.

الحل: معاملات الشكل الأربعة لسلكين متوازيين لخط نقل تتضمن نصف قطر الموصل $a = 2.06 \times 10^{-3} \text{ m}$ والممسافة بين السلكين $d = 0.305 \text{ m}$. حيث $d \gg a$.

$$GF_L = \ln\left(\frac{d}{a}\right) = 5.0 \quad GF_C = \frac{1}{GF_L} = 0.20$$

$$GF_{RDC} = \frac{2}{a^2} = 4.72 \times 10^5 \text{ m}^{-2} \quad GF_{RAC} = \frac{2}{a} = 971 \text{ m}^{-1}$$

للهواء العازل $\mu_d = \mu_0$ و $\epsilon_d = \epsilon_0$. للنحاس $\mu_o = \mu$. على ذلك تكون عناصر خط النقل

$$L = \frac{\mu_d}{\pi} (GF_L) = 2.0 \mu\text{H/m} \quad R_{dc} = \frac{1}{\sigma_c \pi} (GF_{RDC}) = 2.59 \times 10^{-3} \Omega/\text{m}$$

$$C = \pi \epsilon_d (GF_C) = 5.56 \text{ pF/m} \quad \delta = \frac{1}{\sqrt{\pi \mu_c \sigma_c}} = 66 \mu\text{m}$$

$$G = 0 \text{ S/m} \quad R_{ac} = \frac{1}{2\pi\sigma_c \delta} (GF_{RAC}) = 4.04 \times 10^{-2} \Omega/\text{m}$$

مسألة محلولة 6.2 لخط النقل المكون من سلكين الموضع بمسألة 6.1
أوجد المعاوقة الذاتية وثابت الانتشار (توهين Attenuation وزاوية طور
(Phase Shift) وسرعة الانتشار وطول الموجة إذا كان $f = 5 \text{ kHz}$.

Solved Problem 6.2 For the parallel-wire line of problem 6.1, find the characteristic impedance, propagation constant (attenuation and phase shift), velocity of propagation and wavelength for $f = 5 \text{ kHz}$.

الحل: عند 5 kHz يمكن استخدام مقاومة التيار المستمر.

$$Z = R + j\omega L = 2.59 \times 10^{-3} + j(2\pi)(5000)(2 \times 10^{-6}) \\ = 6.29 \times 10^{-2} \angle 87.6^\circ \Omega/\text{m}$$

$$Y = G + j\omega C = j(2\pi)(5000)(5.56 \times 10^{-12}) = 1.747 \times 10^{-7} \angle 90^\circ \text{ S/m}$$

$$Z_0 = \sqrt{\frac{Z}{Y}} = 600 \angle -1.2^\circ \Omega$$

$$\gamma = \sqrt{ZY} = 1.048 \times 10^{-4} \angle 88.8^\circ = (2.19 \times 10^{-6}) + j(1.048 \times 10^{-4}) \text{ m}^{-1}$$

على ذلك

$$\alpha = 2.19 \times 10^{-6} \text{ Np/m}, \beta = 1.048 \times 10^{-4} \text{ rad/m}, \\ u_p = \omega/\beta = 2.998 \times 10^8 \text{ m/s} \\ \text{and } \lambda = 2\pi/\beta = 59.96 \text{ km.}$$

مسألة محلولة 6.3 خط نقل 70Ω يستخدم عند تردد له $\lambda = 80 \text{ cm}$ مع وجود حمل عند $x = 0$ قيمته $140 + j91 \Omega$. استخدم خريطة سميث ليعجاد Γ_R و $VSWR$ والمسافة بين الحمل وأول موقع لأقصى جهد والمسافة بين الحمل وأول موقع لأقل جهد والمعاوقة عند V_{min} والمعاوقة عند V_{max} ومعاوقة الدخل لجزء من الخط طوله 54 cm , ومسامحة الدخل للخط عندما يتصل الحمل.

Solved Problem 6.3 A 70Ω transmission line is used at a frequency where $\lambda = 80$ cm with a load at $x = 0$ of $(140+j91)\Omega$. Use the Smith Chart to find Γ_R , VSWR, distance to the first voltage maximum from the load, distance to the first voltage minimum from the load, the impedance at V_{max} , the impedance at V_{min} , the input impedance for a section of the line that is 54 cm long, and the input admittance of that line with the load attached.

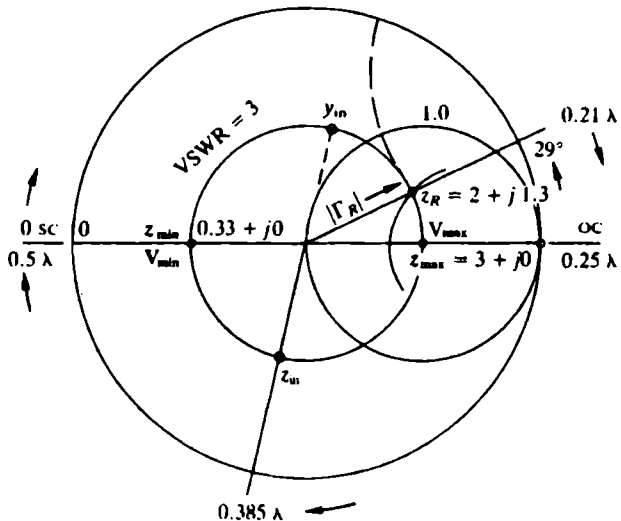
الحل: وقع على خريطة سميث المعاوقة النسبية للحمل

$$z_R = Z_R / R_0 = 2 + j1.3$$

كما هو مبين في شكل 6-14، أرسم الخط النصف قطرى من منتصف الخريطة إلى دائرة λ الخارجية مروراً بنقطة الحمل z_R . اقراء زاوية Γ_R على مقياس الزاوية $\phi_R = 90^\circ$. قس المسافة من المركز حتى النقطة z وأوجد مقادير Γ_R و VSWR من على التدريج أسفل الخريطة.

$$|\Gamma_R| = 0.50 \Rightarrow \Gamma_R = 0.5 \angle 29^\circ \text{ and } \text{VSWR} = 3.0$$

أرسم دائرة تمر بنقطة المعاوقة النسبية. لاحظ أن هذه الدائرة تقطع الخط الأفقي عند $0+j3$. هذه النقطة للتقاطع تستخدم لحساب VSWR بدلًا من استخدام التدريج أسفل الخريطة لأن الدائرة تمثل قيمة ثابتة $-L$. VSWR. حدد نقطة تقاطع دائرة ثبوت VSWR مع خط نصف القطر الممتد من المركز حتى نقطة الدائرة المفتوحة جهة اليمين على خريطة Z . نقطة التقاطع يكون عندها أقصى جهد (أقل قيمة للتيار) والمعاوقة تكون لها أقصى قيمة المعاوقة النسبية عند هذه النقطة هي $0+j3$ وعلى ذلك تكون قيمة $z_{max} = 21 + j0 \Omega$. لإيجاد المسافة بين الحمل وأول V_{max} استخدم المقياس الدائري الخارجي (بدلاً من طول الموجة في اتجاه المتنع). يكون موقع الإسناد عند $\lambda/0.21$ وخط القيمة العظمى عند $\lambda/0.25$ على ذلك تكون المسافة $\lambda/0.04$ في اتجاه المتنع أو 3.2 cm من الحمل.



شكل 6-14 خريطة سميث للمسألة 3

من نقطة V_{max} تحرک 0.25λ في اتجاه المنبع وحدد نقطة V_{min} . المعاوقة النسبية $0.33 + j0$ و $Z_{min} = 23.1 + j0 \Omega$. المسافة من الحمل حتى أول قيمة صفرى هي

$$0.25\lambda + 0.04\lambda = 0.29\lambda = 23.2 \text{ cm}$$

لإيجاد معاوقة الدخل طول 54 cm , حرك $\lambda = \frac{54}{80} = 0.675\lambda$ من الحمل في اتجاه المنبع واقراء المعاوقة النسبية. يلاحظ أن دورة كاملة حول الدائرة هي 0.5λ لذلك حدد النقطة التي تبعد 0.175λ من الحمل على التدرج الخارجي هذه النقطة تكون عند $\lambda - 0.175\lambda = 0.385\lambda = 0.21\lambda + 0.175\lambda$. من خلال هذه النقطة ارسم خط نصف قطري وحدد نقطة التقاطع مع الدائرة VSWR المعاوقة النسبية تكون $0.71 j - 0.56 = 0.56$. وتكون المعاوقة

$$Z_{in} = 39.2 - j49.7 \Omega$$

مسامحة الدخل النسبية توجد على الجانب الآخر من القطر على الخريطة
والتي تناظر مقلوب عدد مركب حيث $z = 0.71 - j0.56$ و $z_{in} = 0.68 + j0.87$
وتكون المسامحة للدخل

$$Y_{in} = \frac{y_{in}}{R_0} = (9.71 + j12.4) \text{ mS}$$

عصير الكتب
www.ibtesama.com/vb
منتدى مجلة الإبتسامة

الفصل السابع

الهوائيات

Antennas

في هذا الفصل:

- ✓ الجهد المغناطيسي المتجه وال المجالات المشعة
- ✓ هوائي هيرتزيان ثانى القطبية
- ✓ خصائص هوائي
- ✓ ثانى القطبية وأحادي القطبية بطول محدد
- ✓ مسائل محلولة

معادلات ماكسويل التي تمت دراستها في الفصل 5. تبأتأت بالمواجات المستوية المنتشرة في وسط غير محدد خالٍ من المنابع. في هذا الفصل سوف ندرس الموجات المنتشرة والناتجة عن منبع تيار. منابع التيار هي نماذج للهوائيات. بصفة عامة فإن الموجات لها واجهات موجية كروية وقيمتها تعتمد على اتجاه الانتشار. خلال هذا الفصل س يتم فرض أن الوسط خالٍ من المنابع.

الجهد المغناطيسي المتجه والمجالات المشعة

Magnetic Vector Potential and Radiated Fields

في الفصل 2، تم الحصول على شدة المجال الكهربى E أولاً عن طريق

توزيع شحنة معلومة. ثم استخدام الجهد الكهربى المقياسى V ووجد أن E تكون دالة فى V :

$$E = -\nabla V$$

بالمثل فإن الجهد المغناطيسى المتجه A يُعرف بحيث أن

$$B = \nabla \times A$$

وهو يخدم كقيمة ابتدائية لحساب B ومنها H وأيضاً E . بإعادة كتابة المعادلة بدلالة H

$$H = \frac{1}{\mu} \nabla \times A = \frac{\eta}{\mu} \nabla \times A \quad (1)$$

حيث $\eta = 3 \times 10^8 \text{ m/s}$ و $\mu = 120\pi\Omega$. باستخدام قانون فاراداي (فصل 4) يمكن إيجاد المجال الكهربى

$$E = \frac{1}{j\omega\mu} \nabla \times H = \frac{1}{j\omega\mu\epsilon} \nabla \times \nabla \times A = \frac{\eta}{j\beta} \nabla \times \nabla \times A \quad (2)$$

ومتجه الطور A يعطى بالآتى

$$A = \int_{vol} \frac{\mu(J_s e^{-j\beta R})}{4\pi R} dv \quad (3)$$

فى المعادلة (3) هى المسافة بين نقطة الملاحظة Observation Point وعنصر تيار المنبع $J_s dv$. ومعنى المعامل $e^{-j\beta R}$ يصبح واضحاً عند تحويل A إلى المجال الزمنى:

$$A = \int_{vol} \frac{\mu J_s \cos(\omega t - R/u)}{4\pi R} dv$$

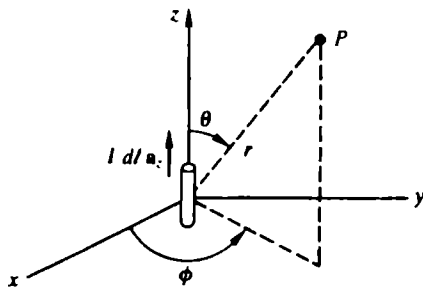
على ذلك فإن A عند نقطة الملاحظة تعكس بشكل مناسب الحالة عند المنبع فى أوقات سابقة - حيث يكون التأخير لأى عنصر منبع معين بشكل دقيق هو الزمن u/R المطلوب لشرط الانتشار إلى نقطة الملاحظة.

هوائي هيرتزيان ثنائي القطبية

Hertzian Dipole Antenna

الجهد المغناطيسي المتولد من هوائي هيرتزيان ثنائي القطبية (عنصر تيار متناهي الصغر (شكل 1-7) باستخدام (3) هو

$$\mathbf{A}(P) = \frac{\mu e^{-j\beta r}}{4\pi r} (I d\ell) \mathbf{a}_z$$



شكل 1-7 هوائي هيرتزيان ثنائي القطبية

باستخدام الإحداثيات الكروية $\mathbf{a}_z = \cos\theta \mathbf{a}_r - \sin\theta \mathbf{a}_\theta$ وباستخدام المعادلات (1) و (2) فإن المجال المغناطيسي والكهربى هو

$$H_\phi = \frac{I d\ell}{4\pi} \beta^2 \sin\theta e^{-j\beta r} \left[j \frac{1}{\beta r} + \frac{1}{\beta^2 r^2} \right] \quad (4)$$

$$E_r = \eta \frac{2I d\ell}{4\pi} \beta^2 \cos\theta e^{-j\beta r} \left[\frac{1}{\beta^2 r^2} - j \frac{1}{\beta^3 r^3} \right] \quad (5)$$

$$E_\theta = \eta \frac{I d\ell}{4\pi} \beta^2 \sin\theta e^{-j\beta r} \left[j \frac{1}{\beta r} + \frac{1}{\beta^2 r^2} - j \frac{1}{\beta^3 r^3} \right] \quad (6)$$

وجميع المركبات الأخرى تساوى صفرًا

ملاحظة!

سوف يقتصر الاهتمام على المجال البعيد ($r >> l$) وفيه تهمل القيمة $1/r^3$ و $1/r^2$ بالنسبة لـ $1/r$. (هذا يعني أنه لـ $1 >> r/l$ فإن $1/r << 1/r^2$ و $1/r^3 << 1/r$).

باستخدام (4) و (5) و (6) المجال البعيد Far Fields هو

$$H_\phi = j \frac{I d\ell \beta}{4\pi r} \sin \theta e^{-j\beta r} \quad (7)$$

$$E_\theta = \eta j \frac{I d\ell \beta}{4\pi r} \sin \theta e^{-j\beta r} = \eta H_\phi \quad (8)$$

من الواضح أن (7) و (8) تمثلان موجة كروية منتشرة وعند أي نقطة يكون اتجاه الانتشار $+a_r$ والمقدار يتناقص مع $1/r$.

القدرة المشعة بواسطة الهوائي يمكن الحصول عليها من المتوسط الزمني لمتجه بيوتنج Poynting Vector. متجه بيوتنج هو كثافة القدرة للمجال المشع قوله وحدات W/m^2 . المتوسط الزمني لمتجه بيوتنج يعرف كما يلى

$$\mathcal{P}_{avg} = \frac{1}{2} \operatorname{Re}(\mathbf{E} \times \mathbf{H}^*) \quad (9)$$

حيث \mathbf{H}^* المترافق المركب لـ \mathbf{H} . هذا يتبع حساب القدرة في تحليل الدوائر حيث أن القدرة المتوسطة $P_{avg} = \frac{1}{2} \operatorname{Re}(V I^*)$. لإيجاد القدرة المتوسطة المشعة

من الهوائي نكامل \mathcal{P}_{avg} على سطح كرة تحيط بالهوائي:

$$\begin{aligned} P_{rad} &= \int_0^{2\pi} \int_0^\pi \mathcal{P}_{avg} \bullet d\mathbf{S}_{sphere} = \int_0^{2\pi} \int_0^\pi \mathcal{P}_{avg} \bullet (r^2 \sin \theta d\theta d\phi \mathbf{a}_r) \\ &= \int_0^{2\pi} \int_0^\pi \left[\frac{1}{2} \operatorname{Re}(E_\theta H_\phi^*) \right] r^2 \sin \theta d\theta d\phi \\ &= \frac{\eta(\beta I d\ell)^2}{12\pi} = \frac{\eta \pi I^2}{3} \left(\frac{d\ell}{\lambda} \right)^2 \quad (\text{W}) \end{aligned} \quad (10)$$

خصائص الهوائي

Antenna Parameters

مقاومة الإشعاع Radiation Resistance R_{rad} تعرف على أنها قيمة افتراضية لمقاومة تستهلك قدرة لقدرة المشعة للهوائي عندما تغذى بنفس التيار أي $P_{rad} = \frac{1}{2} I_0^2 R_{rad}$, $R_{rad} = 2P_{rad}/I_0^2$ حيث I_0 هي القيمة العظمى للتيار عند نقطة التغذية. بالنسبة للهوائي الهرتزيان ثانوى القطبية، ويستخدم (10)

$$R_{rad} = \frac{2\pi\eta}{3} \left(\frac{dl}{\lambda} \right)^2 = 790 \left(\frac{dl}{\lambda} \right)^2 \quad (\Omega)$$

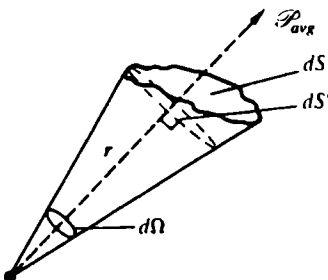
نموج الإشعاع $F(\theta, \phi)$ Radiation Pattern للأي هوائي يعطى التغير النسبي للمجال البعيد E أو H (عند مسافة بعيدة) مع الاتجاه. بفرض أن تكون r ثابتة. بالنسبة للهوائي الهرتزيان ثانوى القطبية $F(\theta, \phi) = \sin\theta$ تختصر إلى $|E|$ حيث $|E|$ لا تعتمد على ϕ .

شدة الإشعاع $U(\theta, \phi)$ Radiation Intensity هي مقياس آخر لأداء الهوائي وهي تعرف على أنها المتوسط الزمنى لقدرة المشعة لكل وحدة زاوية مُجسمة. أي هي دالة القدرة بالنسبة للزاوية (انظر شكل 7-2). هنا يجب ملاحظة أن الرمز للزاوية المحسنة هو أيضًا Ω . ولا يجب الخلط بينها وبين وحدة المقاومة، أوم. باستخدام المعادلة (10) يمكن التعبير عن القدرة المتوسطة

$$\begin{aligned} P_{rad} &= \int_0^{2\pi} \int_0^{\pi} \mathcal{P}_{avg} \bullet d\mathbf{S}_{sphere} = \int_0^{2\pi} \int_0^{\pi} (\mathcal{P}_{avg} \bullet r^2 \mathbf{a}_r) \sin\theta \, d\theta \, d\phi \\ &= \int_0^{2\pi} \int_0^{\pi} U(\theta, \phi) \sin\theta \, d\theta \, d\phi = \int_0^{2\pi} \int_0^{\pi} U(\theta, \phi) \, d\Omega \end{aligned}$$

على ذلك تكون شدة الإشعاع ووحدة الزاوية المحسنة

$$\begin{aligned} \Rightarrow U(\theta, \phi) &\equiv (\mathcal{P}_{avg} \bullet r^2 \mathbf{a}_r) \quad (\text{W / sr}) \\ \Rightarrow d\Omega &\equiv \sin\theta \, d\theta \, d\phi \quad (\text{sr}) \end{aligned}$$



شكل 2-7 تعريف شدة الإشعاع $U(\theta, \phi)$

حيث sr هي الزاوية النصف قطرية المحسنة. حيث أن U لا تعتمد على r (بقاعدة بقاء الطاقة) فإن المجال على مسافة بعيدة يمكن أن يستخدم في التقييم. لهوائي الهيرتيزيان ثنائي القطبية وباستخدام (7) حتى (10)

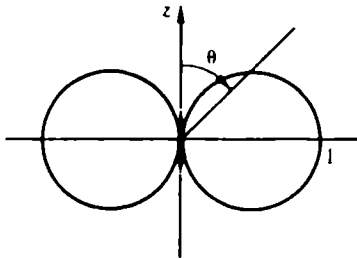
$$U(\theta) = \frac{\eta}{8} \left(\frac{I d\ell}{\lambda} \right)^2 \sin^2 \theta \quad (\text{W/sr}) \quad (11)$$

التخطيط القطبي لنمذجة الإشعاع $F(\theta)$ وشدة الإشعاع $U(\theta)$ لهوائي الهيرتيزيان ثنائي القطبية مبين بشكل 7-3.

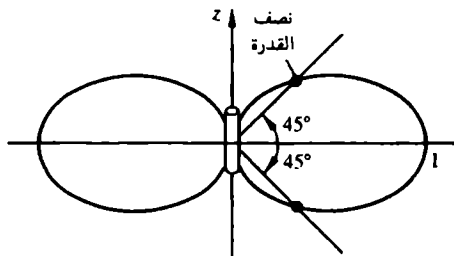
في شكل 7-3 نقطتى نصف القدرة Half-Power θ_{HP2} عند $\theta_{HP1} = 45^\circ$ و $\theta_{HP} = \theta_{HP2} - \theta_{HP1} = 90^\circ$. و اتساع حزمة نصف القدرة تكون 135° .

✓ يجب أن تعرف

بصفة عامة، كلما قل اتساع الحزمة (حول اتجاه القمة القطبي U_{max}) كلما كانت اتجاهية الهوائي أكبر، هذا يعني أن القدرة المشعة تتركز في حيز زاوي صغير.



(a) $\square F(\theta)$



(b) $U(\theta)$

شكل 3-7 نموذج الإشعاع F وشدة الإشعاع U

الكسب الاتجاهي $D(\theta, \phi)$ لهوائي ما يُعرف على أنه نسبة كثافة الإشعاع $U(\theta, \phi)$ إلى كثافة الإشعاع U_0 من مُشع افتراضي له إشعاع متساوٍ في كل الاتجاهات، بحيث أن القدرة الكلية المشعة P_{rad} هي نفسها في الحالتين للمنعش المتساوي الاتجاهات.

$$U_0 = \frac{P_{rad}}{4\pi}$$

لذلك فإن الكسب الاتجاهي للهوائي

$$D(\theta, \phi) = \frac{U(\theta, \phi)}{U_0} = \frac{4\pi U(\theta, \phi)}{P_{rad}} \quad (12)$$

الاتجاهية D للهوائي هي أقصى قيمة للكسب الاتجاهي

$$D = \frac{4\pi U_{max}}{P_{rad}} \quad (13)$$

للهوائي الهرتزيان ثنائى القطبية ويستخدم (10) و (11) فى (12) و (13) يكون الكسب الاتجاهي

$$D(\theta, \phi) = \frac{(4\pi) \frac{\eta}{8} \left(\frac{I d\ell}{\lambda} \right)^2 \sin^2 \theta}{\left(\frac{\eta\pi}{3} \right) \left(\frac{I d\ell}{\lambda} \right)^2} = 1.5 \sin^2 \theta$$

وتكون الاتجاهية $D = 1.5$.

كفاءة الإشعاع للهوائي $P_{in} \equiv P_{rad}/P_{in}$, حيث P_{in} هي المتوسط الزمني للقدرة التي يستقبلها الهوائي من المنشع. كسب القدرة $G(\theta, \phi)$ يعرف بأنه هو الكسب الاتجاهي مضروباً في كفاءة الإشعاع:

$$G(\theta, \phi) \equiv e_{rad} D(\theta, \phi) = \frac{4\pi U(\theta, \phi)}{P_{in}} = \frac{4\pi U(\theta, \phi)}{P_{rad} + P_L}$$

حيث P_L هو الفقد للقدرة الأومي للهوائي. المشع عديم الفقد عديم الاتجاهية له كسب قدرة $G_0 = 1$. من الممكن التعبير عن كسب القدرة للهوائي بالديسيبل Decibels حيث

$$G_{dB} = 10 \log_{10} G(\theta, \phi)$$

ثنائى القطبية وأحادى القطبية بطول محدد

Finite-Length Dipole and Monopole

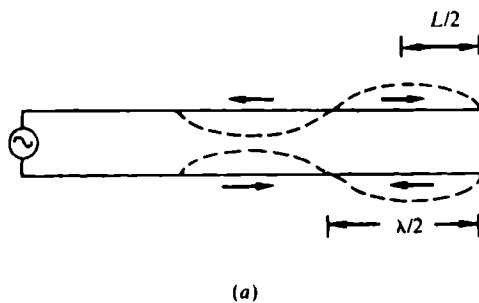
المعادلة (10) للقدرة المشعة من هوائي ثنائى القطبية هيرتزيان تشمل الحد $(d\ell/\lambda)^2$ والذى يبين أن الطول يمكن مقارنته بطول الموجة. لخط نقل ذى

سلكين ودائرته مفتوحة كما بالشكل (a) 7-4 التياران بالموصلين لهما زاويتان متضادتان ولذلك يتلاشى تقربياً المجال بعيد. نحصل على هوائى ذى كفاءة عالية عندما ينفتح الخط كما بالشكل (b) 7-4 وبذلك ينتج التياران

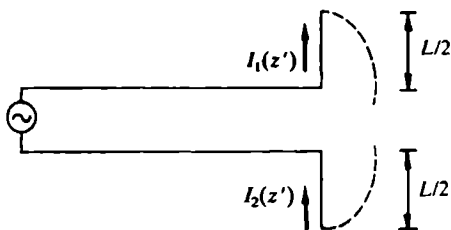
$$I_1(z') = I_m \sin \beta \left(\frac{L}{2} - z' \right), \quad 0 < z' < L/2$$

و

$$I_2(z') = I_m \sin \beta \left(\frac{L}{2} + z' \right), \quad -L/2 < z' < 0$$



(a)



(b)

شكل 7-4 (a) خط نقل دائرته مفتوحة. (b) هوائى ثانوى القطبية.

وهذان التياران لهما نفس الزاوية بالضبط عند نقطتين كصورة مرآة على محور z . والتياران يتلاشيان عند نقط النهاية $L/2 \pm z'$. على أساس أن طول الهوائى L . التيار عند نقطة التغذية $0 = z'$ يرتبط بأقصى تيار عن طريق

$$I_0 = I_m \sin \frac{\beta L}{2}$$

المجال على مسافة بعيدة يمكن حسابه عن طريق (1) و (2) و (3) تحت شرط $r >> \lambda$.

$$H_\phi = \frac{jI_m e^{-j\beta r}}{2\pi r} F(\theta), \quad E_\theta = \eta H_\phi$$

وتكون دالة نموذج الإشعاع

$$F(\theta) = \frac{\cos\left(\beta \frac{L}{2} \cos \theta\right) - \cos\left(\beta \frac{L}{2}\right)}{\sin \theta}$$

لطول L حتى 1.2λ يكون نموذج الإشعاع شبيه بالرقم 8. ويصبح حاد أكثر كلما اقتربت L من λ . من الناحية الأخرى عندما تكون $\lambda << L$ يكون النموذج كما في حالة الهوائي الهرتزيان ثانوى القطبية المبين بشكل (a) 7-3. عندما تصبح L أكبر من 1.2λ يصبح النموذج (كما بشكل 7-5) له فصوص متعددة Multi-Lobed.

يمكن بيان أن مقاومة الإشعاع لهوائي ثانى القطبية له طول يعطى بالمعادلة $\lambda/2(1 - 2n)$ حيث $n = 1, 2, 3, \dots$ تكون قيمتها

$$R_{rad} = 30 \operatorname{Cin}[(4n - 2)\pi](\Omega)$$

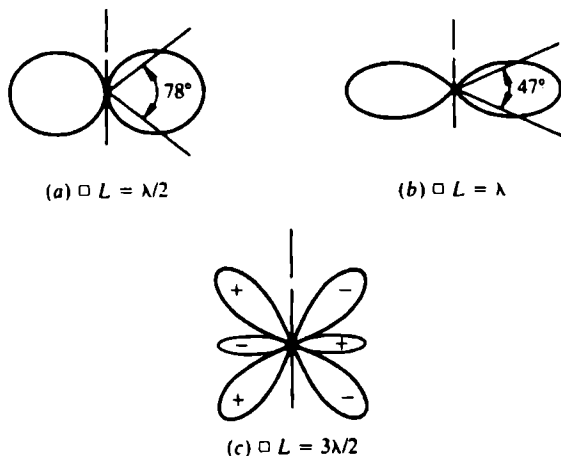
حيث

$$\operatorname{Cin}(x) = \int_0^x \frac{1 - \cos y}{y} dy$$

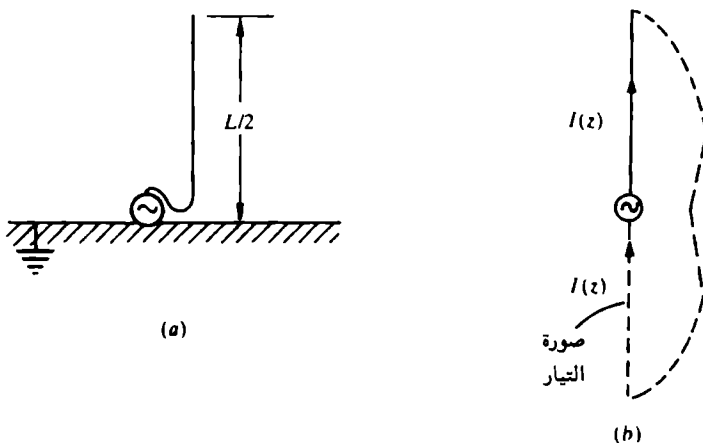
هي دالة لها جداول.

الهوائي الهام المستخدم بكثرة هو ثانى القطبية بطول نصف الموجة ($n = 1$) في هذه الحالة $\Omega = 73$ و $R_{rad} = 30$ (2.438) و $D = 1.64$.

لموصل طوله $L/2$ عمودي على مستوى أرضي موصل [شكل (a) 7-6] يكون هوائي أحادي القطبية. نظرية الصورة Image Theory يمكن أن تستخدم لتكوين المسألة المكافئة وهي ثانوي قطبية في الفراغ الحر [أنظر شكل (b) 7-6].



شكل 7-5 نموذج الإشعاع لهواني ثانوي القطبية



شكل 7-6 (a) هوائي أحادي القطبية (b) هوائي ثانوي القطبية مكافئ.

عند تغذية القاعدة فإن المجال E و H الناشئ لهوائي أحادى القطبية يساوى مع ثنائي القطبية وذلك في مناطق أعلى المستوى الأرضى.

حيث أن أحادى القطبية يشع قدره فقط فى الوسط أعلى المستوى الأرضى فإن القدرة الكلية المشعة هي نصف القدرة المشعة من ثنائي القطبية المناظر. من العلاقة $R_{rad} = 2P_{rad}/I^2_0$ يستنتج من هذا أن مقاومة الإشعاع لإحادى القطبية هي نصف قيمتها في حالة ثنائي القطبية. ومن ذلك إذا كان $R_{rad} = \lambda/4$ (أحادى القطبية طوله ربع طول الموجة)، فإن $\Omega = 36.5 \Omega$.

أشياء هامة للتذكر

- ✓ الهوائيات تشع موجات كروية منتشرة.
- ✓ الاتجاهية للهوائي هي نسبة أقصى شدة إشعاع π إلى شدة الإشعاع لهوائي موحد الاتجاهات لم نفس قدرة الإشعاع الكلية.
- ✓ مركبة التيار الفالب لهوائي سطح ثنائي القطبية موجة واقفة جيبية.
- ✓ المجال المشع لأحادى القطبية يساوى المجال لثنائي القطبية المناظر لوسيط أعلى المستوى الأرضى.

Solved Problems

مسائل محلولة

مسألة محلولة 7.1 هوائي ثنائي القطبية يغذي من منتصفه بتيار في اتجاه z وله طول كهربى $1/30 <> L/\lambda$. (a) أثبت أن توزيع التيار يمكن افتراضه مثلث الشكل. (b) أوجد مركبات الجهد المغناطيسي المتجهة A .

Solved Problem 7.1 A center-fed dipole with a z -directed current has electrical length $L/\lambda <> 1/30$. (a) Show that the current distribution may be assumed to be triangular in form. (b) Find the components of the vector magnetic potential A .

الحل: حيث

$$(a) \quad \beta \left(\frac{L}{2} - |z'| \right) < \beta \frac{L}{2} = \pi \frac{L}{\lambda} \ll \frac{1}{10}$$

على ذلك

$$\begin{aligned} I(z') &= I_m \sin \beta \left(\frac{L}{2} - |z'| \right) \\ &\approx I_m \beta \left(\frac{L}{2} - |z'| \right) \approx \frac{2I'_m}{L} \left(\frac{L}{2} - |z'| \right) \end{aligned}$$

حيث $I'_m = I_m \frac{\beta L}{2}$ وهذا التوزيع مثلث الشكل

$$\begin{aligned} (b) \quad \mathbf{A} &= \frac{\mu}{4\pi} \int_{-L/2}^{L/2} I(z') \mathbf{a}_z \left(\frac{e^{-j\beta r}}{4\pi r} \right) dz' \\ &= \frac{2\mu I'_m e^{-j\beta r}}{4\pi Lr} \int_{-L/2}^{L/2} \left(\frac{L}{2} - |z'| \right) \mathbf{a}_z dz' = \frac{\mu I'_m}{4\pi r} \left(\frac{L}{2} \right) e^{-j\beta r} \mathbf{a}_z \end{aligned}$$

ومنها

$$\mathbf{A}_r = A_z \cos \theta = \frac{\mu I'_m}{4\pi r} \left(\frac{L}{2} \right) e^{-j\beta r} \cos \theta$$

$$\mathbf{A}_\theta = -A_z \sin \theta = -\frac{\mu I'_m}{4\pi r} \left(\frac{L}{2} \right) e^{-j\beta r} \sin \theta$$

$$\mathbf{A}_\phi = 0$$

مسألة محلولة 7.2 هوائي ثنائي القطبية هيرتزيان له طول $L = 2\text{m}$ ويعمل عند تردد 1 MHz . أوجد الكفاءة الإشعاعية إذا كان الموصل من النحاس له $a = 1 \text{ mm}$ و $\mu_r = 1$ ونصف القطر $\sigma_c = 5.7 \times 10^7 \text{ S/m}$

Solved Problem 7.2 A Hertzian dipole of length $L = 2 \text{ m}$ operates at 1 MHz. Find the radiation efficiency if the copper conductor has $\sigma_c = 5.7 \times 10^7 \text{ S/m}$, $\mu_r = 1$ and radius $a = 1 \text{ mm}$.

الحل: الكفاءة الإشعاعية هي

$$\epsilon_{rad} = \frac{P_{rad}}{P_{in}} = \frac{P_{rad}}{P_{rad} + P_{loss}} = \frac{R_{rad}}{R_{rad} + R_{loss}}$$

حيث R_{rad} هي مقاومة الإشعاع و R_{loss} هي المقاومة الأوتومية. نصف القطر a أكبر بكثير من العمق السطحي

$$\delta = \frac{1}{\sqrt{\pi f \mu \sigma_c}} = \frac{1}{15} \text{ mm}$$

على ذلك يمكن افتراض أن التيار موجود بقشرة أسطوانية سماكتها δ ، يعطى مقاومة فقد (مشابهة لحالة سلكين متوازيين بالفصل السادس)

$$R_{loss} = \frac{1}{\sigma_c} \frac{L}{(2\pi a) \delta} = 0.084 \Omega$$

ومقاومة الإشعاع

$$R_{rad} = (790) \left(\frac{L}{\lambda} \right)^2 = (790) \left(\frac{Lf}{u} \right)^2 = 0.035 \Omega$$

وعلى ذلك تكون كفاءة الإشعاع

$$\epsilon_{rad} = \frac{0.035}{0.119} = 29.4\%$$

مسألة محلولة 7.3 (a) أوجد التيار اللازم للإشعاع قدره W 100 MHz عند 100 MHz من هوائي هيرتزيان ثنائي القطبية m. 0.01 (b) أوجد قيمة E و H عند .(100 m, 90°, 0°).

Solved Problem 7.3 (a) Find the current required to radiate a power of 100 W at 100 MHz from a 0.01-m Hertzian dipole. (b) Find the magnitudes of E and H at (100m, 90°, 0°).

الحل: (a) طول الموجة.

$$\lambda = \frac{3 \times 10^8}{10^8} = 3 \text{ m}$$

مقاومة الإشعاع

$$R_{rad} = (790) \left(\frac{d\ell}{\lambda} \right)^2 = 8.78 \times 10^{-3} \Omega = \frac{2 P_{rad}}{I^2}$$

الحل بالنسبة للتيار

$$I = \sqrt{\frac{200}{8.78 \times 10^{-3}}} = 151 \text{ A}$$

(هذا التيار كبير جداً ويوضح أن الهوائي مع طول أقل كثيراً من طول الموجة لا يعمل بكفاءة)

$$(b) |E| = \frac{\eta \beta I d\ell}{4\pi r} \sin 90^\circ = 0.95 \text{ V/m}$$

$$|H| = \frac{\beta I d\ell}{4\pi r} \sin 90^\circ = 2.52 \times 10^{-3} \text{ A/m}$$

قائمة المصطلحات العلمية (إنجليزي/عربي)

(A)	الجهد المطلق Ampere Ampere's law Antennas	Current density Cylindrical coordinates الإحداثيات الأسطوانية (D)	كتافة التيار الكتابات الأسطوانية عازل
(B)	قانون بايو-سوفار شروط الحدود معامل الانعكاس عند الحدود زاوية بروستر	Dielectric Dielectric constant Differential volume Differential surface Differential elements	ثابت العازل حجم تفاضلى سطح تفاضلى عناصر خطية تفاضلية Dipole and monopole
(C)	السعة المعاوة المميزة Conduction current density	Directive gain Displacement current Distributed parameters Divergence theorem	ثنائي القطبية وأحادي القطبية الكتب الاتجاهى تيار إزاحة العناصر الموزعة نظرية الانفراج
(E)	موصلات مجال محافظ معادلة الاستمرارية أنظمة الإحداثيات قوى كولوم قانون كولوم التفاف متوجه Current and conductors	Electric current Electric field intensity شدة المجال الكهربى التدفق الكهربى Electromagnetic waves الموجات الكهرومغناطيسية طاقة معادلات: continuity	تيار كهربى Electric field intensity شدة المجال الكهربى التدفق الكهربى Electromagnetic waves الموجات الكهرومغناطيسية طاقة معادلات: الاستمرارية

Maxwell's scalar wave	ماكسويل مقاييس الموجة	Isotropic radiator (L)	مشع موحد الاتجاهات
vector wave	متجه للموجة	Lenz's law	لنز
wave	الموجة	Line elements	عنصر خطى
(F)		(M)	
Faraday's law	قانون فاراداي	Magnetic field intensity	شدة المجال المغناطيسي
Finite-length dipole and monopole		Magnetic flux density	كثافة التدفق المغناطيسي
طول محدود لثنائي القطبية وأحادي القطبية		Flux linkage	
Flux linkage	وصلية التدفق	Magnetic vector potential	
Frequency	تردد	(G)	الجهد المغناطيسي المتجه
Gauss' law	قانون جاوس	Maxwell's equations	معادلات ماكسويل
Geometrical factor	معامل الشكل الهندسى	(N)	
(H)		Nonmagnetic materials	مواد غير حديدية
Half-power beam points	نقاط نصف القدرة للشعاع	Normal component	المركبة العمودية
Henries per meter	هنرى لكل متر	(O)	
Hertzian dipole antenna	هوائي ثنائي القطبية هرتزى	Oblique incidence	سقوط مائل
(I)		Ohm's law	قانون أوم
Image theory	نظرية الصورة	(P)	
Induced EMF	القوة الدافعة الكهربية (ق.د.ك) المستحبطة	Permeability	سماحية
Inductance	محاثة أو معامل الحث	Permittivity	إنفاذية
Interface conditions for normal incidence	شروط سطح التقابل للسقوط العمودى	Plane of incidence	مستوى السقوط
Intrinsic impedance of medium	المعاواقة الذاتية للوسط	Plane waves	موجات مستوية
Isotropic medium	وسط موحد الخواص	Potential	جهد
		Propagation constant	ثابت الانتشار
		Propagation in various media	الانتشار فى وساط متعددة
		(R)	
		Radiated fields	مجالات مشعة

Radiation	الإشعاع	Tesla	تسلا
efficiency	كفاءة الإشعاع	Theorems:	نظريات
intensity	شدة الإشعاع	divergence	التشعب
pattern	نموج الإشعاع	Stoke's	استوكس
resistance	مقاومة الإشعاع	Time varying fields	مجالات متغيرة مع الزمن
Reflection coefficients	معاملات الانعكاس	Transients in lossless lines	
Right-hand rule	قاعدة اليد اليمنى	الموجات العابرة على خطوط نقل عديمة	
(S)			الفقد
Scalar wave equation	معادلة موجة مقياسية	Transmission coefficients	معاملات الإرسال
Sinusoidal steady state excitation	تغذية جيبية مستقرة	Transmission line models	نماذج خط النقل
Skin depth	عمق سطحي	Transmission lines	خطوط النقل
Slotted line	خط مشقوق	(V)	
Smith chart	خرائط سميث	Vector algebra	جبر المتجهات
Snell's laws	قوانين سنيل	Vector analysis	تحليل المتجهات
Sources and sinks	منابع ومستقبلات	Vector notation	اصطلاحات المتجهات
Static electric fields	مجالات كهربائية ساكنة	Vector wave equations	المعادلات المتجهة للموجة
Static magnetic fields	مجالات مغناطيسية ساكنة	Voltage standing wave ratio	نسبة الجهد لموجة واقفة
Steradian	زاوية نصف قطرية مجسمة	(W)	
Stoke's theorem	نظرية استوكس	Wave equations	معادلات الموجة
Surface	سطح	Wave-length	طول الموجة
(T)		Work	شغل
Tangential component	مركبة ملائمة		

عصير الكتب
www.ibtesama.com/vb
منتدى مجلة الإبتسامة

When you don't have the time ... but you still need the grade!

If your life is too busy to spend hours ploughing through weighty textbooks, and you need every study minute to count, *Schaum's Easy Outline* is perfect for you! This super-condensed, high-torque study guide gives you what you need to know in a fraction of the time.

SUPER-IMPACT

Built for quick, effective study, this *Easy Outline* packs exciting new learning tools that make mastering electromagnetics fast, fun—and almost automatic.

SPEEDY

Quick-study experts slashed the time you need to spend with your books by reducing electromagnetics to the essentials the professor expects you to know. This *Easy Outline* is perfect for test preparation, pre-exam review, and handling those last-minute cram situations.

HI-QUALITY

Easy Outlines give you 100% of the authority of Schaum's full-sized guides, known around the world for the highest academic standards.

BACKPACK-ABLE STUDY POWER

Compact and portable, this *Easy Outline* lets you study electromagnetics anywhere.

SCHAUM'S GETS THE GRADE!

Let's talk bottom line. *Schaum's Easy Outlines* give you what you want—better grades, with less work, and more free time!

Get the essence of electromagnetics easy way. *Schaum's Easy Outline of Electromagnetics* helps you master electromagnetics with plenty of illustrations, memory joggers, and the newest, rapid-absorption teaching techniques. Backed by Schaum's reputation for academic authority, this is the study guide students turn to and trust. Students know that Schaum's is going to be there for them when they need it!

- Quick study tips
- Student-friendly style
- At-a-glance tables
- Perfect for test prep



The McGraw-Hill Companies

Visit us at: www.books.mcgraw-hill.com

Arabic version by:

International House for Cultural Investments S.A.E.

ISBN 977-282-147-8



6 222006 665074

تصويبات



www.ibtesama.com